

П-168

3

Азәрбајҹан ССР  
Елмләр Академијасы  
Академия наук  
Азербайджанской ССР

ISSN 0002—3078

# МӘРҮЗӘЛӘР ДОКЛАДЫ

ЧИЛД

XLI

ТОМ

3

1985

03/11/65

ДАН Азерб. ССР публикует краткие сообщения об оригинальных, никогда не публикованных ранее, результатах научных исследований, представленные академиками АН Азерб. ССР, которые тем самым берут на себя ответственность за научные достоинства представляемой статьи.

В «Докладах» не публикуются крупные статьи, механически разделенные на ряд отдельных сообщений, статьи полемического характера, без новых фактических сообщений, статьи полемического характера, без новых фактических данных, статьи с описанием промежуточных опытов, без определенных выводов и обобщений, чисто методические статьи, если предлагаемый метод не является принципиально новым, а также статьи по систематике растений и животных (за исключением описания особо интересных для науки находок).

Будучи органом срочной информации, журнал «ДАН Азерб. ССР» принимает и отбирает к печати статьи, объем которых допускает их публикацию в установленные решением Президиума АН Азерб. ССР сроки.

В связи со всеми перечисленными ограничениями отклонение статьи редакцией «Доклады АН Азерб. ССР» означает только, что она не согласуется с требованиями и возможностями этого журнала и не исключает ее публикации в других изданиях.

#### ПРАВИЛА ДЛЯ АВТОРОВ

Редакция журнала «Доклады АН Азерб. ССР» просит авторов руководствоваться приведенными правилами и надеется, что авторы ознакомятся с ними прежде, чем пришлют статью в редакцию.

Статьи, присланные без соблюдения этих правил, к рассмотрению не принимаются.

1. Статьи, направляемые в редакцию, должны иметь представление члена АН ССР или академика АН Азерб. ССР, если оно требуется (см. выше).

Статьи с просьбой направить их на представление редакцией не принимаются.

2. Статья публикуется по мере поступления. Единственным поводом для внеочередной публикации является исключительная важность сообщения и соображения приоритета. Для этого необходимо специальное решение редколлегии.

3. Как правило, редакция направляет представленные статьи на рецензию.

4. «Доклады» помещают не более трех статей одного автора в год. Это правило не распространяется на членов АН ССР, академиков Академии наук Азерб. ССР.

5. Авторы должны определить раздел, в который следует поместить статью, а также дать индекс статьи по Универсальной десятичной классификации (УДК). К статье прилагается отпечатанный на машинке реферат в двух экземплярах, предназначенный для передачи в один из реферативных журналов ВНИТИ.

6. В конце статьи нужно указать полное название учреждения, в котором выполнено исследование, фамилии всех авторов а также полный почтовый адрес и номер телефона (служебный и домашний) каждого соавтора.

Кроме того, авторский коллектив должен указать лицо, с которым редакция будет вести переговоры и переписку.

7. Возвращение рукописи автору на доработку не означает, что статья принятая к печати. После получения доработанного текста рукопись вновь рассматривается редколлегией. Доработанный текст автор должен вернуть вместе с первоначальным экземпляром статьи, а также ответом на все замечания. Датой поступления считается день получения редакцией окончательного варианта статьи.

8. В «Докладах» публикуются статьи, занимающие не более 1/4 авторского листа (6 страниц машинописи). В этот объем входят текст, таблицы, библиография (не больше 15 источников) и рисунки, число которых не должно превышать четырех, включая и обозначения «а», «б» и т. д. в том числе вклейки на мелованной бумаге. Вклейки даются только для микрофотографий большого увеличения. Штриховые рисунки (карты, схемы и т. п.) на вклейках не печатаются, а даются на кальке. Текст и графический материал представляются в двух экземплярах. Повторение одних и тех же данных в тексте, таблицах и графиках недопустимо. Рисунки должны быть выполнены четко, в формате, обеспечивающем ясность передачи всех деталей фотографии представляются на глянцевой бумаге. Подписи к рисункам должны быть напечатаны в 2-х экземплярах через два интервала на отдельной странице. На обороте рисунков мягким карандашом указываются фамилии авторов, название статьи и номер рисунка.

(Продолжение на третьей странице обложки)

АЗЭРБАЙЧАН ССР ЕЛМЛӨР АКАДЕМИЈАСЫ  
АКАДЕМИЯ НАУК АЗЕРБАЙДЖАНСКОЙ ССР

# МЭРҮЗЭЛЭР ДОКЛАДЫ

ТОМ XLI ЧИЛД

№ 3

## РЕДАКЦИОННАЯ КОЛЛЕГИЯ:

Э. Ю. Салаев (главный редактор), Г. Б. Абдуллаев, М. Т. Абасов,  
 Ал. А. Ализаде (зам. главного редактора), В. С. Алиев,  
 Г. А. Алиев, Дж. А. Алиев, И. Г. Алиев, Дж. Б. Гулиев,  
 Н. А. Гулиев, М. З. Джафаров, Ф. Г. Максудов, А. А. Надиров,  
 Ю. М. Сенцов (зам. главного редактора), М. А. Усейнов,  
 Г. Г. Зейналов (ответств. секретарь).

© Издательство „Элим“, 1985 г.

УДК 517.53

МАТЕМАТИКА

Т. С. САЛИМОВ

## СИНГУЛЯРНЫЙ ИНТЕГРАЛ КОШИ В ПРОСТРАНСТВАХ

 $L_p, p \geq 1$ 

(Представлено академиком АН Азербайджанской ССР И. И. Ибрагимовым)

1. Пусть  $\gamma$ -жорданова спрямляемая кривая,  $f \in L_1(\gamma)$ . Обозначим:

$$(S_\gamma f)(t) = \frac{1}{\pi i} \lim_{\epsilon \rightarrow 0} \int_{|\xi - t| > \epsilon} \frac{f(\xi)}{\xi - t} d\xi, \quad t \in \gamma.$$

При  $p > 1$  через  $R$  будем обозначать класс жордановых спрямляемых кривых  $\gamma$  таких, что оператор  $S_\gamma: f \rightarrow S_\gamma f$  ограничен в  $L_p$  (это обозначение корректное, ибо, как показано в [14], введенный класс кривых не зависит от  $p$ ).

Получению достаточных условий на  $\gamma$ , обеспечивающих включение  $\gamma \in R$ , посвящено большое число работ (см. [1–9]). Принципиально важным является недавний результат А. Р. Кальдерона [9], устанавливающий вхождение в  $R$  одного класса липшицевых кривых. Из этого результата, в частности, следует принадлежность классу  $R$  всех гладких кривых.

В. П. Хавин [6] доказал включение  $R \subset S$ , где  $S$ —класс кривых Смирнова (определение этого класса имеется, например, в [10] стр. 250). В этой же работе построен пример кривой  $\gamma \in S \setminus R$ . Позже подобные примеры строил Г. А. Хускивадзе [11].

2. Для измеримого множества  $E \subset \gamma$  через  $|E|$  будем обозначать его меру Лебега.

Обозначим:

$$\theta_\gamma(t, \delta) = |\{\xi \in \gamma; |\xi - t| < \delta\}| \quad (t \in \gamma, \delta > 0),$$

$$\theta_\gamma(\delta) = \sup_{t \in \gamma} \theta_\gamma(t, \delta).$$

Теорема 1. Если  $\gamma \in R$ , то  $\theta_\gamma(\delta) \asymp \delta$ .

Доказательство. Рассуждая от противного, получим последовательности точек  $\{t_n\}$  и чисел  $\{\delta_n\}$  таких, что  $\delta_n \in \left(0, \frac{\text{diam } \gamma}{16}\right]$  и  $\theta_\gamma(t_n, \delta_n) \geq n \delta_n$ .

Пусть  $\xi = \xi(s)$ ,  $s \in [0, |\gamma|]$ , уравнение  $\gamma$  в дуговых координатах. Определим функцию  $f_n: f_n(\xi) = (\xi - t_n) \cdot \xi'(s)$  при

$$\xi \in A_n = \{\eta \in \gamma; 4\delta_n \leq |t_n - \eta| \leq 8\delta_n\}$$

и  $f_n(\xi) = 0$  для  $\xi \notin A_n$ . Пусть  $p \in (1, \infty)$ .  
 Имеем:

$$\|f_n\|_p = \left( \int_{A_n} |\xi - t_n|^p |d\xi| \right)^{\frac{1}{p}} < 8\delta_n |A_n|^{\frac{1}{p}}.$$

Оценим теперь  $\|S_\gamma f_n\|_p$ . Пусть  $\tau \in \gamma$  и  $|\tau - t_n| < \delta_n$ .  
Имеем:

$$|(S_\gamma f_n)(\tau)| = \frac{1}{\pi} \left| \int_{A_n} \frac{\xi - t_n}{\xi - \tau} \overline{\xi'(s)} d\xi \right| \geq \frac{1}{\pi} \left| \int_{A_n} \overline{\xi'(s)} d\xi \right| - \\ - \frac{1}{\pi} \left| \int_{A_n} \left( 1 - \frac{\xi - t_n}{\xi - \tau} \right) \overline{\xi'(s)} d\xi \right| \geq \frac{|A_n|}{\pi} - \frac{1}{\pi} \cdot \int_{A_n} \frac{|t_n - \tau|}{|\xi - \tau|} ds.$$

При  $\xi \in A_n$   $|\xi - \tau| \geq |\xi - t_n| - |\tau - t_n| \geq 4\delta_n - \delta_n = 3\delta_n$ .

Учитывая это, получаем, что при  $|\tau - t_n| < \delta_n$

$$|(S_\gamma f_n)(\tau)| \geq \frac{|A_n|}{\pi} - \frac{|A_n|}{3\pi} = \frac{2|A_n|}{3\pi}.$$

Отсюда имеем:

$$\|S_\gamma f_n\|_p \geq \left( \int_{\{\tau \in \gamma : |\tau - t_n| < \delta_n\}} |(S_\gamma f_n)(\tau)|^p |d\tau| \right)^{\frac{1}{p}} \geq \\ \geq \frac{2}{3\pi} |A_n| \cdot (\theta_\gamma(t_n, \delta_n))^{\frac{1}{p}}.$$

Отсюда, из (1) и очевидного неравенства  $|A_n| \geq 8\delta_n$  легко получаем:

$$\|S_\gamma f_n\|_p \geq \frac{1}{12\pi} \cdot 8^{\frac{p-1}{p}} \cdot n^{\frac{1}{p}} \|f_n\|_p.$$

Следовательно, оператор  $S_\gamma : L_p \rightarrow L_p$  неограничен. Полученное противоречие доказывает теорему.

С помощью аналогичных, но несколько более громоздких рассуждений доказывается

**Теорема 2.** Пусть  $p \in (1, \infty)$ ,  $q \in (0, p]$ ,  $S_\gamma : L_p \rightarrow L_q$  и ограничен. Тогда

$$\theta_\gamma(\delta) = 0 (\delta^{pq(pq+p-q)-1}), \delta \rightarrow 0.$$

Через  $S_\theta$  будем обозначать класс кривых  $\gamma$ , удовлетворяющих условию  $\theta_\gamma(\delta) \leq \delta$ .

В связи с упомянутыми работами В. П. Хавина и Г. А. Хускивадзе, отметим: кривые  $\gamma \in S \setminus R$ , построенные в этих работах, не входят в класс  $S_\theta$  (в частности, в примере В. П. Хавина

$$\lim_{\delta \rightarrow 0} \theta_\gamma(\delta) \cdot |\ln \delta|^{1/2} > 0.$$

**Вопрос 1.** Верно ли включение  $S_\theta \subset S$ ?

3. Через  $R_1$  обозначим класс жордановых спрямляемых кривых  $\gamma$  таких, что оператор  $S_\gamma$  имеет слабый тип (1,1). По поводу сравнения классов  $R$  и  $R_1$  отметим работу [8], где установлено равенство  $R \cap K = R_1 \cap K$ , где  $K$  — класс кривых, удовлетворяющих условию: отношение длины небольшой (по длине) дуги, соединяющей любые две точки кривой, к длине хорды, соединяющей эти точки, ограничено

Теорема 3.  $R = R_1$ .

Теорема 3 доказывается с применением включения  $R \subseteq S_\theta$  и рассуждений, близких к рассуждениям из [12].

Пусть  $S'_\gamma$  — максимальный оператор, соответствующий оператору  $S_\gamma$ , а  $R'$  — класс кривых  $\gamma$  таких, что  $S'_\gamma : L_p \rightarrow L_p$  ( $p \in (1, \infty)$ ) и ограничен.

**Теорема 4.** Если  $\gamma_1, \gamma_2 \in R'$  и  $\gamma_1 \cup \gamma_2 \in R'$ .

Утверждение теоремы почти тривиально, если  $\gamma_1 \cup \gamma_2 \in K$ , а случай, когда  $\gamma_1$  и  $\gamma_2$  гладкие дуги, образующие "нулевой" угол, разобран в [3]. Теорема 4 доказывается с помощью включения  $R' \subseteq S_\theta$  (оно следует из  $R' \subseteq R$  и теоремы 1) и следующей леммы.

**Лемма 1** (о максимальной функции). Пусть  $\gamma \in S_\theta$ ,  $f \in L_1(\gamma)$ ,  $t \in \gamma$ . Положим:

$$(Mf)(t) = \sup_{\varepsilon > 0} \frac{1}{\theta_\gamma(t, \varepsilon)} \cdot \int_{\xi \in \gamma : |\xi - t| < \varepsilon} |f(\xi)| d\xi.$$

Оператор  $M : f \rightarrow Mf$  ограничен в  $L_p$  при  $p \in (1, \infty)$  и имеет слабый тип (1,1).

Лемма 1 доказывается с помощью незначительной модификации рассуждений из [13, 16—19].

#### Литература

1. Михлин С. Г. — Усп. матем. наук, 1948, 3, вып. 3, с. 29—112.
2. Хведелидзе Б. В. — Сообщ. АН Груз. ССР, 1947, 8, № 5, с. 283—290.
3. Горгадзе Э. Г. — Сообщ. АН Груз. ССР, 1965, 27, № 3, с. 521—526.
4. Данилов И. И., Шелепов В. Ю. — Докл. АН СССР, 1967, 174, № 3, с. 514—517.
5. Джваришвили А. Г. — Труды Тбилисского матем. ин-та АН Груз. ССР, 1962, 84, с. 161—184.
6. Хавин В. П. — Матем. сб., 1965, 68, № 4, с. 499—517.
7. Хускивадзе Г. А. — Труды Тбилисского матем. ин-та АН Груз. ССР, 1972, 42, с. 95—103.
8. Кокилашвили В. М. — Докл. АН СССР, 1975, 223, № 3, с. 555—558.
9. Calderon A. — Preprint, 1977.
10. Привалов И. И. Границевые свойства аналитических функций. — М.: ГИТТЛ, 1950, с. 336.
11. Хускивадзе Г. А. — Сообщ. АН Груз. ССР, 1975, 79, № 1, с. 33—35.
12. Хведелидзе Б. В. В сб. Соврем. проб. матем. (Итоги науки и техники ВИНИТИ АН СССР). — М., 1975, т. 7, с. 5—162.
13. Стейн И. М. — Сингулярные интегралы и дифференциальные свойства функций. — М.: Мир, 1973, с. 343.
14. Collar M. A. — Rev. mat. Cuiana, 1955, 1, № 2, 105—167.

Азербайджанский государственный университет им. С. М. Кирова

Поступило 4. I 1983

Т. С. Салимов

#### КОШИ СИНГУЛЯР ЛИТЕГРАЛЫ $L_p$ , $p > 1$ ФЭЗАЛАРЫНДА

Мәғаләдә дүэләндирилә билән Жордан әјриси үзәрә Коши сингулар интегралы  $L_p$ ,  $p > 1$  фэзаларында өтреңниләр.

T. S. Salimov

#### THE CAUCHY SINGULAR INTEGRAL IN $L_p$ ( $p > 1$ ) SPACES

In the article the Cauchy singular integral along a rectifiable simple curve in the  $L_p$  spaces ( $p > 1$ ) is studied.

Г. М. МАМЕДОВ

## О ХАРАКТЕРИСТИКЕ КЛАССОВ ФУНКЦИЙ ПРЕОБРАЗОВАНИЯМИ ЛАГЕРРА. I

(Представлено академиком АН Азербайджанской ССР И. И. Ибрагимовым)

1. Пусть  $f(x)$ —определенная и измеримая на  $R^+ = [0, \infty)$  действительная функция. Положим

$$\|f\|_{L_a^p(R^+)} = \begin{cases} \left( \int_0^\infty |f(x)|^{\frac{p}{2}} e^{-\frac{x}{2}} dx \right)^{\frac{1}{p}} < +\infty \text{ при } 1 < p < \infty, a \geq 0 \\ \text{враi} \sup_{x>0} |f(x)|^{\frac{p}{2}} e^{-\frac{x}{2}} \text{ при } p = \infty, a \geq 0 \end{cases}$$

Обозначим через  $L_a^p(R^+) = L_a^p(R^+, a \geq 0)$  пространство функций  $f(x)$ , для которых  $\|f\|_{L_a^p(R^+)}$  конечна, а через  $BV_a(R^+) = BV_a(R^+, a \geq 0)$ —совокупность всех функций  $\mu(t)$  с ограниченными изменениями на положительной полуоси с нормой

$$\|\mu\|_{BV_a(R^+)} = \int_0^\infty x^{\frac{a}{2}} e^{-\frac{x}{2}} |\mu'(x)|$$

Будем говорить, что  $f(x) \in L_a^p(R^+) = L_a^p(R^+, a > 0)$ , если  $f(x)$ —измеримая на  $R^+$  функция и

$$\|f\|_{L_a^p(R^+)} = \int_0^\infty |f(x)| x^a e^{-\frac{x}{2}} dx + \int_1^\infty |f(x)| e^{-\frac{x}{2}} dx < +\infty$$

Пусть  $C_a(R^+) = C_a(R^+, a \geq 0)$ —есть множество непрерывных на  $R^+$  функций  $f(x)$  таких, что

$$\|f\|_{C_a(R^+)} = \sup_{x>0} |x^{\frac{a}{2}} e^{-\frac{x}{2}} f(x)| < +\infty$$

В дальнейшем, под  $X_a(R^+)$  понимается пространство  $L_a^p(R^+)$  ( $1 < p < \infty$ ) или  $C_a(R^+)$ .

$N$ -множество натуральных чисел и  $P = N \cup \{0\}$ . Обозначим через

$$(\Delta_t^r f)_L(x) = \sum_{s=0}^r (-1)^{r-s} \binom{r}{s} T_t^{a,s}(f; x), \quad (r \in P),$$

где

$$T_t^{a,s}(f; x) = T_t^{a,1}(T_t^{a,s-1} f; x), \quad T_t^{a,0}(f; x) = f(x)$$

$$T_t^{a,1}(f; x) = \frac{\Gamma(1+a)}{\sqrt{\pi}} \int_0^\infty f(x+t+2\sqrt{xt} \cos \theta) e^{-\sqrt{xt} \cos \theta} \times \\ \times \frac{J_a - \frac{1}{2}(\sqrt{xt} \sin \theta)}{\left(\frac{1}{2}\sqrt{xt} \sin \theta\right)^{a-\frac{1}{2}}} \sin^2 \theta d\theta.$$

$x, t > 0, a \geq 0$  и  $J_p(x)$ —функция Бесселя первого рода порядка  $p$ .

Пусть

$$l_a = x \frac{d^2}{dx^2} + (a+1-x) \frac{d}{dx} \quad (1)$$

—дифференциальный оператор Лагерра, который каждой абсолютно непрерывной на  $R^+$  функции  $f'(x)$  сопоставляет функцию

$$(l_a f)(x) = x \frac{d^2 f(x)}{dx^2} + (a+1-x) \frac{d f(x)}{dx}$$

Дифференциальный оператор для любого  $k \in N$  определяется следующим образом

$$(l_a^s f)(x) = \begin{cases} f(x) \text{ при } s=0 \\ (l_a l_a^{s-1} f)(x) \text{ при } s \in N \end{cases} \quad (2)$$

Определение 1. а) Если существует функция  $g(x) \in X_a(R^+)$  такая, что

$$\lim_{t \rightarrow 0+} \left\| \frac{(\Delta_t^1 f)_L(x)}{t/1+a} - g(x) \right\|_{X_a(R^+)} = 0, \quad (3)$$

то ее называют сильной производной Лагерра функции  $f(x) \in X_a(R^+)$  порядка 1 и обозначают через  $g(x) \equiv (L_{a,1} f)(x)$ . Далее, сильные производные Лагерра порядка  $k$  ( $k \in N$ ) определяются последовательно:

$$(L_{a,s}^k f)(x) = (L_{a,s} L_{a,s}^{k-1} f)(x) \quad (4)$$

б) Если существует функция  $g(x) \in X_a(R^+)$  такая, что

$$\lim_{t \rightarrow 0+} \left\| \frac{(\Delta_t^r f)_L(x)}{(t/1+a)^r} - g(x) \right\|_{X_a(R^+)} = 0, \quad (5)$$

то она называется сильной производной Лагерра типа Римана функции  $f(x) \in X_a(R^+)$  порядка  $r$  ( $r \geq 1$ ) и обозначается через  $g(x) \equiv (L_{a,s}^{(r)} f)(x)$ .

Определение 2. а) Пусть для  $f(x) \in X_a(R^+)$  существует  $g(x) \in X_a(R^+)$  такая, что при  $X_a(R^+) = C_a(R^+)$  имеет место равенство

$$\lim_{t \rightarrow 0+} \int_0^\infty \frac{(\Delta_t^1 f)_L(x)}{t/1+a} x^a e^{-x} d\mu(x) = \int_0^\infty g(x) x^a e^{-x} d\mu(x) \quad (6)$$

для каждой  $\mu(x) \in BV_a(R^+)$ , при  $X_a(R^+) = L_a^p(R^+)$  ( $1 < p < \infty$ ) имеет место равенство

$$\lim_{t \rightarrow 0+} \int_0^\infty \frac{(\Delta_t^r f)_L(x)}{(t/1+\alpha)^r} \eta(x) x^\alpha e^{-x} dx = \int_0^\infty g(x) \eta(x) x^\alpha e^{-x} dx \quad (7)$$

для каждой  $\eta(x) \in L_a^q(R^+)$  ( $p+q=pq$ ). Тогда функция  $g(x)$  называется слабой производной Лагерра и обозначается через  $(L_{a,w}f)(x)$ . Кроме того, слабые производные высшего порядка определяются последовательно следующим образом:

$$(L_{a,w}^k f)(x) = (L_{a,w} L_{a,w}^{k-1} f)(x) \quad (8)$$

б) Если для функции  $f(x) \in X_a(R^+)$  существует  $g(x) \in X_a(R^+)$  такая, что справедливо равенство

$$\lim_{t \rightarrow 0+} \int_0^\infty \frac{(\Delta_t^r f)_L(x)}{(t/1+\alpha)^r} X^\alpha e^{-x} d\mu(x) = \int_0^\infty g(x) X^\alpha e^{-x} d\mu(x) \quad (9)$$

для каждой  $\mu(x) \in BV_a(R^+)$  при  $X_a(R^+) = C_a(R^+)$  и

$$\lim_{t \rightarrow 0+} \int_0^\infty \frac{(\Delta_t^r f)_L(x)}{(t/1+\alpha)^r} \eta(x) X^\alpha e^{-x} dx = \int_0^\infty g(x) \eta(x) X^\alpha e^{-x} dx \quad (10)$$

для каждой  $\eta(x) \in L_a^q(R^+)$  ( $p+q=pq$ ) при  $X_a(R^+) = L_a^p(R^+)$ , то  $g(x) = (L_{a,w}^{[r]} f)(x)$  называется слабой производной Лагерра типа Римана порядка  $r$  ( $r \in N$ ). Введем класс функций

$$W_{X_a, s(R^+)}^r = \{f(x) \in X_a(R^+) \mid (L_{a,s}^r f)(x) \in X_a(R^+)\} \quad (11)$$

$$W_{X_a, w(R^+)}^r = \{f(x) \in X_a(R^+) \mid (L_{a,w}^r f)(x) \in X_a(R^+)\} \quad (12)$$

$$W_{X_a, s(R^+)}^{[r]} = \{f(x) \in X_a(R^+) \mid (L_{a,s}^{[r]} f)(x) \in X_a(R^+)\} \quad (13)$$

$$W_{X_a, w(R^+)}^{[r]} = \{f(x) \in X_a(R^+) \mid (L_{a,w}^{[r]} f)(x) \in X_a(R^+)\} \quad (14)$$

$$w_{X_a(R^+)}^r = \begin{cases} f(x) \in C_a(R^+) \mid f(x) \in AC_{loc}^{gr-1}(L_a^{5+1} f)(x) \in C_a(R^+), \\ \lim_{x \rightarrow 0+} (L_a^s f)'(x) X^{\alpha+m} e^{-x} = 0, \lim_{x \rightarrow \infty} (L_a^s f)'(x) \cdot X^{\alpha+m} e^{-x} = 0 \\ \text{при } 0 < s \leq r-1, \forall m \in N \\ f(x) \in L_a^p(R^+) \mid f(x) = \varphi(x) n \cdot b_\varphi(x) \in AC_{loc}^{gr-1}, \\ (L_a^{s+1} \varphi)(x) \in L_a^p(R^+), \lim_{x \rightarrow 0+} \varphi(x) X^{\alpha+m} e^{-x} = 0, \\ \lim_{x \rightarrow \infty} \varphi(x) X^{\alpha+m} e^{-x} = 0, \lim_{x \rightarrow 0} (L_a^s \varphi)'(x) X^{\alpha+m} e^{-x} = 0, \\ \lim_{x \rightarrow \infty} (L_a^s \varphi)'(x) X^{\alpha+m} e^{-x} = 0, 0 \leq s \leq r-1, m \in N, \\ \mid \leq p < \infty, \end{cases} \quad (15)$$

где  $AC_{loc}^{gr-1}$  — совокупность заданных на  $R^+$  функций  $f(x)$ , у которых  $(2r-1)$ -я производная  $f^{(2r-1)}(x)$  локально абсолютно непрерывна на  $R^+$ .

Обозначим через

$$\beta_{X_a(R^+)}(t) = \begin{cases} \beta_{L_a^p(t)}(R^+) \text{ при } X_a(R^+) = L_a^p(R^+) \\ \lim_{p \rightarrow \infty} \beta_{L_a^p(t)}(R^+) \text{ при } X_a(R^+) = C_a(R^+) \end{cases}$$

где

$$\beta_{L_a^p(t)}(R^+) = \begin{cases} 1, \text{ при } t = 0, 1 < p < \infty \\ Ce^{t/2}, \text{ при } 0 < t \leq 1, 1 < p < \infty \\ Ct^{-\alpha - \frac{2}{3} + \frac{2}{3p}} e^{\frac{t}{2}}, \text{ при } t > 1, 1 \leq p \leq 2 \\ Ct^{-\alpha - \frac{2}{3p}} e^{\frac{t}{2}}, \text{ при } t > 1, 2 < p < \infty \end{cases}$$

$C$  — некоторая константа.

Имеют место следующие теоремы.

Теорема 1. а) Пусть  $f(x) \in X_a(R^+)$ ,  $r$  и  $s \in N$ , тогда справедливы

$$\|T_t^{a,s}(f; x)\|_{X_a(R^+)} \leq \beta_{X_a(R^+)}^s \|f\|_{X_a(R^+)},$$

$$\|(\Delta_t^r f)_L(x)\|_{X_a(R^+)} \leq (1 + \beta_{X_a(R^+)}^r)^r \|f\|_{X_a(R^+)}$$

и

$$[\Delta_t^r f]_{(\kappa)}^{\wedge} = (R_\kappa^*(t) - 1)^r f_{(\kappa)}^{\wedge} (\kappa \in P),$$

где

$$R_\kappa^*(t) = [L_\kappa^a(0)]^{-1} L_\kappa^a(t), L_\kappa^a(t) = \frac{x^\alpha e^{-x}}{\kappa!} (x^{\alpha+\kappa} e^{-x})^{(\kappa)}, \kappa \in N$$

и

$$f_{(\kappa)}^{\wedge} = \frac{\kappa!}{\Gamma(1+\alpha+\kappa)} \int_0^\infty f(t) L_\kappa^a(t) t^\alpha e^{-t} dt$$

являются коэффициентами Фурье—Лагерра функции  $f(t)$ ;

б) Пусть  $f(x) \in X_a^*(R^+)$ , тогда

$$\lim_{t \rightarrow 0} \|(\Delta_t^r f)_L(x)\|_{X_a^*(R^+)} = 0,$$

где

$$X_a^*(R^+) = \left\{ \begin{array}{l} C_a^*(R^+) \\ L_a^p(R^+) (1 < p < \infty) \end{array} \right.$$

$$C_a^*(R^+) = \left\{ f(x) \in C_a(R^+) \mid \lim_{x \rightarrow \infty} x^{\frac{\alpha}{2}} e^{-\frac{x}{2}} f(x) = 0 \right\}$$

Теорема 2. Пусть  $f(x) \in X_a(R^+)$  и  $r \in N$ . Тогда следующие утверждения справедливы:

а) Если  $f(x) \in W_{X_a(R^+)}^r$ , то

$$[L_a^r f]_{(\kappa)}^{\wedge} = (-\kappa)^r f_{(\kappa)}^{\wedge} (\kappa \in P)$$

б) Если  $f(x) \in W_{X_a, s(R^+)}^r$ , то

$$[L_{a,s}^r f]_{(\kappa)}^{\wedge} = (-\kappa)^r f_{(\kappa)}^{\wedge} (\kappa \in P)$$

в) Если  $f(x) \in W_{X_a, w(R^+)}^r$ , то

$$[L_{a,w}^r f]_{(\kappa)}^{\wedge} = (-\kappa)^r f_{(\kappa)}^{\wedge} (\kappa \in P)$$

г) Если  $f(x) \in W_{X_a, s(R^+)}^{[r]}$ , то

$$[L_{a,s}^{[r]} f]_{(\kappa)}^{\wedge} = (-\kappa)^r f_{(\kappa)}^{\wedge} (\kappa \in P)$$

д) Если  $f(x) \in W_{x_0, w}^{[r]}(R^+)$ , то

$$[L_{x_0, w}^{[r]} f]_{(\kappa)}^{\wedge} = (-\kappa)^r f_{(\kappa)}^{\wedge} (\kappa \in \mathbb{P})$$

Заметим, что утверждение а) в одном узком классе рассмотрено в работе [3].

### Литература

1. Мамедов Р. Г. Приближение функций линейными операторами.—Баку, 1967.
2. Мамедов Р. Г., Оруджев Г. Н. О приближении функций сингулярными интегралами типа Меллина. Баку: АЗИНЕФТЕХИМ, 1979. 3. Ржавинская Е. В.—Изв вузов СССР, «Математика», 1979, № 11, с. 87—93. 4. Cörlisch, E., Market C.—Funct. Anal. and Optimiz., 1 (2), 203—222, 1979.

АзИНЕФТЕХИМ и.м. М. Азибекова

Поступило 12. III 1984

Г. М. Мамедов

### ЛАКЕРРА ЧЕВИРМЭСИ УСУЛУ ИЛЭ ФУНКСИЈАЛАР СИНФНИН ХАРАКТЕРИСТИКАСЫ ҺАГГЫНДА, I

Мэглэдэ ади, зэнф, күчлү төрмэлэр васитэсилэ функсијалар синфи тэ'жи, едилр вэ дискрет Лакерра чевирмэси васитэсилэ онларын характеристикиасы өөрэ" нийлж.

Г. М. Mamedov

### ABOUT THE CHARACTERISTIC OF THE CLASSES OF FUNCTIONS BY THE LAGURRE TRANSFORMS. I

In this article by means of the ordinary, weak and strong derivatives the classes of functions are determined and their characteristics are studied by the Lagurre discrete transforms.

АЗЭРБАЙЧАН ССР ЕЛМЛЭР АКАДЕМИЯСЫНЫН МЭРҮЗЭЛЭРИ

ДОКЛАДЫ АКАДЕМИИ НАУК АЗЕРБАЙДЖАНСКОЙ ССР

ТОМ XLII ЧИЛД

№ 3

1985

МАТЕМАТИКА

УДК 51:330.115

А. А. Алиев, Г. Ш. Мамедов

### МЕТОД ПОСТРОЕНИЯ ЭКВИВАЛЕНТНОЙ И $\epsilon$ -ЭКВИВАЛЕНТНОЙ ЗАДАЧИ С ОДНИМ ОГРАНИЧЕНИЕМ ДЛЯ НЕЛИНЕЙНОЙ ЗАДАЧИ ДИСКРЕТНОГО ПРОГРАММИРОВАНИЯ

(Представлено академиком АН Азербайджанской ССР Г. Г. Максудовым)

Трудность решения общей задачи дискретного программирования даже в случае линейных задач общеизвестна [2, 4, 5, 6]. В то же время для решения задачи с одним ограничением имеются достаточно эффективные методы [3]. Отсюда целесообразно построение метода, в котором решение общей задачи дискретного программирования сводилось бы к решению некоторой задачи с одним ограничением. Такой метод для линейных задач целочисленного программирования построен в работе [1]. Для реализации такого метода требуется разрешение следующих вопросов:

а) установление существования задачи дискретного программирования с одним ограничением, которая во множестве оптимальных ( $\epsilon$ -оптимальных) решений содержит множество оптимальных ( $\epsilon$ -оптимальных) решений исходной задачи;

б) создание метода построения такой задачи.

В настоящей работе вводится понятие эквивалентности ( $\epsilon$ -эквивалентности) двух задач дискретного программирования. Показано, что при выполнении некоторых условий эквивалентная ( $\epsilon$ -эквивалентная) задача с одним ограничением существует и разработан способ ее построения.

Пусть рассматривается задача

$$\max \{f(X) | \varphi_i^0(X) < b_i^0, i = 1, 2, \dots, m, X \in G\} \quad (1)$$

Здесь  $X = (x_1, x_2, \dots, x_n)$ ,  $G$  — некоторое конечное множество,  $b_i^0$ , ( $i=1, 2, \dots, m$ ),  $x_j$  ( $j=1, 2, \dots, n$ ) — вещественные,  $f(X)$  и  $\varphi_i^0(X)$  — скалярные функции, определенные на множестве  $G$ .

Исходя из (1), построим следующую задачу:

$$\max \{f(X) | \varphi^0(X) \leq b^0, X \in G\}. \quad (2)$$

Здесь  $\varphi^0(X) = \sum_{i=1}^m \varphi_i^0(X)$ ,  $b^0 = \sum_{i=1}^m b_i^0$ .

Определение 1. Из двух задач (1) и (2<sup>o</sup>) дискретного программирования с одинаковой целевой функцией задача (2<sup>o</sup>) называется эквивалентной ( $\epsilon$ -эквивалентной) задаче (1), если множество оптимальных ( $\epsilon$ -оптимальных) решений задачи (1) содержится во множестве оптимальных ( $\epsilon$ -оптимальных) решений задачи (2<sup>o</sup>).

Пусть  $X^0$  — оптимальное решение задачи (2<sup>o</sup>). Очевидно, что если  $X^0$  — допустимое решение задачи (1), то оно будет оптимальным ре-

решением этой задачи, следовательно, задача (2<sup>0</sup>) будет эквивалентной задачей. Допустим, что  $X^0$  недопустимо для задачи (1). Тогда по предлагаемому ниже способу строится задача (2<sup>1</sup>) и процесс повторяется.

Введем следующее определение.

**Определение 2.** Процесс нахождения оптимального решения задачи типа (2<sup>k</sup>) ( $k = 0, 1, 2, \dots$ ) назовем итерацией (или  $k$ -той итерацией).

Определим число  $\tau_{i_k}$  следующим образом.

$$\tau_{i_k} = (b^k - \varphi^k(X^k)) / (\varphi_{i_k}^k(X^k) - b_{i_k}^k) + 1.$$

Здесь  $X^k$  — оптимальное решение задачи (2<sup>k</sup>) на  $k$ -той итерации,

$$\varphi_{i_k}^k(X^k) - b_{i_k}^k = \max_{i \in J^k} \{\varphi_i^k(X^k) - b_i^k\}, J^k = \{i \mid \varphi_i^k(X^k) > b_i^k\}.$$

Тогда справедлива следующая

**Теорема 1.** а)  $\tau_{i_k} \geq 1$ . б) Если  $X^k$  недопустимо для задачи (1), то оно строго удовлетворяет хотя бы одному из ее условий неравенств.

Умножим неравенство  $i_k$  из (1) на  $t_{i_k}$  и переобозначим функции и правые части ограничений задачи (1) через  $\varphi^{k+1}_i(X)$  и  $b^{k+1}_i$ , где

$$\varphi^{k+1}_i(X) = \varphi_i^k(X), b^{k+1}_i = b_i^k, i = 1, 2, \dots, m; i \neq i_k,$$

$$\varphi^{k+1}_{i_k}(X) = t_{i_k} \varphi_{i_k}^k(X), b^{k+1}_{i_k} = t_{i_k} b_{i_k}^k.$$

Выбор  $t_{i_k}$  приведен ниже. После этого построим задачу

$$\max \{f(X) \mid \varphi^{k+1}(X) \leq b^{k+1}, X \in G\}, \quad (2^{k+1})$$

$$\text{где } \varphi^{k+1}(X) = \sum_{i=1}^m \varphi^{k+1}_i(X), b^{k+1} = \sum_{i=1}^m b^{k+1}_i.$$

Справедлива

**Теорема 2.** Для того, чтобы оптимальное решение задачи (2<sup>k</sup>) ( $k = 0, 1, 2, \dots$ )  $X^k$  было недопустимым для задачи (2<sup>k+1</sup>) ( $k = 0, 1, 2, \dots$ ), необходимо и достаточно выполнение условия  $t_{i_k} > \tau_{i_k}$ .

Теорема 2 показывает, что на  $k+1$ -ой итерации будет получено решение, отличное от соответствующего решения  $k$ -той итерации. Но она не дает никакой информации об итерациях  $k-1$ ,  $k-2$  и т. д. С помощью следующей теоремы этот недостаток устраняется.

**Теорема 3.** Пусть проведена  $p+1$  итерация и получена последовательность решений  $X^0, X^1, \dots, X^p$  задач (2<sup>v</sup>), где  $v = 0, 1, \dots, p$ . Пусть  $J_p = \{1, 2, \dots, m\} \setminus \{i_0, i_1, \dots, i_p\}$ . Тогда для того, чтобы было  $X^{p+1} = X^r$  ( $r = 0, 1, \dots, p$ ), необходимо и достаточно, чтобы множители  $t_{i_v}$  ( $v = 0, 1, \dots, p$ ) удовлетворяли системе линейных неравенств

$$\sum_{v=0}^p \{b_{i_v}^0 - \varphi_{i_v}^0(X^0)\} t_{i_v} < \sum_{i \in J_p} \{\varphi_i^0(X^0) - b_i^0\},$$

$$\sum_{v=0}^p \{b_{i_v}^0 - \varphi_{i_v}^0(X^1)\} t_{i_v} < \sum_{i \in J_p} \{\varphi_i^0(X^1) - b_i^0\},$$

$$\sum_{v=0}^p \{b_{i_v}^0 - \varphi_{i_v}^0(X^p)\} t_{i_v} < \sum_{i \in J_p} \{\varphi_i^0(X^p) - b_i^0\}, \quad (3)$$

$$t_{i_0} \geq 0, t_{i_1} \geq 0, \dots, t_{i_p} \geq 0.$$

Из теоремы 3 следует, что решения, полученные на предыдущих итерациях, больше не повторяются.

**Следствие.** Если на каждой итерации множители  $t_{i_v}$  ( $v = 0, 1, 2, \dots$ ) определяются из системы линейных неравенств (3), то за конечное число итераций получается оптимальное решение задачи (1), т. е. существует эквивалентная задача типа (2<sup>k</sup>) и за конечное число итераций ее можно построить.

Это вытекает из конечности множества  $G$  и из теоремы 3.

Необходимо отметить, что в ходе решения коэффициенты ограничений задач (2<sup>k</sup>) ( $k = 0, 1, 2, \dots$ ) могут возрастать и стать значительными. С другой стороны, значения функционала задач (2<sup>k</sup>) ( $k = 0, 1, 2, \dots$ ) могут меняться не монотонно. Для устранения этих недостатков рассмотрим следующую задачу

$$\max \{f(X) \mid \varphi_i^k(X) \leq b_i^k, i = 1, 2, \dots, m; f(X) < \bar{\Phi}, X \in G\}. \quad (4^k)$$

Здесь  $\bar{\Phi}$  — верхняя оценка оптимального значения функционала задачи (1). Пусть  $\bar{\Phi}$  — целое. Исходя из задач (4<sup>k</sup>), построим следующую задачу типа (2<sup>k</sup>):

$$\max \{f(X) \mid \psi^k(X) \leq \eta^k, X \in G\}, \quad (5^k)$$

где

$$\psi^k(X) = \sum_{i=1}^m \varphi_i^k(X) + \tau^k f(X), \eta^k = \sum_{i=1}^m b_i^k + \tau^k \bar{\Phi}.$$

Обозначим через  $\bar{\Phi}$  оптимальное значение функционала задачи (5<sup>k</sup>). Тогда справедлива следующая

**Теорема 4.** Пусть функция  $f(X)$  принимает целые значения при  $X \in G$ . Тогда если  $\tau^k \geq b^k - \xi^k + 1$ , то  $\bar{\Phi} < \bar{\Phi}$ , где  $\xi^k \leq \min_{X \in G} \varphi^k(X)$ .

Отметим, что применение на каждой итерации теоремы 4 обеспечивает получение монотонной невозрастающей последовательности верхних оценок оптимума задачи (1).

Таким образом, задача (1) может быть решена следующим алгоритмом.

### Алгоритм 1

Шаг 1. Принять  $k := 0$  и переход к шагу 2.

Шаг 2. Построить задачу (5<sup>k</sup>) и найти ее решение  $X^k$ .

Переход к шагу 3.

Шаг 3. Если  $X^k$  допустимо для задачи (1), то оно будет решением исходной задачи и процесс завершается. Если  $X^k$  — недопустимое решение задачи (1) и  $\bar{\Phi} > \bar{\Phi}$ , то принять

$\tilde{\Phi} := \Phi$  и переход к шагу 1. В противном случае переход к шагу 4.

Шаг 4. Из системы (3) определить множители  $t_{i_v}$  ( $v = 0, 1, \dots, k$ ), принять  $k := k + 1$  и переход к шагу 2.

Необходимо отметить, что если  $X^k = (x_1^k, x_2^k, \dots, x_n^k)$  —  $\epsilon$ -оптимальное решение задачи (2<sup>k</sup>), на  $k$ -той итерации ( $k=0, 1, 2, \dots$ ), т. е. выполняется условие  $(\bar{f}_k - f(X^k)) / |\bar{f}_k| \leq \epsilon$ , и  $X^k$  допустимо для задачи (1), то оно будет также  $\epsilon$ -оптимальным решением этой задачи, так как

$$(\bar{f} - f(X^k)) / |\bar{f}| \leq (\bar{f} - f(X^*)) / |\bar{f}_k|,$$

где  $\bar{f}$  и  $\bar{f}_k$  — оценки сверху оптимума задач (1) и (2<sup>k</sup>) соответственно и  $\epsilon > 0$  — заданная точность. Здесь предполагается, что либо  $0 < f(X^k) < \bar{f} < \bar{f}_k$ , либо  $f(X^k) < \bar{f} \leq \bar{f}_k < 0$ .

Если  $X^k$  недопустимо для задачи (1), то приведенные теоремы 1, 2, 3 остаются справедливыми в случае, когда  $X^k$  ( $k = 0, 1, 2, \dots$ ) является  $\epsilon$ -оптимальным решением задачи (2). Тогда  $\epsilon$ -оптимальное решение задачи (1) может быть определено следующим алгоритмом.

### Алгоритм 2

Шаг 1. Принять  $k := 0$  и переход к шагу 2.

Шаг 2. Построить задачу (2<sup>k</sup>) и найти ее  $\epsilon$ -оптимальное решение  $X^k$ . Переход к шагу 3.

Шаг 3. Если  $X^k$  — допустимо для задачи (1), то оно будет также  $\epsilon$ -оптимальным решением этой задачи и переход к шагу 5. В противном случае переход к шагу 4.

Шаг 4. Из системы (3) определить множители  $t_{i_v}$  ( $v = 0, 1, \dots, k$ ), принять  $k := k + 1$  и переход к шагу 2.

Шаг 5. Конец.

Таким образом, справедлива следующая основная теорема.

Теорема 5. Если на каждой итерации  $p$  ( $p=0, 1, 2, \dots$ ) система (3) имеется неотрицательное решение, то существует эквивалентная ( $\epsilon$ -эквивалентная) задача типа (2<sup>k</sup>) и алгоритмы 1 и 2 обеспечивают построение этих задач соответственно.

В заключение авторы выражают искреннюю благодарность Дж. А. Бабаеву за обсуждение работы и ценные советы.

### Литература

1. Алиев А. А. Новый подход к решению задачи целочисленного программирования. — Изв. АН Азерб. ССР, серия физ.-техн. и матем. наук, 1980, № 1, с. 140 — 146.
2. Ахо А., Хопкрофт Дж., Ульман Дж. Построение и анализ вычислительных алгоритмов. — М.: Мир, 1979.
3. Велиев Г. П., Мамедов К. Ш. Метод решения задачи о ранжировании последовательности планов для решения задач дискретной оптимизации. — ЖВМ и МФ, 1981, № 3, с. 605 — 611.
4. Емеличев В. А., Комлик В. И. Метод построения последовательности планов для решения задач дискретной оптимизации. — М.: Наука, 1981.
5. Ковалев М. М. Дискретная оптимизация. — Минск: БГУ, 1978.
6. Финкельштейн Ю. Ю. Приближенные методы и прикладные задачи дискретного программирования. — М.: Наука, 1976.

Институт кибернетики АН Азерб. ССР

Э. Э. Элиев, К. Ш. Мамедов

### ГЕЛРИ-ХЭТТИ ДИСКРЕТ ПРОГРАМЛАШДЫРМА МЭСЭЛЭСИ ҮЧҮН БИР МӘҮДҮДИЙЈЭТ ШЭРТЛИ ЕКВИВАЛЕНТ ВӘ $\epsilon$ -ЕКВИВАЛЕНТ МЭСЭЛЭ ГУРМАГ ҮСУЛУ

Мэгэлэдээ ики дискрет програмлашдырма мэсэлэсийн эквивалентлийн вэ  $\epsilon$ -еквивалентлийн анилайышы верилир. Мүэjjэн шартлэр дахилиндэ бир мэйдудиийт шартли эквивалент вэ  $\epsilon$ -еквивалент мэсэлэнийн варлыгы вэ ону гурмаг үсүлүү көстәрилир.

А. А. Aliyev, K. Sh. Mamedov

### SINGLE CONSTRAINT PROBLEM WHICH IS EQUIVALENT OR $\epsilon$ -EQUIVALENT TO NONLINEAR DISCRETE PROGRAMMING PROBLEM

The notion of a problem which is equivalent or  $\epsilon$ -equivalent to discrete programming problem is introduced in this article. In the presence of certain conditions a method is given for establishing the existence of the single constraint equivalent or  $\epsilon$ -equivalent problem and finding it.

Н. Д. МУСАЕВ

УРАВНЕНИЕ ШРЕДИНГЕРА В НЕЛИНЕЙНОЙ ТЕОРИИ  
ВОЗМУЩЕНИЙ ГОРИЗОНТАЛЬНОГО ТЕЧЕНИЯ  
ДВУХ ЖИДКОСТЕЙ

(Представлено академиком АН Азербайджанской ССР М. Л. Расуловым)

1. Рассмотрим горизонтальное плоское течение двух идеальных несжимаемых жидкостей с плотностями  $\rho_1^0$  и  $\rho_2^0$  в канале фиксированной высоты  $h$ . Пусть  $x$ —горизонтальная,  $z$ —вертикальная оси. Ускорение сил тяжести  $g$  направлено против оси  $z$ .

Пусть в невозмущенном состоянии скорости жидкостей  $V_j$  разные, но однородны вдоль оси  $x$  и  $z$  и постоянны во времени  $V_j = v_j = \text{const}$ ,  $j = 1, 2$ . Нижняя жидкость более тяжелая  $\rho_2^0 > \rho_1^0$ . В невозмущенном состоянии толщины жидких слоев равны  $h_1$  и  $h_2$ ,  $h_1 + h_2 = h$ .

Для потенциального течения  $V_j = \nabla \varphi_j$  жидкостей уравнения движения сводятся к уравнению Лапласа и интегралам Коши—Лагранжа с граничными условиями непротекания на неподвижных верхней  $z = h_1$  и нижней  $z = -h_2$  стенах, непротекания (фазовых переходов нет) и непрерывности давления (нет поверхностного напряжения) на границе раздела  $z = \varsigma(t, x)$  жидкостей [1–4].

$$\nabla^2 \varphi_j = 0, v = \nabla \varphi_j, \frac{\partial \varphi_j}{\partial t} + \frac{V_j^2}{2} + \frac{p_j}{\rho_j^0} + gz = \frac{v_{j0}}{2} + \frac{p}{\rho_j^0}$$

$j = 1$  для  $z > \varsigma(t, x)$ ;  $j = 2$  для  $z < \varsigma(t, x)$

$$z = h_1; \frac{\partial \varphi_1}{\partial z} = 0; z = -h_2; \frac{\partial \varphi_2}{\partial z} = 0; z = \varsigma(t, x);$$

$$v_1^n = v_2^n; p_1 = p_2$$

(1.1)

Перейдем к потенциалам и скоростям возмущенного движения:

$$V'_j = V_j - v_j e, \quad \varphi'_j = \varphi_j - v_j x, \quad V'_j = \Delta \varphi'_j \quad (1.2)$$

и безразмерным переменным, используя в качестве масштабов длины— $h$ , а времени—величину  $\sqrt{h/g}$ .

2. Учитывая, что уравнения Лапласа и граничные условия на стенах—линейные, используем преобразование Лапласа по  $x$  и  $t$

$$\Phi'_l(\omega, \chi, z) = \frac{1}{2\pi} \int_{-\infty}^{\infty} \int_{-\infty}^{\infty} e^{i(xx - \omega t)} \varphi'(t, x, z) dt dx$$

$$\varphi'(t, x, z) = \frac{1}{2\pi} \int_{-\infty}^{\infty} \int_{-\infty}^{\infty} e^{-i(xx - \omega t)} \Phi_l(\omega, \chi, z) d\omega d\chi = [\Phi_l] \quad (2.1)$$

$$\Phi_l \doteq \varphi_l \frac{\partial}{\partial x} \doteq -i\chi, \quad \frac{\partial}{\partial z} = t_w \quad (2.1)$$

Решение уравнений Лапласа с учетом граничных условий на стенах можно представить в виде

$$\Phi_l = \frac{1}{2} [(1 - T_1) e^{\chi z} + (1 + T_1) e^{-\chi z}] A_1(\chi, w);$$

$$\Phi_l = \frac{1}{2} [(1 + T_2) e^{\chi z} + (1 - T_2) e^{-\chi z}] A_2(\chi, w); T_j = th \chi h_j; j = 1, 2 \quad (2.2)$$

Для нахождении  $A_1$  и  $A_2$  нужно использовать нелинейные граничные условия на межфазной границе  $z = \varsigma$ , на которой будем использовать разложения

$$\Phi_l(w, \chi, z) = \left\{ 1 \mp z \chi T_j(\chi) + \frac{z^2 \chi^2}{2!} \mp \right. \\ \left. \pm \frac{z^3 \chi^3}{3!} T(\chi) + O(z^4 \chi^4) \right\} A_j(\chi, w) \quad (2.3)$$

Здесь и далее в случае  $\mp$  или  $\pm$  верхний знак относится к  $j = 1$ , а нижний—к  $j = 2$ .

Переходя к оригиналам, имеем

$$\varphi'_l(t, x, z) = [A_j] \mp z [XT_j A_j] + \\ + \frac{z^2}{2!} [z^2 A_j] \mp \frac{z^3}{3!} [z^3 T_j A_j] + O(z^4) \quad (2.4)$$

Здесь и далее квадратная скобка в соответствии с (2.1) обозначает свертку по  $\chi$  и  $w$ .

Подставляя (2.4) и частные производные  $\varphi'_l$  по  $t$ ,  $x$  и  $z$  в граничные условия при  $z = \varsigma$ , получим три интегральных уравнения относительно  $A_1(w, \chi, z)$ ,  $A_2(w, \chi, z)$  и  $\varsigma(t, x)$ . Из-за нелинейных членов они не приводятся к алгебраическим относительно изображений  $A_1$  и  $A_2$ . Для решения этих интегральных уравнений применим метод последовательных приближений по малому параметру  $\epsilon$ , связанному с малостью возмущений  $\epsilon \sim \frac{d\varsigma}{dx}$  и введем быстрые  $t^{(0)}, x^{(0)}$  и медленные  $t^{(1)}, x^{(1)}, t^{(2)}, x^{(2)}$  переменные

$$t^{(0)} = t, \quad t^{(1)} = \epsilon t, \quad t^{(2)} = \epsilon^2 t, \quad x^{(0)} = x, \quad x^{(1)} = \epsilon x, \quad x^{(2)} = \epsilon^2 x \quad (2.5)$$

Далее, верхний индекс  $(o)$  у быстрых переменных будет опускаться. Решение для  $[A_j]$  и  $\varsigma(t, x)$  будем искать в виде разложений по  $\epsilon$ . Тогда получим три уравнения в виде разложений по  $\epsilon$ ,  $\epsilon^2$  и  $\epsilon^3$  с коэффициентами типа  $\xi^{(k)} [\omega^{(l)} \chi^{(m)} A_j^{(n)}]$ , где  $A_j^{(n)} \doteq a_j^{(n)} E$ , т. е.  $a_j^{(n)} = [A_j]$

$$l, m = 1, 2; \quad k, n = 1, 2, 3.$$

Приравнивая образовавшиеся коэффициенты, получим последовательную цепочку уравнений.

3. В первом приближении по  $\epsilon$  линейные интегральные уравнения приводятся к линейным алгебраическим уравнениям относительно изображений. Из условия существования неиnullевого решения получается дисперсионное уравнение для  $\omega(\chi)$

$$\frac{p_1(\omega - v_1 \chi)^2}{T_1(\chi)} + \frac{p_2(\omega - v_2 \chi)^2}{T_2(\chi)} - \chi = 0 \quad (3.1)$$

Необходимое условие отсутствия роста возмущений

$$(v_1 - v_2)^2 < \frac{1}{\chi} \left( \frac{th\chi h}{p_1} + \frac{th\chi h_2}{p_2} \right) \quad (3.2)$$

Решения для  $A_1^{(1)}$ ,  $A_2^{(1)}$  и  $Z^{(1)}$  определяются с точностью до произвольной функции  $A^{(1)}[\chi, \omega^{(1)}, \chi^{(1)}, \omega^{(2)}, \chi^{(2)}]$

$$A_1 = \frac{\omega(\chi) - v_1 \chi}{T_1(\chi)} A^{(1)}, \quad A_2^{(1)} = -\frac{\omega(\chi) - v_2 \chi}{T_2(\chi)} A^{(1)}, \quad Z^{(1)} = i\chi A^{(1)}, \quad (3.3)$$

что совпадает с известными линейными решениями (см. 1—4).

4. В последующих приближениях ограничимся анализом квазимохромотических возмущений, спектр которых в первом приближении представляется в виде

$$A_j^{(1)} = 2\pi [a_{j0} \delta(\chi - \chi_0) \delta(\omega - \omega_0) + a_{j0}^* \delta(\chi + \chi_0) \delta(\omega + \omega_0) + C_{j0} \delta(\chi) \delta(\omega)] \quad (4.1)$$

Здесь верхний индекс \* означает комплексное сопряжение.

Первое и второе слагаемые, соответствующие одной моде, определяемой фиксированным волновым числом  $\chi_0$  и частотой  $\omega_0 = \omega_0(\chi_0)$  в соответствии с (3.1), и обеспечивают действительные значения потенциалов; третье слагаемое с действительным коэффициентом  $C_{j0}$  характеризует средний уровень возмущений. В соответствии с (3.3) имеем

$$\begin{aligned} z^{(1)} &= 2\pi i \chi^0 [a_0 \delta(\chi - \chi_0) \delta(\omega - \omega_0) + a_0^* \delta(\chi + \chi_0) \delta(\omega + \omega_0)] \\ a_{j0} &= (-1)^{j-1} \frac{\omega_{j0}}{T_{j0}} a_0; \quad T_{j0} = T_j(\chi_0) = th(h_j \chi_0); \end{aligned}$$

Здесь  $a_0$ ,  $C_{10}$ ,  $C_{20}$  зависят только от медленных переменных. Оригиналы, определяющие линейное приближение для квазимохроматического возмущения, равны

$$a_j^{(1)} = (-1)^{j-1} \left\{ \frac{\omega_{j0}}{T_{j0}} (a_0 E + a_0^* E^*) \right\} + C_{j0}; \quad E = i\chi_0 (a_0 E - a_0^* E^*)$$

$$E = e^{-i\epsilon}, \quad E^* = e^{i\epsilon}, \quad \xi = \chi_0 x - \omega_0 t, \quad j = 1, 2 \quad (4.3)$$

5. Уравнения для  $a_1^{(1)}$  и  $a_2^{(1)}$  образуют систему двух линейных дифференциальных уравнений с частными производными по  $t$  и  $x$  второго порядка с постоянными коэффициентами. Откуда получаем уравнение для модуляции, определяемой групповой скоростью  $w$ , соответствующей волновому числу квазимохроматического возмущения  $\chi = \chi_0$

$$\frac{da_0}{dt^{(1)}} - w \frac{da_0}{dx^{(1)}} = 0 \quad w = \frac{d\omega}{d\chi} \quad (5.1)$$

Таким образом

$$a_0 = a_0(\xi^{(1)}, t^{(2)}, x^{(2)}), \quad \xi^{(1)} = x^{(1)} - wt^{(1)} \quad (5.2)$$

Из уравнения для  $\zeta$  в (1, 2) получим выражения для  $a_1^{(2)}, \zeta^{(2)}$ .

6. Третье приближение приводит к уравнению относительно  $a_1^{(3)}$  и  $a_2^{(3)}$ .

Существуют решения типа  $C_{j0}$ , которые имеют вид

$$\begin{aligned} (\rho_1 w_1^2 - h_1) \frac{\partial C_{10}}{\partial \xi^{(1)}} - \rho_2 w_1 w_2 \frac{\partial C_{20}}{\partial \xi^{(1)}} &= S^{(30)}, \quad (a_0 a_0^*) \\ \rho_1 w_1 w_2 \frac{\partial C_{10}}{\partial \xi^{(1)}} - (\rho_2 w_2^2 - h_2) \frac{\partial C_{20}}{\partial \xi^{(1)}} &= S_{20}^{(30)} (a_0 a_0^*) \end{aligned}$$

Разрешая эту линейную алгебраическую систему, имеем

$$\frac{\partial C_{10}}{\partial \xi^{(1)}} = \epsilon_j (a_0 a_0^*), \quad \epsilon_j = \frac{\rho_1 w_1 w_2 S_2^{(30)} - (\rho_2 w_2^2 - h_2) S_1^{(30)}}{\rho_1 w_1^2 h_1 - \rho_2 w_2^2 h_1 - h_1 h_2}$$

Для определения зависимости  $a_0$  от  $t^{(2)}$  и  $x^{(2)}$ , получаем уравнение Шредингера

$$\begin{aligned} i \frac{\partial a_0}{\partial t^{(2)}} - \mu \frac{\partial^2 a_0}{\partial \xi^{(1)} \partial \xi^{(1)}} + \eta (a_0^* a_0) &= 0 \\ \xi^{(2)} = x^{(2)} - wt^{(2)}, \quad \tau^{(2)} = \frac{x^{(2)} - wt^{(2)}}{w} \end{aligned}$$

Знак величины  $\mu\eta$ , определяемой алгебраическими выражениями, зависящими от  $\rho_1, \rho_2, h_1, h_2, v_1, v_2$  и  $\chi$ , характеризует нелинейную устойчивость течения к возмущению с заданной длиной волны. Это условие значительно сильнее ограничивает разницу скоростей ( $v_1 - v_2$ ) для устойчивости течения, нежели условие линейной нейтральной устойчивости (3.2).

Исследования конкретных ситуаций на основе полученного уравнения будут представлены в отдельной работе.

#### Литература

- Кочин Н. Е., Кубель И. А., Розе Н. В. Теоретическая гидродинамика. — ОГИЗ, Гостехиздат, 1948.
- Сретенский Л. Н. Теория волновых движений жидкости. — М.: Изд-во Наука, 1977.
- Узум Дж. — Линейные и нелинейные волны. — М., 1977.
- Лойтхим Дж. Волны в жидкостях. — М.: Мир, 1981.

Азерб. институт народного хозяйства  
им. Д. Буният-заде

Поступило 8. X 1984

Н. Д. Мусаев

#### ИКИ МАЈЕНИН ҺОРИЗОНТАЛ АХЫНЫНЫН ГЕЈРИ-ХЭТТИ ҺӘЈӘЧАНЛАНМА НӘЗӘРИЙЈЕСИНДӘ ШРЕДИНКЕР ТӘНЛИИ

Мәгәләдә икى сыйылмајан мајенин һоризонтал потенциал ахынында гејри-хэтти һәјәчанламаның яйымасы анализинин аналитик методу ишләнилмиш вә һәјәчанлама амплитудунун дәјишмәси. Шрединкер тәмлијинә қотирилмәси көстәрилмишdir.

N. D. Musaev

#### SHREDINGER EQUATION IN NON-LINEAR THEORY OF THE TWO LIQUIDS HORIZONTAL FLOW PERTURBATIONS

According to the analytical method of the development analysis of non-linear perturbations by horizontal potential flow of the two ideal incompressible liquids is developed in this article.

It is shown that the change in perturbation amplitude is reduced to Shredinger equation.

УДК 539.3

## ПРИКЛАДНАЯ МЕХАНИКА

Т. Н. КИЯСБЕЯЛИ

ОБ УЧЕТЕ ФИЗИЧЕСКОЙ НЕЛИНЕЙНОСТИ И ИЗМЕНЕНИЯ  
ГЕОМЕТРИЧЕСКИХ ПАРАМЕТРОВ В УПРАВЛЕНИЯХ  
ДВИЖЕНИЯ ЦИЛИНДРИЧЕСКИХ ОБОЛОЧЕК

(Представлено академиком АН Азербайджанской ССР А. Х. Мирзаджанзаде)

Рассматривается уточненный вариант уравнений движения цилиндрических оболочек, основанных на гипотезе Кирхгофа-Лява с учетом физической нелинейности материала и изменения геометрических параметров от слоя к слою по толщине оболочки. Предполагается, что предел текучести материала не зависит от среднего напряжения  $\sigma_0$  и определяется только интенсивностью касательных напряжений, т. е. вторым инвариантом девиатора напряжений. Считая, что первые инварианты тензоров напряжений и деформаций связаны линейно, и интенсивность напряжений  $\sigma_{ij}$  является определенной функцией от интенсивности деформаций  $\epsilon_i$ , соотношения между напряжениями и деформациями при нелинейном законе упругости представим в виде

$$\sigma_{ij} = \delta_{ij} 3K\chi(\epsilon_0) + 2G\gamma(\gamma_1^2)(\epsilon_{ij} - \delta_{ij}\epsilon_0) \quad (1)$$

$$\epsilon_{ij} = \delta_{ij} \frac{1}{3K} \kappa(S_0) \sigma_0 + \frac{1}{2G} g(t_0^2)(\sigma_{ij} - \delta_{ij}\sigma_0) \quad (2)$$

$$(i = 1, 2, 3; j = 1, 2, 3)$$

Здесь  $K$ ,  $G$  считаются независимыми и для нелинейно-упругой изотропной среды названы обобщенными модулями упругости;  $\delta_{ij}$  — символ Кронекера;  $\delta_{ij} = 1$  при  $i \neq j$  и 0 при  $i = j$ ;  $\chi(\epsilon_0)$ ,  $\gamma(\gamma_1^2)$ ,  $\kappa(S_0)$ ,  $g(t_0^2)$  — соответственно функции удлинения, сдвига, среднего напряжения и интенсивности касательных напряжений, допускающие разложение в степенные ряды, область сходимости которых хотя и неизвестна, но не равна нулю [3].

$$\chi(\epsilon_0) = 1 + \sum_{n=1}^{\infty} \chi_n \epsilon_0^n; \quad \gamma(\gamma_1^2) = 1 + \sum_{n=1}^{\infty} \gamma_{2n} \gamma_1^{2n} \quad (3)$$

$$\kappa(S_0) = 1 + \sum_{n=1}^{\infty} \kappa_n S_0^n; \quad g(t_0^2) = 1 + \sum_{n=1}^{\infty} g_{2n} t_0^{2n}. \quad (4)$$

где:  $\chi_n$ ,  $\kappa_n$ ,  $\gamma_{2n}$  и  $g_{2n}$  — упругие постоянные материала, определяемые экспериментальным путем [3];  $\epsilon_0$ ,  $\gamma_1$  — среднее удлинение и интенсивность деформации сдвига, определяемые из выражений:

$$\epsilon_0 = \frac{1}{3} \epsilon_{11}; \quad \gamma_1^2 = 2\epsilon_{11}\epsilon_{22}; \quad \epsilon_{11} = \epsilon_{11} - \delta_{11}\epsilon_0 \quad (5)$$

$S_0$ ,  $t_0^2$  — приведенное среднее напряжение и приведенная интенсивность касательных напряжений

$$S_0 = \frac{1}{6K} \sigma_0; \quad t_0^2 = \frac{1}{G^2} \cdot \frac{1}{2} S_{11} S_{22}; \quad S_{11} = \sigma_{11} - \delta_{11} \frac{1}{3} \sigma_{22} \quad (6)$$

Приняв правую систему координат  $x_i, x_j$ , условимся совмещать их с линиями кривизны  $\kappa_i, \kappa_j$ , а линию  $z$  направим вдоль нормали к срединной поверхности к центру кривизны. Тогда в общем случае, система внутренних усилий и моментов в оболочке, связанная с контравариантными компонентами тензора напряжений  $\sigma_{ij}$  и радиусами кривизны  $R_i, R_j$  нормалью их сечений оболочки можно представить через их физические составляющие интегральными соотношениями [2]

$$M_{ij} = -(-1)^{i+j} \sqrt{g_{11} g_{22}} \int_{-h/2}^{h/2} \sigma_{ij} z \left( 1 + \frac{z}{R_i} \right) dz \quad (7)$$

$$N_{ij} = \sqrt{g_{11} g_{22}} \int_{-h/2}^{h/2} \sigma_{ij} \left( 1 + \frac{z}{R_i} \right) dz \quad (i = 1, 2; j = 1, 2; \kappa = 1, 2; \kappa \neq i),$$

где  $g_{11}, g_{22}$  — компоненты фундаментального тензора, определяющего метрику поверхности.

С учетом аналитических связей между деформациями ( $\epsilon_{ii}, \tau_{ij}$ ) и физическими составляющими  $u_i, u_j$  и  $w$  вектора перемещения и методики, изложенной в работе [4] на основании выражений (1), (3), (5), (7) для системы внутренних усилий и моментов в оболочке после отbrasывания второстепенных величин, получим

$$N_{ii} = \frac{Eh}{1-\mu^2} \left[ \frac{\partial u_i}{\partial x_i} + \mu \frac{\partial u_j}{\partial x_i} - (\kappa_i + \mu \kappa_j) w - \frac{\kappa_i^2 h^2}{12} (\kappa_i - \kappa_j) w - \frac{h^2}{12} (\kappa_i - \kappa_j) \frac{\partial^2 w}{\partial x_i^2} \right] \quad (8)$$

$$N_{ij} = \frac{Eh}{2(1+\mu)} \left\{ \frac{\partial u_i}{\partial x_j} + \frac{\partial u_j}{\partial x_i} + \frac{h^2}{12} (\kappa_i - \kappa_j)^2 \frac{\partial u_i}{\partial x_i} - \frac{h^2}{12} (\kappa_i - \kappa_j) \times \right. \\ \left. \times \frac{\partial^2 w}{\partial x_i \partial x_j} + \frac{8}{9} \frac{h^3}{12} \tau_{ij} \frac{\partial^2 w}{\partial x_i^2} \left[ \mu_2 (\kappa_i + \kappa_j) w - \mu_1 \frac{\partial^2 w}{\partial x_i^2} - \mu_1 \frac{\partial^2 w}{\partial x_j^2} \right] \right\} \quad (9)$$

$$M_{ii} = -D \left[ \frac{\partial^2 w}{\partial x_i^2} + \mu \frac{\partial^2 w}{\partial x_j^2} + \kappa_j \left( \frac{\partial^2 u_j}{\partial x_i^2} + \mu \frac{\partial u_j}{\partial x_i} \right) + \kappa_i (\kappa_i - \kappa_j) w \right] \quad (10)$$

$$M_{ij} = -D \frac{1-\mu}{2} \left[ 2 \frac{\partial^2 w}{\partial x_i \partial x_j} + \kappa_i \frac{\partial u_i}{\partial x_j} - (\kappa_i - 2\kappa_j) \frac{\partial u_j}{\partial x_i} - \frac{8}{9} \mu_2 \tau_{ij} (\kappa_i + \kappa_j) w \left( 2 \frac{\partial^2 w}{\partial x_i^2} - \frac{\partial^2 w}{\partial x_j^2} \right) \right] \quad (11)$$

Составляя уравнения моментов относительно касательных к линиям  $x_{ij}$ , на основании выражений (8)–(11) определяем поперечные силы сдвига

$$Q_{ij} = -D \left\{ \frac{\partial^3 w}{\partial x_i^3} + \frac{\partial^3 w}{\partial x_i \partial x_j^2} + \kappa_j \frac{\partial^2 u_i}{\partial x_i^2} - (\kappa_j - 2\kappa_i) \frac{1-\mu}{2} \frac{\partial^2 u_i}{\partial x_i^2} + \right.$$

$$+ \frac{1+\mu}{2} \kappa_j \frac{\partial^2 u_j}{\partial x_1 \partial x_j} + \kappa_i (\kappa_i - \kappa_j) \frac{\partial w}{\partial x_1} - \frac{8}{9} \Gamma_2 \gamma_2 \frac{1-\mu}{2} \times \\ \times (\kappa_i + \kappa_j) \left[ \frac{\partial w}{\partial x_j} \left( 2 \frac{\partial^2 w}{\partial x_j^2} - \frac{\partial^3 w}{\partial x_1^2} \right) + w \left( 2 \frac{\partial^3 w}{\partial x_j^3} - \frac{\partial^3 w}{\partial x_1^2 \partial x_j} \right) \right], \quad (12)$$

где: при  $i = 1 j = 2$ , а при  $i = 2 j = 1$ .

Подставляя выражения (8)–(12) в уравнение равновесия [1], после отбрасывания некоторых малых величин высшего порядка получим уравнения движения в перемещениях

$$\frac{\partial^2 u_1}{\partial x_1^2} \left( 1 + \frac{h^2}{12} \kappa_1 \kappa_j \right) + \frac{1-\mu}{2} \left[ 1 + \frac{h^2}{12} (\kappa_j^2 - 3\kappa_1 \kappa_j + 3\kappa_1^2) \right] \frac{\partial^2 u_1}{\partial x_j^2} + \\ + \frac{1+\mu}{2} \left( 1 + \frac{h^2}{12} \kappa_1 \kappa_j \right) \frac{\partial^2 u_j}{\partial x_1 \partial x_j} + \kappa_1 \frac{h^2}{12} \frac{\partial^3 w}{\partial x_1^3} + \frac{h^2}{12} \left( \kappa_1 \frac{3-\mu}{2} - \kappa_j \frac{1-\mu}{2} \right) \frac{\partial^3 w}{\partial x_1 \partial x_j^2} + (\kappa_1 + \mu \kappa_j) \frac{\partial w}{\partial x_1} + \gamma_2 \left\{ \mu_2 [\kappa_1 (\kappa_1 + \kappa_j) \times \right. \\ \times \frac{\partial w}{\partial x_j} \frac{\partial^3 w}{\partial x_1^2} - \frac{\partial^2 w}{\partial x_1^2} \frac{\partial^3 w}{\partial x_j^3} - \frac{\partial^2 w}{\partial x_j^2} \frac{\partial^3 w}{\partial x_1^2 \partial x_j} \left. \right] - 2\mu_1 \frac{\partial^2 w}{\partial x_j^2} \times \frac{\partial^3 w}{\partial x_1^3} \right\} + \\ + \frac{1-\mu^2}{Eh} p_1 - \frac{1-\mu^2}{E} \frac{\gamma}{g} \frac{\partial^2 u_1}{\partial t^2} = 0 \quad (13)$$

$$\kappa_2 \frac{h^2}{12} \frac{\partial^3 u_1}{\partial x_1^3} + \frac{h^2}{12} \left( \kappa_1 \frac{3-\mu}{2} - \kappa_2 \frac{1-\mu}{2} \right) \frac{\partial^3 u_1}{\partial x_1 \partial x_2^2} + \frac{h^2}{12} \left( \kappa_2 \frac{3-\mu}{2} - \kappa_1 \frac{1-\mu}{2} \right) \frac{\partial^3 w}{\partial x_1^2 \partial x_2} + \kappa_1 \frac{h^2}{12} \frac{\partial^3 u_2}{\partial x_2^3} - (\kappa_2 + \mu \kappa_1) \frac{\partial u_2}{\partial x_2} + \\ + (\kappa_1^2 + 2\mu \kappa_1 \kappa_2 + \kappa_2^2) w + \frac{h^2}{12} (\kappa_1 - \kappa_2) (\kappa_1^3 - \kappa_2^3) w + \frac{h^2}{6} \kappa_1 \times \\ \times (\kappa_1 - \kappa_2) \frac{\partial^2 w}{\partial x_1^2} + \frac{h^2}{6} \kappa_2 (\kappa_2 - \kappa_1) \frac{\partial^2 w}{\partial x_2^2} + \frac{h^2}{12} \Delta^2 w + \mu_2 \gamma_2 \times \\ \times \left[ \frac{\partial^2 w}{\partial x_1 \partial x_2} \Delta w + \frac{\partial w}{\partial x_1} \left( \frac{\partial^3 w}{\partial x_2^3} + \frac{\partial^3 w}{\partial x_1^2 \partial x_2} \right) + \frac{\partial w}{\partial x_2} \left( \frac{\partial^3 w}{\partial x_1^3} + \frac{\partial^3 w}{\partial x_1 \partial x_2^2} \right) \right] - \\ - \frac{1-\mu^2}{Eh} q + \frac{1-\mu^2}{E} \frac{\gamma}{g} \frac{\partial^2 w}{\partial t^2} = 0, \quad (14)$$

где:

$$D = \frac{Eh}{12(1-\mu^2)}; \mu_1 = 1 + \frac{\mu}{(1-\mu)^2}; \mu_2 = -1 + \frac{2\mu}{(1-\mu)^2}; \\ \mu = \frac{1}{2} \frac{3\kappa - 2G}{3\kappa + G}; \gamma_2 = \frac{4h^2}{9} \gamma_2 \frac{1-\mu}{2}; \\ \Delta^2 = \frac{\partial^4}{\partial x_1^4} + 2 \frac{\partial^4}{\partial x_1^2 \partial x_2^2} + \frac{\partial^4}{\partial x_2^4}$$

В отличие от предложенных уравнений [1, 6], уравнения (13)–(14) содержат нелинейные члены, связанные с учетом физической

нелинейности материала. Несмотря на сложную форму нелинейных членов, исследование и применение этих уравнений при решении некоторых важных для практики задач являются весьма перспективными. Так как нелинейные члены у физического параметра  $\gamma_2$  однородны и имеют вторую степень относительно функции  $w$  и ее производных, а остальные члены – линейны, то при достаточно малых значениях  $w$  можно принять, что нелинейные члены малы по сравнению с каждым из линейных членов уравнений. Поэтому нелинейную часть уравнений (13)–(14) можно рассматривать как возмущающий член линеаризованных уравнений, изменяющей решение линейной теории на величину более высокого порядка малости. Это позволяет применить метод Пуанкаре [5] или же другие прямые и приближенные способы решения нелинейных уравнений (13)–(14).

В заключение отметим, что полученные дифференциальные уравнения движения физически нелинейных цилиндрических оболочек в случае  $\gamma_2 = 0$  совпадают с уравнениями А. С. Вольмира [1], а при  $\gamma_2 = 0; \kappa_1 = 0; \kappa_2 = i R_1$  совпадают с уравнениями В. Флюгге [6], полученными на базе линейного закона упругости.

#### Литература

1. Вольмир А. С. Нелинейная динамика пластинок и оболочек. – М.: Изд-во Наука, 1972, с. 50–51.
2. Гольденвейзер А. Л. Теория упругих тонких оболочек. – М.: Изд-во Недра, 1976, с. 512.
3. Каудерер Г. Нелинейная механика. – М.: Иностр. лит., 1961, с. 777.
4. Киясбейли Т. Н. Тем. сб. научн. трудов. Некоторые статические и динамические задачи теории упругости и пластичности. – Баку Изд-во АГУ, 1983, с. 101–108.
5. Проскуряков А. П. Метод Пуанкаре в теории нелинейных колебаний. – М.: Наука, 1977, с. 256.
6. Флюгге В. Статика и динамика оболочек. – М.: Госстройиздат, 1961, с. 219, 233.

Поступило 19. IV 1984

Т. Н. Гијасбәјли

#### СИЛИНДРИК ӨРТҮКЛӘРИН ҺӘРӘКЕТ ТӘНЛИКЛӘРИНДӘ ФИЗИКИ ГЕЈРИ-ХАТТИЛИЈИН ВӘ ҺӘНДЭСИ ПАРАМЕТРЛӘРИН ДӘЖИШМӘСИНИН ҺӘЗӘРӘ АЛЫНМАСЫНА ДАИР

Мәгаләдә Кирхгоф-Лјав һипотезаларына əсасен хәтти шәкилдә деформасија иле жердәйшимләр арасында аналитик əлагә гурулур вә бүнлар гејри-хәтти һүг ганунларында тәтbiг олунур. Соңра асимптотик методдан истифадә өдилләр вә гејри-хәтти һүг гануну кононик шәкилдә кәтирилләр. Даламбер принципинә əсасен гурулмуш мүказијат тәнликләриндән истифадә өдилләрәк физики гејри-хәтти өртүкләри һәрәкәт тәнликләри јердәйшимләр васитәсінә верилмишdir.

T. N. Kiyasbeily

#### ABOUT CALCULATION OF THE NONLINEARITY AND CHANGE IN GEOMETRICAL PARAMETERS OF THE MOTION EQUATIONS OF THE CYLINDRICAL SHELLS

The specified variant of the motion equations of the cylindrical shells based on the Kirhgoф-Ljav hypothesis is considered. The change in curvative of medial surface and physical nonlinearity of the shells material is taken into account. The system of motion equations of the physically nonlinear cylindrical shells is given.

## ФИЗИКА ПОЛУПРОВОДНИКОВ

Э. И. ВЕЛИЮЛИН, чл-корр. Ч. О. КАДЖАР, С. А. МУСАЕВ, Б. М. РУСТАМБЕКОВ

## СПЕКТРОМЕТР ЭЛЕКТРООТРАЖЕНИЯ

Круг задач, решаемых с помощью спектроскопии электроотражения, охватывает такие вопросы, как исследование зонной структуры кристалла, изучение состояния его поверхности и локальной дефектности, определение состава полупроводниковых твердых растворов в локальной области и микронеоднородностей по составу.

В данной работе описан спектрометр, предназначенный для исследования спектров слабополевого электроотражения и локального контроля состава полупроводниковых сплавов.

Структурная схема установки приведена на рис. 1. Световой луч от источника излучения через конденсатор, монокроматор и оптическую

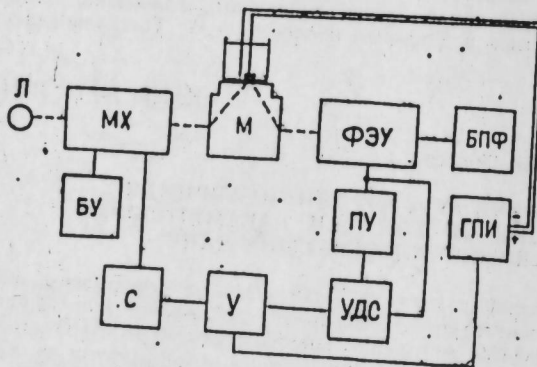


Рис. 1. Структурная схема спектрометра электроотражения:  
Л — лампа ТРШ-3000; МХ — монокроматор МДР-23; БУ — блок управления монокроматором; М — микроскоп МИМ-8М; ФЗУ — фотодиодный умножитель; БПФ — блок питания ф. э. у.; ГПИ — генератор прямоугольных импульсов; ПУ — предварительный усилитель; УДС — устройство деления сигналов; У — усилитель и синхронный детектор; С — самописец

систему микроскопа попадает под углом, близким к нормальному, на поверхность исследуемого образца, помещенного в электролитическую ячейку. Отраженный от образца луч через выходной тубус микроскопа попадает на одно из трех смених вогнутых зеркал фотометрической насадки ФМЭЛ-1А, в плоскости которого проектируется освещенный участок образца. В центре каждого из этих зеркал имеется небольшой кружок без отражающего слоя диаметром соответственно 0,1; 0,5 и 1,5 мм. Свет, попадающий на участок зеркала без отражающего слоя, проходит его и попадает на фотодиодный умножитель (ф.э.у.).

От генератора униполярных прямоугольных импульсов на исследуемый образец подается импульсное напряжение, модулирующее оптические параметры материала образца, в частности, коэффициент отражения. Одновременно на образец можно подавать и напряжение постоянного смещения.

Снимаемый с выхода ф.э.у. модулированный сигнал поступает на измерительную систему установки: сначала на узкополосный предусильитель, затем на устройство деления сигналов, усилитель, синхронный детектор и самописец.

При разработке оптической системы установки ставилась цель достижения высокого пространственного разрешения (локальности) при регистрации спектра с различных точек образца, а также обеспечения возможности сканирования световым зондом по образцу. Для этих целей в комплексе с монокроматором МДР-23 применены оптическая часть микроскопа МИМ-8М и насадка фотометрическая ФМЭЛ-1А. Набор объективов микроскопа дает возможность получать узкий световой зонд в фокальной плоскости которого должна располагаться отражающая поверхность образца.

Предметный столик, на котором располагается ячейка с образцом с помощью микрометрических винтов может перемещаться вдоль двух направлений в горизонтальной плоскости, что позволяет сканировать лучом по поверхности образца.

Насадка ФМЭЛ-1А прикрепляется к выходному тубусу микроскопа резьбовым переходником, позволяющим регулировать расстояние от выхода микроскопа до входа насадки. Это дает возможность реализовать различные варианты локальности фотометрируемых участков: Для регистрации сигнала со всей освещаемой световым зондом поверхности образца необходимо, чтобы вогнутое смениное зеркало (с диаметром пропускающего отверстия 1,5 мм) насадки оказалось в фокусе линзы выходного тубуса микроскопа. При фотометрировании участка образца с локальностью, например, 100 мкм надо получить на образце световой зонд размером 1 мм и спроектировать его на вогнутое зеркало насадки с 15-кратным увеличением, при этом отверстие зеркала в 1,5 мм пропускает на ф.э.у. свет с участка образца 100 мкм.

Измерительная система собрана по схеме синхронного детектирования с включением в нее оригинального устройства деления сигналов.

Модулирующее напряжение на образец и опорный сигнал на синхронный детектор подаются от генератора прямоугольных импульсов с частотой следования 500 Гц и максимальной амплитудой 1,5 В. На исследуемый образец прямоугольные импульсы подаются после делителя амплитуды с коэффициентом деления 1000, рабочим на 3 поддиапазона: 10, 100, 1000. Это переменное напряжение накладывается на регулируемое (до 1,5 В) постоянное смещение.

Предварительный усилитель настроен на частоту модуляции 500 Гц. Коэффициент усиления его 180, полоса пропускания — 80 Гц.

Устройство деления сигналов обеспечивает получение относительного изменения коэффициента отражения  $\Delta R/R$  (сигнала электроотражения), не зависящего от распределения интенсивности в спектре источника излучения, дисперсии монокроматора и неравномерности спектра чувствительности ф.э.у. Это достигается не за счет поддержания уровня немодулированного сигнала, как реализовано в ряде работ [1, 2], а путем автоматической регулировки усиления переменной составляющей сигнала. Устройство представляет собой усилитель, коэффициент усиления которого управляемся анодным током ф.э.у. Работа схемы устройства основана на использовании зависимости сопротивления сток-исток полевого транзистора от управляющего напряжения на затворе, а это сопротивление, в свою очередь, определяет коэффициент усиления операционного усилителя. Динамический диапазон автоматической ре-

Приращение усиления устройства 40 дБ. Основной усилитель имеет общий коэффициент усиления 20.

Сигнальный детектор (СД) собран в основном по схеме, описанной в работе [6].

Измерение поверхности потенциала образца производится поляризацией электрода. В качестве последнего использован ИМ раствор КСО в виде, в противоположном стеклянной пластине. Перед измерениями электроотражения снимается вольтамперная характеристика системы полупроводник—электролит, по которой определяются природные границы значений постоянного смещения и модулирующего напряжения, подаваемых на образец.

На рис. 2 представлена спектр локального электроотражения (перехода типа  $E_1$ ) узкозонного полупроводникового сплава  $Cd_xHg_{1-x}Te$ . Методом трех точек с использованием калибровки работы [4] определены энергия перехода  $E_g = 2,30$  эВ и параметр уширения  $\Gamma = 100$  мэВ. В соответствии с зависимостью энергетического положения перехода  $E_1$

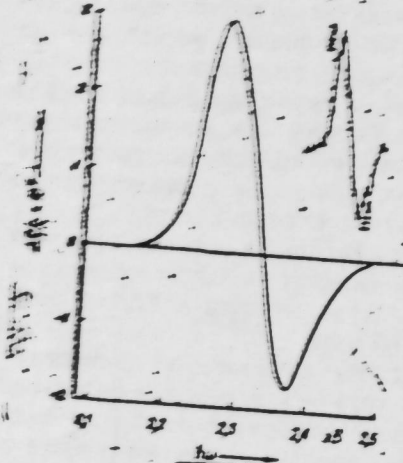


Рис. 2. Спектр локального электроотражения кристалла: модуляция — 0,25 В; постоянное смещение — 0,3 В; локальность — 0,01 м<sup>2</sup>. В правом верхнем углу — запись линии электроотражения

от состава [5] для выделенной локальной области образца найдено значение  $x = 0,25$ . Уширение спектра связано в основном с влиянием двух факторов — ионизированных примесей и неоднородностей по составу. Однако при достаточно высокой локальности исследуемой области кристалла неоднородность по составу незначительна. Это позволяет по параметру уширения  $\Gamma$  спектра электроотражения оценить дефектность локальной области кристалла [6].

Погрешность определения энергии перехода  $E_1$  составляет не более 0,008 эВ. Точность определения состава при этом для  $x = 0 \div 1$  соответствует  $\Delta x = 1,8\% \div 0,3\%$ , принимая значение  $\Delta x = 1,2\%$  для актуального состава  $x = 0,2$ .

О результатах исследований спектров электроотражения сплава  $Cd_xHg_{1-x}Te$  различных составов будет сообщено в последующих публикациях.

Авторы приносят благодарность сотрудникам Института полупроводников АН УССР В. А. Лысенко и В. Б. Попову за помощь при испытаниях спектрометра.

Институт физики АН Азерб. ССР

## Литература

1. Тягай В. А., Бондаренко В. Н.—ПТЭ, 1970, № 2, с. 236.
2. Блинов Л. М., Дубинин Н. В., Костылев К. А и др.—ПТЭ, 1983, № 2, с. 170.
3. Каджар Ч. О., Мусаев С. А., Салаев Э. Ю.—ПТЭ, 1982, № 5, с. 103.
4. Aspnes D. E., Rowe J. E.—Phys. Rev. Lett., 1971, 27, p. 188.
5. Moritani A., Taniguchi K., Mataguchi C.—J. Phys. Soc. Japan, 1973, 34, p. 79.
6. Розниченко М. Ф., Вертопрахов В. Н., Несмолова И. М., Аверьянов И. С.—ФТИ, 1982, 16, № 5, с. 885.

Поступило 29. VI 1984

Институт физики АН Азерб. ССР

Е. И. Велиуллин, Ч. О. Гачар, С. Э. Мусаев, Б. М. Рустембеков

## ЕЛЕКТРИКЭКСЕТМЭ СПЕКТРОМЕТРИ

Магаладэ зәйфсаһели электрикэксетмэ спектрләрини тәдгиги вә јарымкечирчи бәрк мәңгүлларын тәркибиин локал иәзәрәти учун һазырланмыш спектрометрии тәсвирләри верилмишdir. Нүмумации сәтиндә локал сәнәциин сечилмәси үчүн МДР-23 монокроматору илә бирликдә МИМ-8М микроскопуну оптик инсәси вә ФМЕЛ-1А фотометрик әлавасын тәтбиг олунмушdur. Олчү системи дүзбучаглы импулс көнөраторундан, илкин күчләндирчицән, хүсуси нөв сигнал белүшдүрүчү түргудан, күчләндирчицән, илкин күчләндирчицән, хүсуси нөв сигнал белүшдүрүчү түргудан ибаратдир. Һәмчинин һазырланмыш электрон блокларының гыса тәсвири да верилир.

E. I. Vellyulin, Ch. O. Qajar, S. A. Musayev, B. M. Rustambekov

## ELECTROREFLECTANCE SPECTROMETER

The article is concerned with the description of spectrometer designed to study the spectra of weak-field electroreflectance and local control of the composition of semiconducting solid solutions. For the purpose of selecting the local region of a sample surface the optical part of MIM-8M microscope and FMEL-1A photometric attachment were used with MDR-23 monochromator. The measuring system involves the square-pulse generator, preamplifier, original device for pulse division, amplifier, direct-conversion receiver, recorder. The elaborated electron units are briefly outlined.

3. З. МАХМУДОВ, Н. Г. АБДУЛЛАЕВ

ВОЗБУЖДЕНИЕ ПОВЕРХНОСТНЫХ ПЛАЗМЕННЫХ ВОЛН  
В КЭЙНОВСКИХ ПОЛУПРОВОДНИКАХ ОДНОРОДНЫМ  
ВЫСОКОЧАСТОТНЫМ ЭЛЕКТРИЧЕСКИМ ПОЛЕМ

(Представлено академиком АН Азербайджанской ССР Н. А. Гулиевым)

Усиление объемных плазменных волн в полупроводниках с Кэйновским спектром однородным высокочастотным электрическим полем (ОВЭП) рассматривалось в работах [1, 2]. Показано, что при частотах ОВЭП  $\omega$ , близких к частоте объемных плазменных волн  $\omega_p$ , происходит параметрическое усиление этих волн. Причиной такого параметрического усиления является неквадратичная зависимость энергии электронов от импульса.

Настоящая работа посвящена исследованию параметрического усиления поверхностных волн в полупроводниках с Кэйновским законом дисперсии. Оказывается, что усиление наиболее велико, когда выполняется условие  $\omega \approx \omega_p / \sqrt{\epsilon_1 + \epsilon_2}$  для полубесконечного образца и

$$\omega \approx \omega_p \sqrt{\epsilon_2 + \frac{\epsilon_1 + \epsilon_3}{2th(kd)} \pm \sqrt{\left(\frac{\epsilon_1 + \epsilon_3}{2th(kd)}\right)^2 - \epsilon_1 \epsilon_3}} - \text{для пластины. Здесь } \omega_p = \frac{4\pi e^2 n}{m^* \epsilon_2} - \text{плазменная частота, } m^* - \text{эффективная масса, } e - \text{заряд,}$$

$n$  — плотность носителей тока,  $\epsilon_2$  — решеточная диэлектрическая проницаемость полупроводника,  $\epsilon_1, \epsilon_3$  — диэлектрические проницаемости диэлектриков, граничащих с полупроводником сверху и снизу, соответственно. Пороговое поле при этом  $\omega$  порядку величины такое же, как и в работах [1, 2].

При наличии внешнего сильного электрического поля и слабого электрического поля возбуждаемой электромагнитной волны носители тока в полупроводнике удовлетворяют уравнениям:

$$\frac{\partial n}{\partial t} + \vec{\nabla}(n\vec{v}) = 0 \quad (1)$$

$$\frac{\partial \vec{p}}{\partial t} + (\vec{v} \cdot \vec{\nabla})\vec{p} + \frac{1}{\tau} \vec{p} = -e\vec{E} - \frac{1}{n} \vec{\nabla}\vec{P} \quad (2)$$

Здесь,  $n$  — плотность электронов,  $\vec{v}$  — их скорость,  $\vec{p}$  — импульс,  $\vec{E}$  — электрическое поле,  $\vec{P}$  — гидростатическое давление,  $\tau = \frac{m^*}{e} \mu_n$ ,  $\mu_n$  — подвижность электронов.

Зависимость энергии носителей тока от импульса имеет вид:

$$H = \left[ \left( \frac{1}{2} E_g \right)^2 + \frac{E_g p^2}{2m^*} \right]^{1/2} = [(m^* c^*)^2 + (pc^*)^2]^{1/2} \quad (3)$$

$E_g$  — ширина запрещенной зоны,  $c^* = \left( \frac{E_g}{2m^*} \right)^{1/2}$ . Отсюда следует, что скорость носителей тока связана с импульсом таким образом:

$$\vec{v} = \frac{c^* \vec{p}}{[(m^* c^*)^2 + p^2]^{1/2}} \quad (4)$$

Кроме того, электрическое поле в полупроводнике удовлетворяет уравнению Пуассона:

$$\epsilon_2 (\vec{\nabla} \vec{E}) = -4\pi e (n - n_0), \quad (5)$$

 $n_0$  — плотность ионов.

Электрическая индукция и потенциал на границе полупроводника должны удовлетворять следующим граничным условиям:

$$D_z^{(1)}(z) = L_z^{(2)}(z)|_{z=z_0}, \quad \varphi^{(1)}(z) = \varphi^{(2)}(z)|_{z=z_0}. \quad (6)$$

Если уравнения (1)–(6) линеаризовать по полю возбуждаемой волны, то получится линейная система с периодическими по времени коэффициентами, решение которой можно искать в виде

$$A(\vec{r}, t) = \sum_{l=-\infty}^{+\infty} A^l(\vec{r}, \omega) e^{-i\omega_l t} \quad (7)$$

( $A$  — любая из неизвестных, входящих в эту систему). Здесь  $\omega_l = \omega + l\omega_0$ ,  $\omega$  — частота возбуждаемой волны,  $\omega_0$  — частота накачки.

Будем считать, что внешнее ОВЭП  $\vec{E}_0$  направлено параллельно поверхности границы и перпендикулярно электрическому полулю возбуждаемой волны (волна предполагается потенциальной:  $\vec{e} = -\vec{\nabla} \varphi$ ). Если положить, что

$$\vec{e}^l(\vec{r}, \omega) = \vec{e}^l(\omega) \cdot e^{-i\omega_l \vec{r}}, \quad (8)$$

то как следует из системы (1)–(5),  $\vec{e}^l(\omega)$  должны удовлетворять системе уравнений:

$$\left[ 1 - \left( 1 - \frac{\gamma}{4} \right) \frac{\omega_p^2(\kappa)}{\omega_l(\omega_l + i\omega)} \right] (\vec{k} \cdot \vec{e}^l) - \frac{\gamma}{8} \left[ \frac{\omega_p^2(\kappa)}{\omega_l(\omega_l + 2 + i\omega)} (\vec{k} \cdot \vec{e}^{l+2}) + \frac{\omega_p^2(\kappa)}{\omega_l(\omega_l - 2 + i\omega)} (\vec{k} \cdot \vec{e}^{l-2}) \right] = 0 \quad (9)$$

Здесь,

$$\omega_p^2(\kappa) = \omega_p^2 + \frac{6\epsilon_F}{5m^*} \kappa^2, \quad \gamma = \left( \frac{eE_0}{m^* c^* \omega} \right)^2 \ll 1, \quad \omega = \frac{1}{\tau}, \quad \epsilon_F —$$

энергия Ферми. Отсюда следует, что для поверхностных волн должно удовлетворяться условие

$$\kappa_x^2 + \kappa_z^2 = 0 \quad (10)$$

(Ось  $z$  направлена перпендикулярно поверхности, а  $\vec{E}_0 \parallel Oy$ )

Рассмотрим сначала возбуждение поверхностных волн на границе полубесконечного диэлектрика с диэлектрической проницаемостью  $\epsilon_1$  и Кэйновского полупроводника с диэлектрической проницаемостью  $\epsilon_2$ . В этом случае решение (1)–(5) можно искать в виде

$$\vec{e}'(\vec{r}, \omega) = \vec{e}'(\omega) e^{i\kappa z + kz} \quad (11)$$

— в полупроводнике и

$$\vec{e}'(\vec{r}, \omega) = \vec{e}'(\omega) e^{i\kappa z - kz} \quad (11')$$

— в диэлектрике. Учитывая граничные условия (6), можно получить следующее дисперсионное уравнение, определяющее зависимость частоты  $\omega$  от волнового вектора  $\kappa$  и внешнего электрического поля:

$$\left[ 1 - (\epsilon_1 + \epsilon_2) \frac{\omega(\omega + i\nu)}{\omega_p^2} \right] \left[ 1 - (\epsilon_1 + \epsilon_2) \frac{(\omega - 2\omega_0)(\omega - 2\omega_0 + i\nu)}{\omega_p^2} \right] - \left[ 2 - (\epsilon_1 + \epsilon_2) \frac{\omega(\omega + i\nu)}{\omega_p^2} - (\epsilon_1 + \epsilon_2) \frac{(\omega - 2\omega_0)(\omega - 2\omega_0 + i\nu)}{\omega_p^2} \right] \frac{\gamma}{4} + \frac{3}{4} \left( \frac{\gamma}{4} \right)^2 = 0 \quad (12)$$

Если положить, что внешнее поле равно нулю, то из (12) легко найти частоту поверхностной волны

$$\omega_1 = \frac{\omega_p}{V\epsilon_1 + \epsilon_2} \quad (13)$$

Считая, что  $\omega_0 = \omega_1 + \delta$ ,  $\omega = \omega_0 + \xi$ , ( $\delta, \xi \ll \omega_1$ ), легко найти из (12), что при  $\delta = -\frac{\gamma\omega_1}{8}$  инкремент нарастания максимален и равен

$$\xi = -i \left( \frac{\nu}{2} - \frac{\gamma\omega_1}{16} \right) \quad (14)$$

Отсюда следует, что усиление волн происходит при значении ОВЭП  $E_0$ , превосходящем пороговое значение

$$E_{0n} = \frac{2m^* c^*}{e} \left( \frac{2\omega_1}{\tau} \right)^{1/2} \quad (15)$$

При  $m^* = \frac{1}{60} m_e$ ,  $c^* = 1,11 \cdot 10^8 \text{ см}/\text{с}$ ,  $\epsilon_1 = 1$ ,  $\epsilon_2 = 16$ ,  $\omega_p = 10^{14} \text{ с}^{-1}$ ,  $\tau = 10^{-14}$  с пороговое поле  $E_{0n} = 1,5 \cdot 10^5 \text{ в/см}$ .

Рассмотрим теперь возбуждение поверхностных волн в полупроводниковой пластине, занимающей пространство  $0 < z < -d$ , которое ограничивается при  $z = 0$  полубесконечным диэлектриком проницаемостью  $\epsilon_1$  и при  $z = -d$  с диэлектриком проницаемостью  $\epsilon_3$ . Решение будем искать в виде

$$\begin{aligned} \vec{e}'(\vec{r}, \omega) &= \vec{e}'(\omega) e^{i\kappa z - kz}, \\ \vec{e}'(\vec{r}, \omega) &= \vec{e}'(\omega) e^{i\kappa z + kz} + \vec{e}_2(\omega) e^{i\kappa z - kz} \quad \text{при } z > 0 \\ \vec{e}'(\vec{r}, \omega) &= \vec{e}'(\omega) e^{i\kappa z + kz} \quad \text{при } -d < z < 0 \\ &\quad \text{при } z < -d \end{aligned} \quad (16)$$

Используя граничные условия, можно получить дисперсионное уравнение для волн, у которых частота  $\omega$  близка к частоте поверх-

$$\begin{aligned} &A_1^+ A_3^+ B_1^+ B_3^+ - (A_1^+ A_3^+ B_1^- B_3^- + A_1^- A_3^- B_1^+ B_3^+) e^{-2kd} + \\ &+ A_1^- A_3^- B_1^- B_3^- e^{-4kd} - [A_1^+ A_3^+ (B_1^+ + B_3^+) + B_1^+ B_3^+ (A_1^+ + A_3^+) - \\ &- [A_1^+ A_3^+ (B_1^- + B_3^-) + B_1^- B_3^- (A_1^+ + A_3^+) + A_1^- A_3^- (B_1^+ + B_3^+) + \\ &+ B_1^+ B_3^+ (A_1^- + A_3^-)] e^{-2kd} + [A_1^- A_3^- (B_1^- + B_3^-) + \\ &+ B_1^- B_3^- (A_1^- + A_3^-)] e^{-4kd}] \cdot \frac{\gamma}{4} + \left\{ (A_1^+ + B_1^+) (A_3^+ + B_3^+) + \right. \\ &+ \frac{3}{4} A_1^+ B_1^+ + \frac{3}{4} A_3^+ B_3^+ - [(A_1^+ + B_1^-) (A_3^+ + B_3^-) + \\ &+ (A_1^- + B_1^+) (A_3^- + B_3^+) + \frac{3}{4} A_1^+ B_1^- + \frac{3}{4} A_1^- B_1^+ + \frac{3}{4} A_3^- B_3^+ + \\ &+ \frac{3}{4} A_3^+ B_3^- + \frac{1}{2} (A_1^- - A_1^+) \epsilon_3 q + \frac{1}{2} (A_3^- - A_3^+) \epsilon_1 q \left. \right\} e^{-2kd} + \\ &+ \left[ (A_1^- + B_1^-) (A_3^- + B_3^-) + \frac{3}{4} A_1^- B_1^- + \frac{3}{4} A_3^- E_3^- \right] e^{-4kd} \cdot \left( \frac{\gamma}{4} \right)^2 = 0 \end{aligned} \quad (17)$$

где

$$A_i^\pm = 1 + (\epsilon_2 \pm \epsilon_1) p, \quad B_i^\pm = 1 + (\epsilon_2 \pm \epsilon_1) q, \quad i = 1, 3, \quad (18)$$

$$p = \frac{\omega(\omega + i\nu)}{\omega_p^2}, \quad q = \frac{(\omega - 2\omega_0)(\omega - 2\omega_0 + i\nu)}{\omega_p^2}.$$

В отсутствии ОВЭП частоты поверхностных волн равны:

$$\omega_\pm = \frac{\omega_p}{\sqrt{\epsilon_p + \frac{\epsilon_1 + \epsilon_3}{2th(kd)} \pm \sqrt{\left( \frac{\epsilon_1 + \epsilon_3}{2th(kd)} \right)^2 - \epsilon_1 \epsilon_3}}} \quad (19)$$

Считая, что частота накачки  $\omega_0 = \omega_\pm + \delta$ ,  $\omega = \omega_0 + \xi$  ( $\delta, \xi \ll \omega_\pm$ ), получим при  $\delta = -\frac{\gamma\omega_\pm}{8}$  для инкремента нарастания волн

$$\xi = -i \left( \frac{\nu}{2} - \frac{\gamma\omega_\pm}{16} \right) \quad (20)$$

Отсюда видно, что пороговое поле равно

$$E_{0n}^\pm = \frac{2m^* c^*}{e} \left( \frac{2\omega_\pm}{\tau} \right)^{1/2} \quad (21)$$

Это поле по порядку величины такое же, как и в случае полубесконечного кристалла.

Остановимся теперь на условиях, когда поле накачки  $\vec{E}_0$  можно считать однородным. Если волновой вектор возбуждаемой волны  $\kappa \gg \frac{1}{d}$ , то в этом случае неоднородностью накачки можно пренебречь,

если  $\kappa > \frac{c}{\omega_p}$ . Если  $kd \sim 1$ , то толщина пластины, в которой возбуждаются поверхностные волны, должна удовлетворять неравенству

$d \ll \frac{c}{\omega_p}$ . Если же  $\kappa \ll \frac{1}{d}$ , то для возбуждения волны с частотой  $\omega = \sqrt{\frac{\epsilon_2 + \frac{\epsilon_1 \epsilon_3}{\epsilon_1 + \epsilon_3} \kappa d}{\epsilon_1 + \epsilon_3}}$  должно выполняться неравенство

$$d \ll \left[ \frac{(\epsilon_1 + \epsilon_3) \epsilon_2}{\epsilon_1 \epsilon_3} \frac{c^2}{\omega_p^2 \cdot \kappa} \right]^{1/3}$$

#### Литература

1. Gersten J. I., Tzoar N.—Phys. Rev. Lett., 27, 1971, 1650. 2. Gersten J. I., Tzoar N.—Phys. Rev., 6, 1972, 1375.

Институт физики АН Азерб. ССР

Поступило 15. I 1984

З. З. Махмудов, Н. К. Абдуллаев

#### ЖУКСЭКТЕЗЛИКИ БИРЧИНСЛИ ЕЛЕКТРИК САҮСИ ВАСИТЭСИЛЭ КЕЛН ЯРЫМКЕЧИРИЧИЛЭРИНД СЭТН ПЛАЗМА ДАЛГАЛАРЫНЫН ОЈАДЫЛМАСЫ

Мэгэлэдээ Кејн типли ярымкечирчилээрдэ сэтий далгаларын параметрик күчлэндирilmэсн тэдгиг олнуулжадур. Ихэм ярымсонсуз, нэм дэ сонлу галышлыгы олан ярымкечирчин иэзэрдэн кечирilmийшиддир. Эн бөйжүк күчлэнмэ ярадан харичи далганын тезлийн тапылмышдыр. Көстэрилмишдир ки, ојанманын баш өврмэсн үчүн саһенин эн кичик гијмэти  $E_{\text{оп}} = 1.5 \cdot 10^5$  В/см олмалыдыр.

Z. Z. Makhmudov, N. G. Abdullaev

#### EXCITATION OF SURFACE PLASMA WAVES IN KANE SEMICONDUCTORS BY UNIFORM HIGH-FREQUENCY ELECTRIC FIELD

The parametric amplification of the surface waves in the semiconductors with the Kane dispersion law is investigated. Both the semi-infinite sample and the sample of the plate form with the finite thickness are considered. The conditions for frequency of the external electric field, when the maximum amplification takes place, are found. The value of the threshold field  $E_0$  in the InSb case is obtained:  $E_{\text{0th}} = 1.5 \cdot 10^5$  V/cm.

А. А. КУЛИЕВ, Д. И. САЛАМОВ

#### ИССЛЕДОВАНИЕ МАГНИТНО-ДИПОЛЬНОГО ВОЗБУЖДЕНИЯ В ЯДРЕ<sup>90</sup> Zr С УЧЁТОМ НЕПРЕРЫВНОГО СПЕКТРА

(Представлено академиком АН Азербайджанской ССР Ч. М. Джуварлы)

В последние годы повысился интерес (как экспериментальный, так и теоретический) к изучению гигантских резонансов магнитного типа. Это связано с тем, что, во-первых, последнее время в ряде сферических ядер открыт гамов-теллеровский и магнитный квадрупольный резонанс, во-вторых, мнения физиков о существовании магнитного дипольного резонанса расходятся [1—3]. Спорным является и существование в сферических четно-четных ядрах коллективных MI-состояний, расположенных в сплошном спектре при энергии возбуждения  $\omega = 19 \div 25$  МэВ [4—6].

Для корректного описания коллективных состояний ядер, лежащих в области сплошного спектра, необходимо учесть взаимодействие простых конфигураций с более сложными [7] и расчеты провести с достаточно большим одиночественным базисом, включая непрерывный спектр.

В настоящей работе рассмотрено влияние сплошного спектра на свойства  $1^+$ -возбуждений, генерированных спин-спиновыми и спин-квадрупольными силами. Исследуются силовая функция и переходные плотности  $1^+$ -состояний выше энергии связи нуклона.

Магнитно-дипольные возбуждения ядра будем описывать с помощью уравнения для эффективного поля [8]

$$V^*(\vec{r}, \omega) = e_q^* \cdot V_0^*(\vec{r}) \sum_{\tau=0}^{\infty} F^{\tau\tau'}(\vec{r}, \vec{r}_1) \cdot A(\vec{r}_1, \vec{r}_2, \omega) d\vec{r}_1 d\vec{r}_2, \quad (1)$$

где  $e_q^* = 1$ —локальный заряд квазичастицы по отношению к внешнему полю  $V_0^*(\vec{r})$ .  $F^{\tau\tau'}(\vec{r}, \vec{r}_1)$ —эффективное взаимодействие,  $(\tau, \tau' = n, p)$ , частично-директорный пропагатор

$$A(\vec{r}_1, \vec{r}_2, \omega) = \sum_{\lambda\lambda'} \varphi_\lambda^*(\vec{r}_1) \cdot \varphi_{\lambda'}(\vec{r}_1) \frac{n_\lambda - n_{\lambda'}}{\epsilon_\lambda - \epsilon_{\lambda'} - \omega} \cdot \varphi_\lambda^*(\vec{r}_2) \cdot \varphi_{\lambda'}(\vec{r}_2) \quad (2)$$

Здесь  $\varphi_\lambda$  и  $\epsilon_\lambda$ —волновые функции и энергии квазичастиц соответственно,  $n_\lambda$ —числа заполнения состояний.

Оператор внешнего поля при рассмотрении магнитного перехода имеет вид:

$$V_0^*(\vec{r}) = \mu_z \vec{\nabla} (r^\lambda Y_L) \vec{\sigma} + \frac{2}{L+1} g_z^L \vec{\nabla} (r^L Y_L) \vec{I}, \quad (3)$$

где  $\vec{r}_1$  — магнитный момент ядра, выраженный в ядерных магнето-единицах.

Эффективное взаимодействие, генерирующее  $\mu L$ -возбуждения в общем случае можно записать в виде:

$$F_{L1}^{\mu L}(\vec{r}_1, \vec{r}_2) = [V_1(\vec{r}_1, \vec{r}_2) + V_2(\vec{r}_1, \vec{r}_2) \vec{r}_1 \cdot \vec{r}_2] \vec{\sigma}_1 \vec{\sigma}_2 \quad (4)$$

При рассмотрении сферических ядер все величины, входящие в выражение (1), легко разлагаются по шаровым тензорам. После такого разложения и интегрирования по угловым переменным уравнение (1) переходит в следующую систему уравнений

$$V_L^{\mu}(r, \omega) = e_q^{\mu} V_{\mu L} + \sum (F_{L1}^{\mu L} A_{LL'} V_{L'}^{\mu}); L, L' = 0; 2 \quad (5)$$

Отметим, что  $A_{LL'}$  является парциальной компонентой частично-изовекторного пропагатора в результате действия на него шаровых тензорных операторов [9].

Парциальная компонента радиальной части остаточного взаимодействия (4) при разложении по шаровым тензорам имеет вид:

$$F_{L1}^{\mu L}(\vec{r}_1, \vec{r}_2) = \frac{1}{2} (z_0^L + z_1^L r_1^L r_2^L) r_1^L \cdot r_2^L, \quad (6)$$

где  $z_0^L$  и  $z_1^L$  — изоскалярный и изовекторный силовые параметры взаимодействия.

Так как остаточное взаимодействие является сепарабельным, легко преобразовать интегральные уравнения (5) для эффективного поля в систему алгебраических уравнений.

Решая уравнение (5), получим спектр дискретных  $1^+$ -возбуждений сферических ядер. При больших энергиях связи нуклона, пропагатор приобретает минимумную часть. Эффективное поле при этом становится комплексным и спектр возбуждения перестает быть дискретным. В этом случае спектр возбуждения характеризуется силовой функцией  $S(\omega)$  — минимумом поляризованного оператора по отношению к данному полю  $\nabla \vec{A}_{\mu}(r)$ , т. е.

$$S(\omega) = -\frac{1}{\pi} \operatorname{Im} \sum_{\mu, L} (e_q^{\mu} V_{\mu L} A_{0L}^{\mu} V_L^{\mu}) \quad (7)$$

Аналогично случаю дискретных уровней, можно ввести понятие переходной плотности [10]

$$B(\mu L) = 3 \left| \sum_{\mu} e_q^{\mu} \int_0^{\infty} V_0^{\mu} f_{1r} r^2 dr \right|^2 \quad (8)$$

$$\rho_{1r}(r) = C \cdot \sum_{L=0,2} f_L; \quad C = \frac{1}{\pi \cdot S \omega} \sqrt{\frac{B(\mu L)}{3}}$$

$$\rho_L^{\mu}(r) = \operatorname{Im} \int_0^{\infty} A_{0L}^{\mu}(r_1, r_2, \omega) \cdot V_L^{\mu}(r_2, \omega) r_2^2 dr_2 \quad (9)$$

## Численные результаты

Численные расчеты проводились с потенциалом Вудса—Саксона в параметризации Чепурнова [11]. При выборе параметров среднего поля руководствовались работой [12]. Константы эффективного взаимодействия брались следующие:

$$x_0^L = 0; \quad x_1^L = \frac{30}{A} \frac{\mu \epsilon B}{\langle r^L \rangle^2}$$

С приведенными значениями параметров рассчитаны вероятности дискретных возбуждений и силовые функции (при энергии выше порога вылета нуклона)  $1^+$ -состояний в сферическом четно-четном ядре  $^{16}Zr$ . В этом ядре магнитно-дипольный резонанс находится в дискретной области возбуждения. Отметим, что учет непрерывного спектра и спин-квадрупольных сил не привели к существенному изменению характеристик магнитно-дипольного резонанса. Поэтому основное внимание было удалено области энергии возбуждения выше 15 МэВ.

Как мы уже отметили, при энергиях выше порога вылета нуклонов, спектр возбуждения становится непрерывным и состояния приобретают ширину. Такой спектр характеризуется силовой функцией  $S(\omega)$ . На рис. 1 и 2 показаны силовые функции магнитно-дипольного  $1^+$ -возбуж-

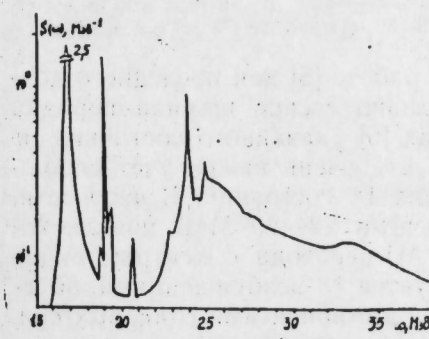


Рис. 1. Силовые функции магнитно-дипольного  $1^+$  возбуждения с учетом монопольного спин-спинового взаимодействия.

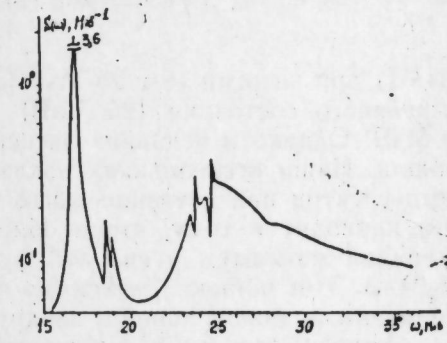


Рис. 2. Силовые функции магнитно-дипольного  $1^+$  возбуждения с учетом монопольного и спин-квадрупольного взаимодействий.

дения с учетом (рис. 1) и без учета (рис. 2) спин-квадрупольных сил. Из рисунков видно, что при учете спин-квадрупольного взаимодействия спектр усложняется и появляются дополнительные максимумы в силовой функции. При этом амплитуды существующих в спектре максимумов уменьшаются. Анализируя правило сумм, приходим к выводу, что это уменьшение обусловлено тем, что с увеличением плотности полная сила перехода перераспределяется по многим уровням, оставаясь при этом постоянной.

Одной из важных характеристик  $1^+$ -возбуждений является переходная плотность. На рис. 3 приведены зависимости переходных плотностей от радиуса ядра для наиболее интенсивно возбуждаемых состояний. Исследованы вклады в переходную плотность монопольной ( $L=0$ ) и квадрупольной ( $L=2$ ) компонент спиновых сил. Видно, что при уве-

личении энергии возбуждения, увеличивается вклад квадрупольной компоненты.

Следует отметить, что обычное частично-дырочное рассмотрение предсказывает группу  $1^+$ -уровней с заметно приведенной вероятностью

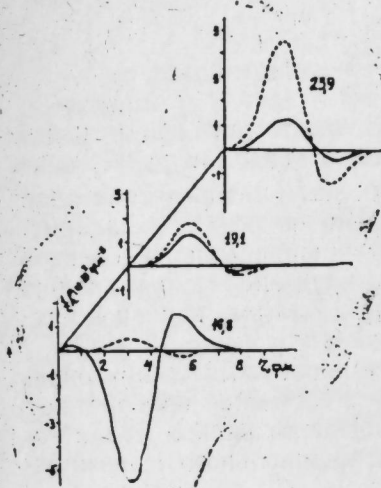


Рис. 3. Зависимость переходных плотностей от радиуса ядра для наиболее интенсивно возбуждаемых состояний. Сплошная линия соответствует  $L=0$ , а пунктируя —  $L=2$

$B(MI)$  при энергии 19 и 25 МэВ [5, 7]. В работе [5] для последнего колективного состояния (25 МэВ) предсказано escape ширина порядка 1 МэВ. Однако в недавних экспериментах [6] указанного состояния не нашли. Наши исследования показывают, что очень важен учет сплошного спектра при изучении высоколежащих  $1^+$  состояний. В частности, это приводит к тому, что в области энергии 22—29 МэВ появляется широкий максимум в силовой функции  $MI$ -перехода с центром около 25 МэВ. Этот широкий максимум формируется  $1^+$ -возбуждениями, обусловленными монопольной и квадрупольной компонентами спиновых сил.

Отметим, что учет сплошного спектра и спин-квадрупольных сил мало влияет на свойства  $MI$ -резонанса.

В заключение выражаем благодарность А. И. Вдовину за полезные обсуждения.

#### Литература

1. Камерджиев С. Н.—Письма в ЖЭТФ, 1979, 30, с. 532.
2. Brown G. B. et al.—Nucl. Phys., 1979, A330, 290.
3. Raman S.—In: Neutron Capture Gamma Ray Spectr. New York: Plenum Press, 1979, p. 193.
4. Cwirko S., Wygonowska-Haensel M.—Acta. Phys. Pol., 1975, B6, p. 105.
5. Speth J. et al.—Phys. Lett., 1976, 63B, p. 257.
6. Woodward G., Peterson C. A.—Phys. Rev. C, 1979, 20, p. 2437.
7. Вдовин А. И. и др. Препринт ОИЯИ, Р4—80392, Р4—Р1740-Дубна, 1981.
8. Мигдал А. Б. Теория конечных ферми систем и свойства атомных ядер.—М.: Наука, 1965.
9. Бозов И. И., Фаюнс С. А. Препринт ФЭИ, 129-Обнинск, 1981.
10. Саперштейн Э. А. и др.—ЭЧАЯ, 9, 221, 1978.
11. Чепурнов В. А.—ЯФ, 16, 955, 1967.
12. Гареев Ф. А. и др.—ЯФ, 33, 3, 645, 1981.

Институт физики АН Азерб. ССР

Поступило 21. VI 1983

Э. Э. Гулиев, Ч. И. Саламов

#### $^{90}\text{Zr}$ НУВАСИНДЭ КЭСИЛМЭЗ СПЕКТРИ НЭЭРЭ АЛМАГЛА МАГНИТ-ДИПОЛ ҮЭЛЭЧАНЛАШМАЛЫНЫН ТЭДГИГИ

Мэглэдээ мэдүүд өлчүүлү Ферми систем нээрийжиндэ кэсилмэз спектри нэээрэ алмагла  $^{90}\text{Zr}$  нувасиндэ  $MI$ -кечидлэрийн күч функциялары вэ кечид сыхлыглары не-сабланышдыр. Көстэрилмишдир ки, сырф зэррэчин-дешик налларындан фэргли ола-рап, јүksак енержили коллектив  $1^+$ -халларынын тэдгиги заманы кэсилмэз спектри нэээрэ алмаг вачибдир.  $MI$ -кечидлэрийн күч функциясы 25 МэВ этрафында ба'зи мүэллифлэрийн рэ'жинэ көрө неч дэ енисэз максимум формада дејил, эни бир нечэ МэВ олан зэнквары максимум шэклиндэдир. Бу исэ ( $e, e'$ ) сэпилмэси васитэсилэ нэмийн максимумуун тачрубы олраг мушаандэ едилмэснин чатнилэшдир.

A. A. Kuliev, Dj. I. Salamov

#### INVESTIGATION OF THE MAGNETIC-DIPOLE EXCITATION IN $^{90}\text{Zr}$ INCLUDING CONTINUUM

The transition densities and strength functions are calculated in the framework of the theory of finite Fermi system including the coupling to the continuum. The influence of the continuum of the high energy collective  $1^+$ -states is very important for  $MI$  transition probabilities. Calculations show that the resonances predicted around 19 MeV and 25 MeV for  $MI$ -strength function are extended a few MeV due to the presence of the continuum. Therefore, experimental observation of these high-lying resonances in the ( $e, e'$ )-scattering is difficult.

ФИЗХИМИЯ

Чл.-корр. АН Азерб. ССР Б. К. ЗЕИНАЛОВ, Э. Б. ЗЕИНАЛОВ, С. А. МАМЕДОВ

ИССЛЕДОВАНИЕ ПРИРОДНЫХ АНТИОКСИДАНТОВ  
В СЛОЖНЫХ КОМПОЗИЦИЯХ

Используя цепную реакцию инициированного окисления углеводорода, можно определить кинетические характеристики ингибиторов антиоксидантов в композициях сложного состава. В частности, в работах [1—4] определены количественные и качественные характеристики антиоксидантов — составных частей растительных масел, нефти и полипропилена, содержащего стабилизатор.

В настоящей статье излагаются результаты кинетического анализа природных антиоксидантов в других сложных композициях — оливковом масле, вьетнамском бальзаме «Золотая звезда» (Golden Star) и нефти Калининского месторождения Азербайджана. Анализ проводили с помощью модельной реакции инициированного окисления кумола. Для расчетов кинетических характеристик антиоксидантов — их эффективных концентраций  $[InH]$  и констант скорости ингибирования  $K_7$  использовали соотношения для ингибированного окисления кумола [5]:

$$\tau = \frac{f [InH]_0}{W_1} \quad (1)$$

и

$$\frac{\Delta O_2}{[RH]} = - \frac{K_3}{K_7} \ln (1 - t/\tau), \quad (2)$$

где  $\tau$  — время расходования ингибитора,  $[InH]_0$  — концентрация ингибитора,  $f$  — коэффициент ингибирования,  $W_1$  — скорость инициирования реакции окисления азобисизобутиронитролом (АИБН),  $\Delta O_2$  — количество поглощенного кислорода,  $K_3$  — константа скорости продолжения цепи.

Для анализа использовали оливковое масло маслин сорта Пиквальес, произрастающих в Азербайджане.

На рис. 1 представлена кинетическая кривая поглощения кислорода (а) при окислении модельного кумола с добавкой 0,5 мл оливкового масла. Объем реакционной смеси 10 мл, скорость инициирования —  $6,8 \cdot 10^{-8}$  моль/л·сек, т-ра 60°C.

По  $\tau$ , найденному из кинетической кривой [4] с использованием соотношения (2), строим полулогарифмическую анаморфозу (рис. 1, б), состоящую из двух участков, что соответствует двум антиоксидантам ингибирующим центрам с разными  $K_7$  [1, 6]. По длительности этих участков определяем эффективные концентрации для каждого из идентифицированных антиоксидантов в оливковом масле.

$f [InH]_1 = (1,5 \pm 0,2) \cdot 10^{-3}$ ,  $f [InH]_2 = (7 \pm 2) \cdot 10^{-4}$  моль/л,  
а по тангенсу угла наклона каждого участка — константы скорости ингибирования\*  $K_7(1) = (2,2 \pm 0,2) \cdot 10^5$ ,  $K_7(2) = (3,2 \pm 1,0) \cdot 10^4$  л/моль·сек.

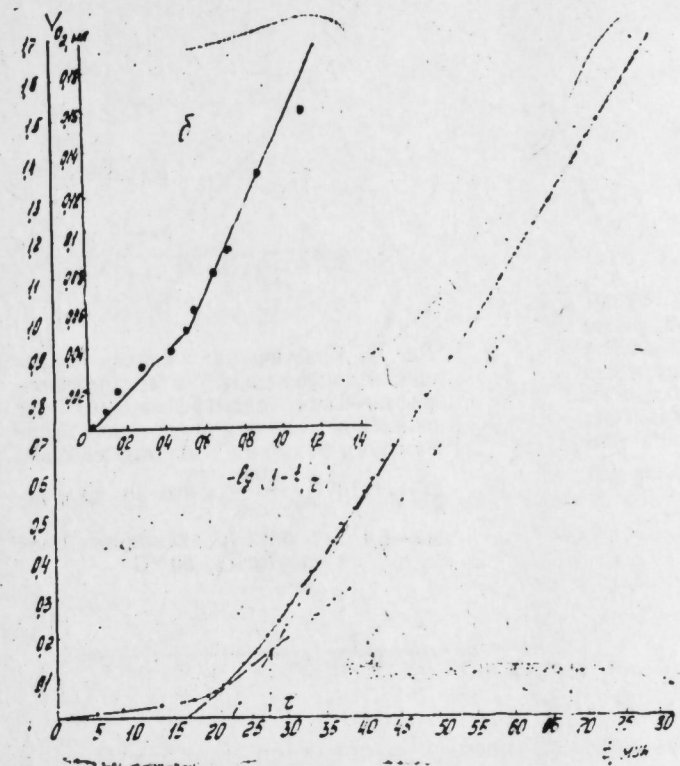


Рис. 1. Кинетическая кривая поглощения кислорода (а) в реакции инициированного окисления кумола с добавкой 0,5 мл оливкового масла «Пиквальес» и ее полулогарифмическая анаморфоза (б):  $W_1 = 6,8 \cdot 10^{-8}$  моль/л·сек, 60°C, объем реакционной смеси — 10 мл

Вьетнамский бальзам «Золотая звезда» известен, как лечебное средство при нервных напряжениях и простудных заболеваниях, представляет собой композицию различных эфирных масел и натуральных ароматических продуктов. Легко предположить, что данная композиция содержит в своем составе структуры, проявляющие свойства антиоксидантов и представляющие немалый интерес для изучения на фармакологическую активность.

Действительно, анализ бальзама показал, что при добавлении в небольших количествах он тормозит модельную реакцию окисления.

На рис. 2 представлена кинетическая кривая поглощения кислорода (а) и ее полулогарифмическая анаморфоза (б) при окислении кумола в присутствии 6,4 мг бальзама.

Объем реакционной смеси — 10 мл; скорость инициирования реакции —  $1 \cdot 10^{-7}$  моль/л·сек, т-ра 60°C. Из рисунка видно, что полулогарифмическая анаморфоза хорошо спрямляется в полулогарифмических координатах, это свидетельствует о выполнении соотношения (1). В бальзаме идентифицируется один антиоксидант или ингибирующий центр с

\* С целью определения  $K_7$  для более сильного антиоксиданта строится отдельно полулогарифмическая анаморфоза с  $\tau$ , равной времени действия анализируемого и всех предыдущих антиоксидантов.

константой  $K_7 = (1,4 \pm 0,2) \cdot 10^4$  л/моль·сек, содержащейся в концентрации  $[InH] = (1,1 \pm 0,2) \cdot 10^{-1}$  моль/кг (большинство антиоксидантов обрывает две цепи окисления [5], поэтому  $f$  принимается равной 2). Если считать, что г/моль антиоксиданта в среднем равняется  $2 \cdot 10^2$ , то количество его в бальзаме составит около 2%.

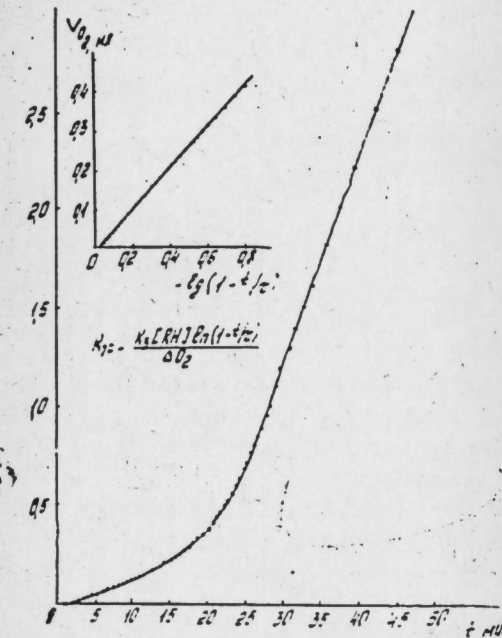


Рис. 2. Кинетическая кривая поглощения кислорода (а) и ее полулогарифмическая анаморфоза (б) при окислении кумола и присутствии янтарного бальзама «Золотая звезда»;  $W_1 = 1 \cdot 10^{-7}$  моль/л. сек, кол-во бальзама — 6,4 мг, объем реакционной смеси — 10 мл,  $60^\circ\text{C}$

Давно известно, что сырья нефть в своем составе содержит химические структуры, проявляющие свойства ингибиторов-антиоксидантов [7—9]. Это в основном фенольные соединения, высокомолекулярные структуры, содержащиеся в тяжелых фракциях. Но до последнего времени этот вопрос детально не рассматривался, особенно на кинетическом уровне. Лишь в последнее время в работах [2, 10] приводятся данные о кинетическом анализе нефтяных антиоксидантов некоторых западносибирских нефтей.

С помощью модельной цепной реакции инициированного окисления кумола для исследования нами была использована нефть Сурханской свиты Калинского месторождения (Кала), добываемая с глубины 660 м. Кинетический анализ показал, что исследуемая нефть содержит 5 антиоксидантов или ингибирующих центров.

На рис. 3 представлена кинетическая кривая поглощения кислорода (а) и ее полулогарифмическая анаморфоза (б) при окислении кумола в присутствии 193 мг сырой нефти сурхансской свиты Калинского месторождения (Кала). Видно, что анаморфоза состоит из 5 участков, что соответствует 5 антиоксидантам или ингибирующим центрам с различными константами скорости ингибирования  $K_7$ . По точкам излома на анаморфозе определяются эффективные концентрации  $f_n [InH]$

$n$  — число ингибирующих групп), а по тангенсам угла наклона — константы скорости ингибирования.

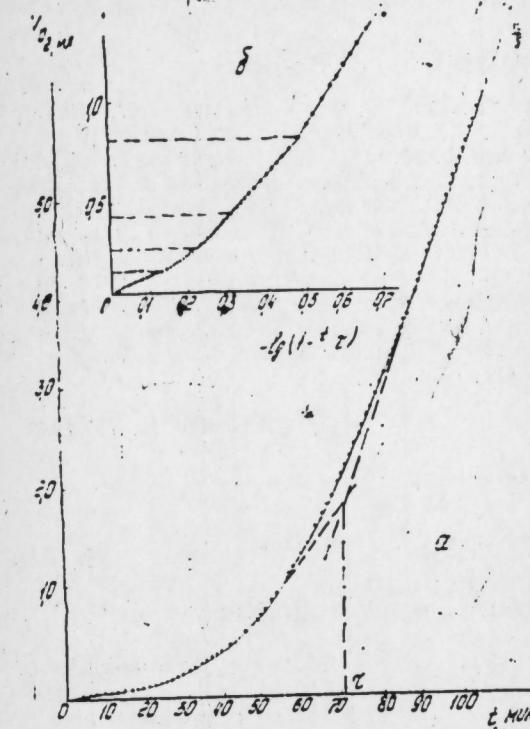


Рис. 3. Кинетическая кривая поглощения кислорода (а) и ее полулогарифмическая анаморфоза (б) в реакции инициированного окисления кумола с добавкой 193 мг нефти сурхансской свиты Калинского месторождения (Кала);  $W_1 = 1,2 \cdot 10^{-7}$  моль/л. сек, объем реакционной смеси — 10 мл,  $60^\circ\text{C}$

В таблице приведены полученные значения эффективных концентраций  $f_n [InH]_{(j)}$ , рассчитанные на кг нефти и константа скорости ингибирования  $K_7(j)$ .

Значения  $f_n [InH]_{(j)}$  и  $K_7(j)$  для нефтяных антиоксидантов нефти сурхансской свиты Калинского месторождения (Кала)

Нефтяные антиоксиданты	Период индукции, мин.	$f_n [InH] \cdot 10^3$ , моль/кг	$K_7 \cdot 10^{-4}$ л/моль·сек
1	17 ± 1,5	6,8 ± 0,3	9,5 ± 0,4
2	10 ± 0,5	4 ± 0,2	4,4 ± 0,2
3	8 ± 0,8	3,2 ± 0,3	2,4 ± 0,2
4	11 ± 1	4,4 ± 0,4	1,2 ± 0,1
5	23 ± 8 Σ 69 ± 8	9,4 ± 3,3 Σ 23 ± 3,3	0,3 ± 0,1

Из таблицы видно, что в исследуемой нефти содержатся различные по силе типы ингибирующих центров. Антиоксидант с  $K_7 = 9,5 \cdot 10^4$  л/моль·сек сопоставим с сильнейшими синтетическими ингибиторами антиоксидантами.

#### Вывод

С помощью модельной цепной реакции инициированного окисления кумола определены кинетические характеристики ингибиторов-антиок-

сидантов — составных частей соединений различной природы — оливкового масла (2 антиоксиданта), вьетнамского бальзама (1 антиоксидант) и нефти сурханской свиты месторождения Кала (5 антиоксидантов).

### Литература

- Харитонова А. А., Козлова З. Г., Цепалов В. Ф., Гладышев Г. П.—Кинетика и катализ, 1979, 20, 593.
- Сидоренко А. А., Кругачев Ю. Г., Тсепалов В. Ф., Гладышев Г. Р.—React. Kinet. Lett., 1977, vol. 6, № 1, 1—8.
- Харитонова А. А., Цепалов В. Ф., Гладышев Г. П., К. д. Ионг, В. Дж. Мис.—Кинетика и катализ 1980, 21, № 6. 4.
- Цепалов В. Ф., Харитонова А. А., Зейналов Э. Б., Гладышев Г. П.—Азерб. хим. ж., 1981, 4, 113.
- Цепалов В. Ф., Харитонова А. А., Гладышев Г. П., Эмануэль Н. М.—Кинетика и катализ, 1977, 18, 1261, 1395.
- Харитонова А. А., Цепалов В. Ф., Гладышев Г. П., К. д. Ионг, В. Дж. Мис.—Кинетика и катализ, 1978, 19, 551.
- Вольф М. Б., Васильева О. В.—Нефтяное хозяйство, 1948, 5, 37.
- Чернощуков Н. И., Крейн С. Э.—Окисляемость минеральных масел—М.: Гостоптехиздат, 1956.
- Сидоренко А. А.—Канд. дис... Институт Химии нефти СО АН СССР.—Томск, 1979.

Институт хлорорганического синтеза  
АН Азерб. ССР

Поступило 19. IV 1983

Б. К. Зеиналов, Е. Б. Зеиналов, С. А. Мамедов

### МУРЭККӘБ КОМПОЗИСИЈАЛДАРДА ТӘБИИ АНТИОКСИДАНТЛАРЫН ТӘТБИГИ

Мәгарәдә көстәрмешидир ки, Азәрбајчанда Гала тәбин нефт јатагларындакы нефти, «Пиквальс» нөвүндән олан зејтүн јагынын ва В'єтнам балзамынын («Гызыл улдуз») тәркибиңде олан тәбин ингибиторлар-антиоксидантларын мигдары күмөлүн бир модел кими инициатор иштиракы ила оксидләшмәсін реаксијасынын көмәни ила анализы едилмешидир.

Зејтүн јагынын, балзам ва нефтиң тәркибиңде уйгуни олараг 2,1 ва 5 антиоксидант, яхуд ингибитор мәрказларын мүәжжән олуимуш, онларын ингибиторлуг сүр'әт сабити ва эффектив гатылымлары тә'жүн олуимушадур.

B. K. Zeinalov, E. B. Zeinalov, S. A. Mamedov

### INVESTIGATION OF NATURAL ANTIOXIDANTS IN COMPLEX COMPOSITIONS

With the aid of a model reaction of initiated oxidation of cumene the natural inhibitors-antioxidants-components of olive oil from olives "Picavales", Vlet-nam balsam "Golden Star" and crude petroleum of Surakhany suite of Kallinov's (Kala) deposit are quantitatively investigated.

In the composition of olive oil, balsam and petroleum 2, 1 and 5 antioxidants or inhibiting centres are identified, respectively. Their rate constants of inhibition and effective concentrations are determined.

АЗӘРБАЙЧАН ССР ЕЛМЛӘР АКАДЕМИЯСЫНЫН МӘРҮЗӘЛӘРИ

ДОКЛАДЫ АКАДЕМИИ НАУК АЗЕРБАЙДЖАНСКОЙ ССР

ТОМ XLI ЧИЛД

№ 3

1985

УДК 546.287+547.244, 547.566

ОРГАНИЧЕСКАЯ ХИМИЯ

К. Г. ГАСАНОВ, Ш. Г. САДЫХОВ, Ч. К. РАСУЛОВ, Ф. А. НАБИЕВ

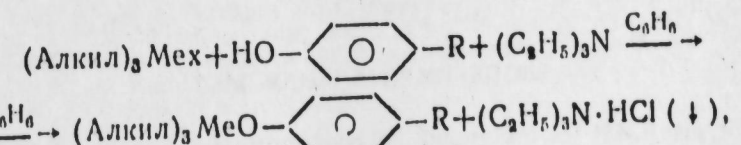
### ИССЛЕДОВАНИЕ МЕТОДОМ ЯМР НЕКОТОРЫХ ОЛОВО- И СВИНЕЦОРГАНИЧЕСКИХ ПРОИЗВОДНЫХ ПАРА-ГЕКСИЛФЕНОЛА

(Представлено академиком АН Азербайджанской ССР С. Д. Мехтиевым)

Известно [1—3], что органические растворители сильно влияют на оба параметра ЯМР  $^{117}\text{Sr}$ ,  $^{119}\text{Sn}$ ,  $^{207}\text{Pb}$  — химический сдвиг и константы спин-спинового взаимодействия. Причиной этого влияния считаю способность соединений олова и свинца вступать в координационную связь с молекулами многих растворителей. В работах [4—6], показана возможность использования химических сдвигов и констант спин-спинового взаимодействия при рассмотрении таких вопросов как образование внутримолекулярной координации и сольватации атомов олова и свинца молекулами растворителя в олово- и свинец-органических соединениях. Представлялось интересным выяснить, в какой мере обнаруженные закономерности могут быть распространены на соединения других типов.

В настоящей статье излагаются условия синтеза и результаты ЯМР-исследования некоторых олово- и свинецорганических производных, полученных на основе *n*-гексилфенола.

Синтез олово- и свинецорганических производных *n*-гексилфенола осуществлен путем взаимодействия алкилметаллгалогенида с *n*-гексилфенолом в присутствии триэтиламина, в среде безводного бензола, при соотношении исходных компонентов 1:1:1, в инертной среде. Реакция протекает по схеме:



где

Алкил— $\text{CH}_3$ —,  $\text{C}_2\text{H}_5$ —,  $\text{C}_6\text{H}_5$ —  
Me—Sn, Pb  
R—гексильный радикал  
X—Cl, Br

Результаты проведенных нами измерений — констант спин-спинового взаимодействия  $J^*\text{M}-\text{C}-\text{JH}$  (где  $\text{M} = ^{117}(^{119})\text{Sn}, ^{207}\text{Pb}$ ) и хими-

Изменение величин  $J^*$  M—C—H (\* M=Sn, Pb) триметилолово- и триметилсвинец R-гексильный радикал

Тип соединения	Тип спин-спинового взаимодействия	Растворитель			
		CCl <sub>4</sub>	CHCl <sub>3</sub>	CH <sub>2</sub> Cl <sub>2</sub>	C <sub>6</sub> H <sub>6</sub>
(CH <sub>3</sub> ) <sub>3</sub> SnO—	J <sup>117</sup> Sn—C—H J <sup>119</sup> Sn—C—H	56,4 58,6	56,4 58,7	56,4 58,7	57,0 59,1
(CH <sub>3</sub> ) <sub>3</sub> PbO—	J <sup>207</sup> Pb—C—H	66,9	67,6	67,6	68,6

ческого сдвига 10%-ных растворов триметилолово- и триметилсвинецпроизводных *n*-гексилфенола показывают, что величины  $J^*M—C—H$  возрастают примерно в одном и том же ряду органических растворителей: CCl<sub>4</sub> < C<sub>6</sub>H<sub>6</sub> < CH<sub>2</sub>Cl<sub>2</sub> < диоксан < ТГФ < ДМЭ < CH<sub>3</sub>CN < CH<sub>3</sub>NO<sub>2</sub> < C<sub>6</sub>H<sub>5</sub>N < ДМСО < ДМФА (см. таблицу).

При сопоставлении этих данных с результатами работы [4] видно, что общие закономерности для олово- и свинецпроизводных *n*-гексилфенола такие же, как и в ряду олово- и свинецпроизводных карборанов. Однако для олово- и свинецпроизводных парагексилфенола константы спин-спинового взаимодействия в сильно полярных растворителях оказываются большими, чем в олово- и свинецпроизводных карборанах и составляют разницу порядка 8,0—10,0 Гц. Возрастание констант  $J^*$  в сильно полярных органических растворителях означает прочную координацию между молекулой растворителя и атомом металла в триметилолово- и триметилсвинецпроизводных *n*-гексилфенола. Характерно, что для триметилолово- и триметилсвинецпроизводных сохраняется тот же ряд влияния растворителей эфирного типа (ТГФ, ДМЭ, диоксан), что и ранее обнаруженный для метилоловянных ароматических соединений [5].

Протонные химические сдвиги метильных групп триметилолово- и триметилсвинецпроизводных в различных растворителях не обнаруживают никакой зависимости от сольватирующей способности растворителя. Характерным для триметилолово- и триметилсвинецпроизводных является значительный сдвиг сигнала метильных протонов в бензоле в сильное поле по сравнению с химическими сдвигами метильных протонов оказывает пиридин.

### ЭКСПЕРИМЕНТАЛЬНАЯ ЧАСТЬ

Спектры ЯМР <sup>1</sup>H получены на спектрометре фирмы «Варian-T-60». Хим. сдвиги и константы спин-спинового взаимодействия измеряли с использованием техники боковой полосы. Точность измерений хим. сдвигов и констант спин-спинового взаимодействия ±0,01 м. д. и ±0,03 Гц, соответственно.

Триметил (*n*-гексилфенокси) олова. К 35,6 г (0,2 М) *n*-гексилфенолу, 25,0 мл (0,2 М) триэтиламина и 150 мл безводного бензола при интенсивном перемешивании нагревали до 60°C, по каплям медленно прибавляют бензольный раствор 25,0 мл (0,2М) хлори-

### производных *n*-гексилфенола в зависимости от характера среды

Растворитель							
Диоксан	ТГФ	ДМЭ	CH <sub>3</sub> CN	CH <sub>3</sub> NO <sub>2</sub>	C <sub>6</sub> H <sub>5</sub> N	ДМСО	ДМФА
56,9 — 59,0	57,7 60,2	57,1 59,7	59,2 61,3	66,2 68,6	66,2 70,2	68,0 70,2	68,5 70,7
73,6	74,1	77,8	77,9	81,7	82,0	82,0	82,1

стого триметилолова. Реакционную смесь кипятят при этой температуре в течение 3 ч. После охлаждения смеси фильтрат отделяют от осадка. На роторном испарителе отгоняют растворитель и вакуумной разгонкой выделяют 48,4 г (67%) белое кристаллическое вещество — триметил (*n*-гексилфенокси) олова, с мол. весом 251, т. кип. 114/3 мм, т. пл. 62°C (пентан).

Аналогичным образом синтезированы остальные металлокомплексы производные *n*-гексилфенола:

- Триметил (*n*-гексилфенокси) олово
- Триэтил (*n*-гексилфенокси) олово
- Триэтил (*n*-гексилфенокси) свинец
- Трифенил (*n*-гексилфенокси) олово
- Трифенил (*n*-гексилфенокси) свинец

### Выводы

Синтезированы и охарактеризованы 6 металлокомплексов производных *n*-гексилфенола. Показано, что константы спин-спинового взаимодействия для триметилолово- и триметилсвинецпроизводных возрастают с повышением сольватирующей способности растворителя.

### Литература

1. Holmes J. R., Kaesz H. D.—J. Am. Chem. Soc., 1961, 83, 3903.
2. Moore D. W., Harpe J. A.—J. Phys. Chem., 1961, 65, 224.
3. Brown T. L., Morgan G. L.—Inorg. Chem., 1963, 2, 736.
4. Федоров Л. А., Калинин В. Н., Федин Э. И., Захаркин Л. И.—Изв. АН СССР, серия хим., 1970, № 4, 849—856.
5. Алиев С. М., Гасанов К. Г., Ахмедов В. С., Ибрагимова Ф. Ф., Джабарова Р. А.—Азерб. хим. ж., 1978, № 3, с. 91—94.
6. Гасанов К. Г., Садыхов Ш. Г., Расулов Ч. К.—Докл. АН Азерб. ССР, т. XXXVI, 1980, № 9, с. 66—68.

ИНХГД Азерб. ССР им.  
Ю. Г. Мамедалиева

Поступило 26. VIII 1982

К. И. Ісаев, Ш. Г. Садыхов, Ч. К. Расулов, Ф. Э. Набиев

ПАРА-НЕКСИЛФЕНОЛУН БӘЗИ ГАЛАЈ  
ВӘ ГҮРГУШУН ТӨРӘМӘЛӘРНИН ИМР МЕТОДУ ИЛӘ ТӘДГИГИ

Мәғлүмәт парап-нексилифенолун галај во гүргүшүн үзүн торомәләрниң 6 пүмүнөсі НМР методу илә тәдгиг олунур. Гејд олумышудур ки, үчметилгалај вә үчметилгүргү-

Шун төрмәләринин спин-спин гарышылыгы тә'сириниң әмсалы һәлледицийниң полъарынындан асылы олараг дәјишир.

K. G. Gasanov, Sh. G. Sadykhov, Ch. K. Rasulov, F. A. Nabiev

NMR STUDY OF SOME ORGANO-TIN AND ORGANO-LEAD  
DERIVATIVES OF PARA-HEXYLPHENOL

Six metal-containing derivatives of para-hexylphenol are synthesized and characterized. Spin-spin interaction constants for trimethyl tin and trimethyl lead derivatives are shown to increase with increasing the solvating ability of solvent.

АЗЭРБАЙЧАН ССР ЕЛМЛӘР АКАДЕМИЯСЫНЫН МӘРҮЗӘЛӘРИ

ДОКЛАДЫ АКАДЕМИИ НАУК АЗЕРБАЙДЖАНСКОЙ ССР

ТОМ XLI ЧИЛД

№ 3

1985

УДК 621.891.099.6

ХИМИЯ НЕФТИ

Чл.-корр. АН Азерб. ССР К. И. САДЫХОВ, А. Н. АГАЕВ, С. М. ВЕЛИЕВА

ИССЛЕДОВАНИЕ КОЛЛОИДНОЙ СТАБИЛЬНОСТИ  
ЩЕЛОЧНЫХ СИНТЕТИЧЕСКИХ СУЛЬФОНАТНЫХ ПРИСАДОК

Смазочные масла, в том числе масла с присадками, могут обводняться при хранении, транспортировке и эксплуатации. Вода в смазочных маслах отрицательно действует на целый ряд их эксплуатационных свойств [1]. В связи с этим важное значение имеет исследование коллоидной стабильности щелочных сульфонатных присадок, представляющих собой систему, в которой сульфонат удерживает в мелкодисперсном состоянии избыточное количество гидроокиси и карбоната металла.

Объектом исследования служили среднешелочные и высокошелочные синтетические алкиларилсульфонаты кальция. В качестве исходного сырья для синтеза сульфонатов служили алкилароматические углеводороды, полученные алкилированием толуола, нафталина, фенола и остатка нефти (отходы процесса каталитического крекинга бензина), различные фракции  $\alpha$ -олефинов и хлорпарафинов [1]. Сульфированием алкилатов олеумом с последующей нейтрализацией сульфокислот гидроокисью кальция получены нейтральные сульфонаты, которые карбонатацией в растворе масла АС-6 в присутствии промотора превращены в средне- и высокошелочные сульфонаты кальция [2], их характеристики приведены в табл. 1, 2.

Таблица 1

Характеристика среднешелочных сульфонатов

Показатели	Среднешелочные присадки			
	C-150 <sub>о</sub>	C-150 <sub>т</sub>	C-150 <sub>и</sub>	C-150 <sub>ф</sub>
	Исходное сырье			
алкилат, полученный на основе остатка нефти и $\alpha$ -олефинов	алкилтолуол	алкилнафталин	алкилфенол	
Содержание активного вещества, %	32,5	32,8	32,3	33,4
Щелочное число, мг КОН/г	155,1	156,0	157,8	160,0
Зольность сульфатная, %	25,2	27,6	26,3	26,8

Для сравнения, исследована стабильность коллоидной дисперсии промышленных образцов щелочных сульфонатов ПМСя и С-300, получаемых на основе нефтяного сырья.

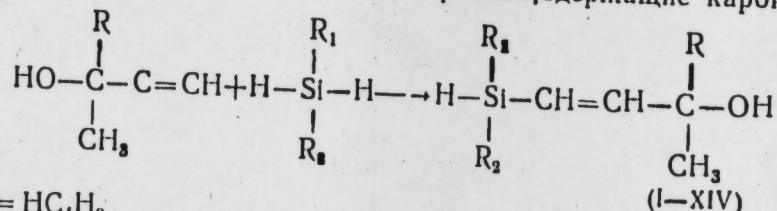


Р. М. МУСТАФАЕВ, Л. Г. КУЛИЕВ, С. И. САДЫХ-ЗАДЕ, О. Г. ЯРОШ

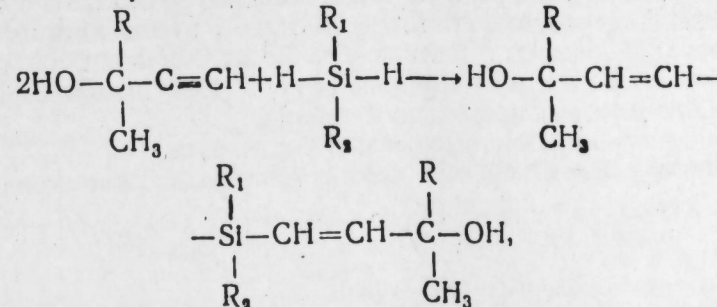
## ПРИСОЕДИНЕНИЕ ДИАЛКИЛ (АРИЛ) СИЛАНОВ К ТРЕТИЧНЫМ АЦЕТИЛЕНОВЫМ КАРБИНОЛАМ

(Представлено академиком АН Азербайджанской ССР Ал. М. Кулиевым)

В ряде работ [1 — 3] показано, что при взаимодействии кремний-дигидридов типа  $R_2SiH_2$  с вторичными ацетиленовыми карбинолами в присутствии платиновых катализаторов образуются лишь только смелообразные вещества. Нами [4] показано, что в среде бензола в присутствии платинохлористоводородной кислоты реакция между кремнийдигидридами и третичными ацетиленовыми карбинолами протекает с участием ацетиленовой связи с образованием ранее неизвестных непредельных кремниорганических спиртов. Продолжая указанные исследования, нами установлено, что в случае присоединения диалкил (арил) силанов к метил-и-бутил (трет. бутил) ацетиленилкарбонилу образуются с хорошим выходом (60%) непредельные кремнийсодержащие карбинолы:

где  $R = HC_4H_9$  $R_1 = R_2 = C_2H_5$  (I);  $R_1 = CH_3$ ,  $R_2 = C_3H_7$  (II);  $R_1 = CH_3$ ,  $R_2 = C_6H_5$  (III); $R_1 = CH_3$ ,  $R_2 = CH_2 - C_6H_5$  (IV);  $R_1 = CH_3$ ,  $R_2 = CH_2 - CH_2 - C_6H_5$  (V); $R_1 = CH_3$ ,  $R_2 = CH_2 - CH_2 - CH_2 - C_6H_5$  (VI); $R_1 = CH_3$ ,  $R_2 = CH_2 - CH - C_6H_5$  (VII), $CH_3$ где  $R = \text{трет. } C_4H_9$  $R_1 = R_2 = C_2H_5$  (VIII);  $R_1 = CH_3$ ,  $R_2 = C_3H_7$  (IX); $R_1 = CH_3$ ,  $R_2 = C_6H_5$  (X); $R_1 = CH_3$ ,  $R_2 = CH_2 - C_6H_5$  (XI);  $R_1 = CH_3$ ,  $R_2 = CH_2 - CH_2 - C_6H_5$  (XII); $R_1 = CH_3$ ,  $R_2 = CH_2 - (CH_2)_2 - C_6H_5$  (XIII);  $R_1 = CH_3$ , $R_2 = CH_2 - CH - C_6H_5$  (XIV). $CH_3$ 

Наряду с непредельными кремнийсодержащими монокарбинолами в некоторых случаях из продуктов реакции удалось выделить и идентифицировать непредельные кремнийсодержащие диолы:



где  $R = H \cdot C_4H_9$   
 $R_1 = R_2 = C_2H_5$  (XV);  $R_1 = CH_3$ ,  $R_2 = C_3H_7$  (XVI);  
 $R_1 = CH_3$ ,  $R_2 = C_6H_5$  (XVII).

где  $R = \text{трет. } C_4H_9$   
 $R_1 = R_2 = C_2H_5$  (XVIII);  $R_1 = CH_3$ ,  $R_2 = C_3H_7$  (XIX).

В указанных реакциях образование смелообразных веществ почти не наблюдается.

Приведенные структуры синтезированных непредельных кремнийсодержащих спиртов подтверждены физическими методами исследования. Так, в ИК-спектре соединения (I, VIII, IX, XII) найдены частоты  $\text{cm}^{-1}$  1260, характерные для  $CH_3-Si$ -группы, 2100 — для  $Si-H$ -группы, 1610, 3035 — для транс= $=CH=CH-$ связи, 1375 для  $CH_3-C$ -связи, 3450 и 3600, характерные для  $O-H$ -связи.

Масс-спектральный анализ соединений (IX, XI) показал идентичность найденных и вычисленных молекулярных весов.

В ПМР-спектре соединения (XII) имеются характерные сигналы для ароматического протона в виде синглета 7,2 м. д.,  $\beta$ -вторичных протонов метиленовой группы в виде триплета — 2,4 — 2,7 м. д.,  $\alpha$ -вторичных протонов метилоновой группы в виде триплета 1,4 — 1,8 м. д., протонов трет. бутального радикала и  $\gamma$ -метильной группы при 0,8 — 1,0 м. д., протонов при кратной связи  $H_A$  4,2 — 4,8 м. д.,  $H_B$  5,2 — 6,2 м. д., спин-спинового взаимодействия протонов у кратной связи  $JH_A - C - CH_3 = 18$  гц, сигналы OH-группы при 2,24 м. д.

## ЭКСПЕРИМЕНТАЛЬНАЯ ЧАСТЬ

ИК-спектры поглощения регистрировали на спектрометре ИР-20 в тонком слое вещества в области 700 — 2400  $\text{cm}^{-1}$  (призма NaCl) и 2400 — 3600 (призма  $LiF$ ).

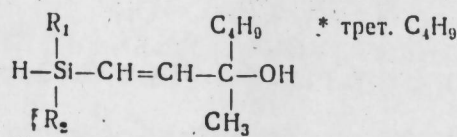
Масс-спектры снимались на приборе масс-спектрометр MX-1303.

Температура баллона пуска 200 °C, температура трубки на пуске 250 °C, разрешающая способность не менее 350, ток эмиссии 1 ма. ПМР-спектр снимался на приборе «Tesla BS-467» 60 МГц, в 3%-ном растворе четыреххлористого углерода.

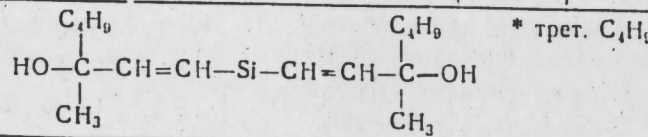
# 1-диэтилсилил-3-метил-н-бутилпропенол-3 (I)

Смесь, состоящую из эквимолярных количеств свежеперегонного метил-н-бутилацетиленкарбинола и диэтилсилина кипятили в среде безводного бензола, содержащего 0,1—0,2 мл 0,1 н раствора платинохлористоводородной кислоты в течение 10 ч. После обычной обработки вакуумной перегонкой выделяли соединения (I) и (XV), свойства и элементарный анализ которых приведены в таблице.

Аналогичным образом получены и соединения (II—XIX), физические свойства и элементарный анализ которых также приводятся в таблице.



№ п/п	R <sub>1</sub>	R <sub>2</sub>	T. кип., °C (р. 1 мм)	n <sub>D</sub> <sup>20</sup>	d <sub>4</sub> <sup>20</sup>	M R <sub>D</sub>	
						найд.	выч.
I	C <sub>2</sub> H <sub>5</sub>	C <sub>2</sub> H <sub>5</sub>	91—92	1,4647	0,8621	68,71	68,42
2	CH <sub>3</sub>	C <sub>3</sub> H <sub>7</sub>	90	1,4601	0,8602	68,40	68,21
3	CH <sub>3</sub>	C <sub>6</sub> H <sub>5</sub>	127—128	1,5029	0,9278	79,13	79,22
4	CH <sub>3</sub>	CH <sub>2</sub> -C <sub>6</sub> H <sub>5</sub>	134	1,5018	0,9261	83,61	84,03
5	CH <sub>3</sub>	CH <sub>2</sub> -CH <sub>2</sub> -C <sub>6</sub> H <sub>5</sub>	138—139	1,4990	0,9238	87,88	88,27
6	CH <sub>3</sub>	CH <sub>2</sub> -CH <sub>2</sub> -CH <sub>2</sub> -C <sub>6</sub> H <sub>5</sub>	144—145	1,4971	0,9201	92,42	92,90
7	CH <sub>3</sub>	CH <sub>2</sub> -CH-C <sub>6</sub> H <sub>5</sub>	146	1,4963	0,9194	92,33	92,90
8	C <sub>2</sub> H <sub>5</sub>	C <sub>2</sub> H <sub>5</sub>	83—84	1,4502	0,8463	68,11	68,42
9	CH <sub>3</sub>	C <sub>3</sub> H <sub>7</sub>	80—81	1,4500	0,8451	68,18	68,21
10	CH <sub>3</sub>	C <sub>6</sub> H <sub>5</sub>	118—119	1,5002	0,9166	79,74	79,22
11	CH <sub>3</sub>	CH <sub>2</sub> -C <sub>6</sub> H <sub>5</sub>	123—124	1,4976	0,9139	84,12	84,03
12	CH <sub>3</sub>	CH <sub>2</sub> -CH <sub>2</sub> -C <sub>6</sub> H <sub>5</sub>	129—130	1,4931	0,9102	88,28	88,27
13	CH <sub>3</sub>	CH <sub>2</sub> -CH <sub>2</sub> -CH <sub>2</sub> -C <sub>6</sub> H <sub>5</sub>	136—137	1,4911	0,9078	92,68	92,90
14	CH <sub>3</sub>	CH <sub>2</sub> -CH-C <sub>6</sub> H <sub>5</sub>	139	1,4906	0,9051	92,86	92,90



15	C <sub>2</sub> H <sub>5</sub>	C <sub>2</sub> H <sub>5</sub>	136—137	1,4760	0,9008	106,63	106,28
16	CH <sub>3</sub>	C <sub>3</sub> H <sub>7</sub>	135	1,4734	0,8981	106,46	106,07
17	CH <sub>3</sub>	C <sub>6</sub> H <sub>5</sub>	186—187	1,5136	0,9702	116,19	117,08
*18	C <sub>2</sub> H <sub>5</sub>	C <sub>2</sub> H <sub>5</sub>	129—130	1,4606	0,8756	106,67	106,28
*19	CH <sub>3</sub>	C <sub>3</sub> H <sub>7</sub>	126—127	1,4548	0,8693	106,26	106,07

## Выводы

Установлено, что реакция присоединения диалкилселанов к третичным ацетиленовым карбинолам, в отличие от вторичных, которые образуют только смелообразные продукты, протекает с участием ацетиленовой связи с образованием непредельных кремнийсодержащих спиртов.

## Литература

- Гвердцители И. М., Гогесашвили И. Н., Допсопуло Т. Н. — ЖОХ, 1978, 48, 1113.
- Гвердцители И. М., Допсопуло Т. П., Горелашвили И. П., Андроникошили Г. Г. — ЖОХ, 1976, 46, 2531. З. Гвердцители И. М., Допсопуло Т. П., Горелашвили И. П. — Изв. АН ГССР, серия хим., т. 6, 1980, № 2. 136. 4. Садых-заде С. И., Мустафаев Р. М., Кулев Л. Г. — Рефераты докл. и сообщений XII Менделеевского съезда по общей и прикладной химии, 2, 1981, 66.

Кировабадский государственный педагогический институт им. Г. Зардоби

Поступило 4. V 1983

Р. М. Мустафаев, Л. Г. Гулиев, С. И. Садыхзаде, О. Г. Ярош  
ДИАЛКИЛ (АРИЛ) СИЛАНЛАРЫН УЧЛУ АСЕТИЛЕН  
КАРБИНОЛЛАРЛА БИРЛӘШМӘСИНӘ ДАЙР

Мәгәләдә мүәյҗән едилимишdir ки, диалкилсиланлар икili ацетилен спиртләri ilə реаксија дахил олдугда гәтрап әмәлә кәтириди һалда, учлу ацетилен спиртләrinе бирләштерək дојмамыш силаненум-үзүн спиртлər әмәлә кәтирир.

R. M. Mustafaev L. G. Guliev, S. I. Sadikh-zade, O. G. Yaros'ı

THE JOINING REACTION OF DIALKYL (ARYL) SILANES WITH THE TERTIARY ACETYLENE CARBINOLS

It is ascertained that the joining reaction of the dialkyl(aryl) silanes with the tertiary acetylene carbino<sup>l</sup> in contrast to secondary ones forming resinificate products only proceeds with acetylene bond forming unlimited silicon alcohols.

Чл.-корр. С. А. АЛИЕВ, Н. Б. МАРДАНОВА, Н. К. БОНДАРЬ, Р. Б. АББАСОВА

## ВЛИЯНИЕ ГУМИНОВЫХ КИСЛОТ НА АКТИВНОСТЬ ФЕРМЕНТОВ АЗОТНОГО ОБМЕНА В КОРНЯХ ЛЮЦЕРНЫ

Исследования взаимоотношений ферментов нитрогеназы и нитратредуктазы в клетках азотфикссирующих микроорганизмов и корнях бобовых культур представляют большой научный интерес, поскольку являются необходимой теоретической основой для разработки рациональной системы азотного питания.

В связи с изложенным немаловажным является разработка эффективных приемов регулирования активности нитрогеназы и нитратредуктазы в корнях бобовых культур. Особый интерес представляет изучение влияния физиологически активных гуминовых кислот почв на нитрогеназную, нитратредуктазную, АТФ-азную (аденозинтрифосфат) активность в корнях люцерны, формирование ее надземной и корневой массы.

Опыты проведены в лабораторных условиях под люминесцентными лампами. Для этого стеклянные сосуды набивались 1 кг сероземно-лугоевой почвы из Муганской почвенно-мелiorативной станции АзНИИГ и Ма. Сосуды оберывали черной бумагой. На дно каждого из них помещали дренаж (битое стекло и сверху кружок плотного фильтра). Влажность почвы поддерживалась около 60% от общей влагоемкости. После проведения предпосевной обработки семян люцерны различными дозами гуминовой кислоты (0,01; 0,001; 0,0001%), наклонувшиеся семена высаживали в количестве 10 штук на каждый сосуд. Через 30 дней растения прореживали, оставляя по 5 растений. Выращенные растения по истечении 50 дней 3 раза опрыскивали растворами гуминовой кислоты (0,01; 0,001; 0,0001% + CO<sub>2</sub>). Опыты продолжались 2,5 месяца. Пробы брались для определения биомассы и активности ферментов.

Определение нитрогеназной активности проведено ацетиленовым методом по М. М. Умарову [4], нитратредуктазы — по А. И. Ермакову [1] и АТФ-азы калориметрическим методом М. П. Любимова и др. [2].

Опыты позволили выявить влияние замачивания семян и опрыскивания растений гуминовыми кислотами, выделенными из горно-лесной желтоземной почвы, на накопление надземной и корневой массы люцерны (табл. 1). Формирование надземной и корневой массы люцерны было наиболее значительным при опрыскивании растений 0,001% гуминовой кислоты и повышенной концентрации CO<sub>2</sub> (0,08 объем. %) в окружающей растение среде.

Исследования показали, что замачивание семян перед посевом и опрыскивание растений гуминовой кислотой разной концентрации (осо-

Таблица 1

Влияние предпосевного замачивания семян и спрыскивания люцерны гуминовой кислотой на накопление сухой массы (мг на 1 растение) на сероземно-лугоевой почве

Варианты	Опрыскивание водой на фоне предпосевной обработки семян			Опрыскивание 0,01% Гк на фоне предпосевной обработки семян			Опрыскивание 0,001% Гк + CO <sub>2</sub> на фоне предпосевной обработки семян		
	Корни	Надземная часть	Целое растение	Корни	Надземная часть	Целое растение	Корни	Надземная часть	Целое растение
Контроль (водой)	24	43	67	100	45	82	127	100	39
0,01% Гк	38	82	120	179	52	101	153	120	44
0,001% Гк	36	67	103	154	51	94	145	114	52
0,0001% Гк	26	58	84	125	50	82	130	102	43

бенио при 0,001%-ной концентрации) приводит также к значительному повышению активности нитрогеназы, нитратредуктазы и АТФ-азы в корнях люцерны (табл.2).

Таблица 2

Влияние опрыскивания гуминовой кислотой и углекислоты на активность нитрогеназы, нитратредуктазы и АТФ-азы в корнях люцерны на сероземно-луговой почве (на фоне предпосевной обработки семян 0,001% Гк)

Варианты	Нитрогеназа		Нитратредуктаза		АТФ-аза	
	мкг N на 1 г сыр. в-ва за 1 ч	% от контроля	мкг NO <sub>2</sub> на 1 г сыр. в-ва за 30 мин	% от контроля	мкг P на 1 г сыр. в-ва за 15 мин	% от контроля
Опрыскивание водой	10	100	561	100	116	100
Опрыскивание 0,01% Гк	12	120	594	106	136	117
Опрыскивание 0,001% Гк	13	130	600	118	148	128
Опрыскивание 0,001% Гк+CO <sub>2</sub>	14	140	627	112	145	125

Одновременно наблюдается положительное воздействие повышенной концентрации углекислоты в приземном слое воздуха на повышение активности ферментов азотного обмена. Вполне возможно, что гуминовая кислота и углекислота оказывают влияние на образование в процессе фотосинтеза углеводов и других органических веществ и их передвижение в корневую систему люцерны, которая служит дополнительным источником энергии для активизации нитрогеназы и усиления симбиотической фиксации молекулярного азота клубеньковыми бактериями [3]. Вместе с этим, по-видимому, в корнях люцерны усиливаются процессы восстановления нитратов, осуществляемые ферментом нитратредуктазой.

Вероятно, что при опрыскивании люцерны гуминовой кислотой повышение активности АТФ-азы, которая, как известно, является обязательным компонентом азотфикссирующих систем и играет важную роль в генерации и переносе энергии в процессах фиксации молекулярного азота и в восстановлении нитратов, свидетельствует о энергетической обеспеченности ферментативных процессов азотного обмена.

#### Литература

- Ермаков А. И. Методы биохимического исследования растений. — Л.: Изд-во, Колос, 1972, с. 61.
- Любимова М. Н.; Файн Ф. С., Демяновская Н. С. — Биохимия, биохим. и микробиол., вып. 6, т. 15, 1980, с. 818.
- Львов Н. П., Буриханов Ш. С., Кретович В. Л. — Прикл. № 11, 1976, с. 109.
- Умаров М. М. — Почвоведение, 1976, № 11, с. 109.

Институт почвоведения  
и агрохимии АН Азерб. ССР

С. Э. Элиев, Н. Б. Марданова, Н. К. Бондар, Р. Б. Аббасова  
БҮМНИН ТУРШУСУПУН ЙОНЧА БИТКИСИНИН ҚӨКҮНДӘ  
АЗОТ МУБАДИЛЭСНИДӘ ИШТИРАК ЕДӘН ФЕРМЕНТЛӘРИН  
АКТИВЛИЖИН ТӘСИРИ

Мәгәләдә көстәрилмишидир ки, экигабаты юнча биткиси тохумларының үмүм туршусунуң зәйф гатылыгы (0,01—0,001%) мәһілләләрдең иеладылмасы вә бөјүән биткиләрни ярпаглармын һәм мәһілләләрда чынзымсыз, карбон газы иелә зәникилән мүләнт көкләрдә нитратредуктаза, нитрогеназа вә АТФ-аза ферментләриниң фәалияттәнәнә мүсебәт тәсир көстәрилмишидир. Һәмчинаң һәмин гатылыгда олан мәһілләләрдә тәсир иштәсендә биткиләрниң ярусту үтүлсөнин үмүм чәкиси хәжли артмайшидир.

S. A. Aliev, N. B. Mardanova, N. K. Bondar, R. B. Abbasova

#### INFLUENCE OF HUMIC ACIDS ON THE ACTIVITIES OF FERMENTS OF NITROGEN METABOLISM IN THE ROOTS OF LUCERNE

It is determined that the maceration of seeds before sowing and spraying the lucerne with humic acid of soil in weak concentrations (0.01—0.001 %), increased concentration CO<sub>2</sub> brings to a considerable increase the activities of ferments: nitrate-reductaza, nitrogenaza and ATP-aza in the roots of bean crops.

It is revealed that weak concentration of humic acid on accumulation of over-ground and root massive exerts positive influence.

## УЧЕНЫЕ ВЪЛОСТИ

## ЦИТОГЕНЕТИКА

Р. А. АГАБЕЙЛИ, Н. К. МЕЛИКОВА, И. М. ИСКЕНДЕРОВА

## ВЛИЯНИЕ АНТИОКСИДАНТОВ НА МУТАБИЛЬНОСТЬ ХРОМОСОМ И АКТИВНОСТЬ ПЕРОКСИДАЗЫ В УСЛОВИЯХ СПОНТАННОГО И ИНДУЦИРОВАННОГО МУТАГЕНЕЗА

(Подпись подпись АН Азербайджанской ССР и К. Абдуллаевы)

Пероксидаза (КФ 1.11.1.7) — полифункциональный фермент, так же принимает участие в различных процессах обмена веществ. Высокая активность и чувствительность к повреждениям ткани различными воздействиями [1—4] свидетельствует о важности выполняемых ею функций. Имеется много работ по изучению активности пероксидазы, ее изоферментного состава и локализации в различных объектах, в том числе и в пшенице [5, 6]. В то же время высказано предположение [7], что органические пероксидазы могут выполнять в клетках ту же функцию, что и каталаза и действовать как антимутагены.

В связи с этим представляло интерес выявить корреляционную взаимосвязь между возникновением аберраций хромосом и активностью пероксидазы в условиях спонтанного мутагенеза, его индуцированного инициирующим излучением и модификации этого процесса антиоксидантами — селенитом натрия и α-токоферолем, защитное действие которых показано ранее [8, 9].

## МАТЕРИАЛ И МЕТОДЫ

В качестве объекта использовали пшеницу *Triticum aestivum* (з.) сорта «Кавказ». Определение активности фермента пероксидазы проводили флюориметрическим методом [10] как в сухих семенах, так и в проростках через 24, 48 и 72 ч после замачивания семян.

Семена облучали на гамма-источнике РХМ-20  $^{60}\text{Co}$  ( $P=1\text{Гр/сек}$ ) в дозах 20, 40, 60, 80, 100 Гр (брей).

Цитогенетический анализ действия проводили в меристематических зонах центральных проростков пшеницы. Для получения водных растворов α-токоферола, использовали стабилизатор «стин-60», в связи с тем что токолем служили семена, пророщиваемые как на воде, так и в растворе стабилизатора в количестве, эквивалентном метаболиту. Семена пророщивали в термостате при 25°C, затем фиксировали в смеси абсолютного спирта и ледяной уксусной кислоты (3:1). Готовые деревянные ацетиляминовые препараты. Учет аберраций хромосом в газовых и раних телибизовых клетках проводили общепринятыми методами [11]. Полученные экспериментальные данные статистически обре-

## РЕЗУЛЬТАТЫ И ОБСУЖДЕНИЯ

В серии экспериментов по выявлению эффекта действия разных доз гамма-лучей на активность фермента в семенах и проростках пшеницы было установлено, что с увеличением дозы в два раза, в диапазоне от 20 до 100 Гр, увеличивается активность фермента как в сухих семенах сразу после облучения, так и в проростках. Параллельно проводился учет аберраций хромосом, который показал, что это увеличение возникает на фоне увеличения мутабильности хромосом.

Проведенный корреляционный анализ показал наличие положительной корреляции между соотношением количественных показаний аберраций хромосом и степенью пострадиационного активирования пероксидазы. Так, при действии гамма-облучения в дозах 40, 60, 100 Гр коэффициент корреляции составил  $0,42 \pm 0,18$ ;  $0,81 \pm 0,10$ ;  $1,00 \pm 0,16\%$ , соответственно  $t_{diff} = 2,3; 8,1; 8,1$ .

Наблюдается четкая взаимосвязь между мутабильностью хромосом и активностью пероксидазы. Увеличение активности пероксидазы наблюдалось также в вариантах с высокой спонтанной мутабильностью. Имеются данные о значении увеличения активности пероксидазы в процессе старения [13].

Изучена активность фермента и мутабильность хромосом при действии гамма-лучей и их модификации селенитом натрия в разные сроки фиксации материала. Как показали результаты экспериментов, прорашивание облученных семян пшеницы в растворах селениита натрия приводит к снижению мутабильности хромосом и падению активности фермента, через 48 и 72 ч от начала замачивания семян. Так, если в контроле активность фермента в проростках через 48 и 72 ч составила 83,33; 69,44 усл. ед. при действии гамма-лучей: 143,67; 59,52 усл. ед., то при действии селениита натрия в концентрации 0,1 мкг/мл — 86,35; 63,29 усл. ед.: в концентрации 0,01 мкг/мл — 43,31; 65,27 усл. ед., соответственно аберрации хромосом в контроле  $3,50 \pm 1,06$ ;  $2,10 \pm 0,73\%$ ; при действии радиации —  $12,25 \pm 1,43$ ;  $5,15 \pm 0,94\%$ ; при действии селениита натрия в концентрации 0,1 мкг/мл —  $8,67 \pm 0,86$ ;  $5,67 \pm 1,29\%$ , в концентрации 0,01 мкг/мл —  $6,38 \pm 1,26$ ;  $7,12 \pm 1,01\%$  (соответственно  $t_{diff} = 2,3; 3,1; 2,4; 4,0$ ).

Аналогичные результаты получены в экспериментах, где в качестве модификатора мутационного процесса использовали α-токоферол.

Исходя из экспериментальных данных становится очевидным участие эндогенных пероксидаз в регуляции мутационного процесса.

Повышение активности фермента в семенах и проростках пшеницы можно, очевидно, рассматривать как компенсаторную реакцию организма, возникающую на фоне того или иного нарушения метаболизма.

## Выводы

1. Установлена положительная корреляция между соотношением количественных показаний аберраций хромосом и степенью пострадиационного и спонтанного активирования пероксидазы.

2. Экзогенное введение селениита натрия и α-токоферола наряду с защитным действием в отношении снижения аберраций хромосом, приводит к падению активности фермента.

## Литература

1. Saunders B. S., Holmes-Siedle A. G., Stark B. P. Peroxidase, Butterworths. — London, 1964.
2. Neufeld H. A.—J. Biol. Chem., v. 233, p. 209, 1958.
3. Chattopadhyay N. Ch., Nandi B.—Biol. Plant. Acad. Sci. Bohemosl., 18, № 5, p. 321—326, 1976.
4. Hofferek H.—Biochem. und Physiol. Pflanz., 170, № 1, p. 23—26, 1976.
5. Romanatha V. R., Metha S.—Hydrochemistry, 15, № 6, p. 893—895, 1976.
6. Lyttie R., Yellink M.—Biochemistry J., p. 160, № 2, 1976.
7. Westergaard M.—Experientia, 13, p. 224, 1957.
8. Агабейли Р. А., Мехтиев М. Х., Меликова Н. К.—Генетика, № 12, с. 2226—2229, 1980.
9. Shamberger R. J., Baumgarten F. F., Kalchert S. Z.—Proc. Nat. Acad. Sci., U. S. A., 70, № 5, p. 1461—1463, 1973.
10. Плещков Б. П. Практикум по биохимии растений—М., 1976, с. 213—218.
11. Дубчинин Н. П., Щербаков В. К., Дубчинина Л. Г., Кеслер Г. Н. Цитология, т. 7, № 1, 1965, 72.
12. Плохинский Н. А. Биометрия.—Новосибирск: Наука, 1961.
13. Birecka H., Chaskes M. J., Goldstein J.—J. Exp. Bot., 30, № 116, p. 565—573, 1979.

НЦЫИ АН Азерб. ССР

Поступило 23. II 1982

Р. А. Агабейли, Н. К. Меликова, И. М. Искандерова

### СПОНТАН ВӘ ИНДУКСА ЕДИЛМИШ ШӘРАНТДА АНТИОКСИДАНТЫН ХРОМОСОМ МУТАСИЈАСЫНА ВӘ ПЕРОКСИДАЗА ФЕРМЕНТИНИН АКТИВЛІЛІККІН ТӘСІРИ

Мәгәләдә бұғда вә соғаның меристем мүнәсілдеріндә ситокенетик вә биокиміяның усула спонтан вә үшіншіліктердең мутасијасынан вә пероксидаза ферменттің активліліктерін анализ едилмәсіндегі бағыт олунур. Нәтижәдә хромосом аберрасијасының мигдары илә пероксидаза ферменттің активлілік арасында дүзүнә коррелация олдуғу мүмкін едилмешdir.  $\alpha$ -токоферол вә натриум селенит хромосом аберрасијаларының мигдарының ашагы салмагла жаңашы, пероксидаза ферменттің активліліккін дә ашагы салып.

R. A. Agabeyly, N. K. Melikova, I. M. Iskenderova

### THE INFLUENCE OF ANTIOXIDANTS ON THE MUTABILITY OF CHROMOSOMES AND ACTIVITY OF PEROXIDASE UNDER SPONTANEOUS AND INDUCED MUTAGENESIS CONDITIONS

The spontaneous  $\gamma$ -ray-induced mutability of wheat and Welsh onion meristematic cell chromosomes and the activity of peroxidase enzyme is studied by the methods of cytogenetic and biochemical analysis. The positive correlation between the ratio of quantitative readings of chromosome aberrations and the rate of post-radiation and spontaneous activation of peroxidase is established. Exogenous introduction of sodium selenite and  $\alpha$ -tocopherol besides the protective effect in the relation to chromosome aberration decrease leads to the fall of enzyme activity.

АЗЭРБАЙЖАН ССР ЕЛМЛӘР АКАДЕМИЯСЫНЫН МӘРҮЗӘЛӘРИ

ДОКЛАДЫ АКАДЕМИИ НАУК АЗЕРБАЙДЖАНСКОЙ ССР

ТОМ XLI ЧИЛД

№ 3

1985

### БИОХИМИЯ РАСТЕНИЙ

Н. М. ИСМАИЛОВ, А. А. КУЛИЕВ

### О СОСТАВЕ ФЛАВОНОИДОВ И СТЕРОЛОВ ИЗ *Carthamus tinctorius L.*

(Представлено академиком АН Азербайджанской ССР В. И. Ульянищевым)

*Carthamus tinctorius L.* — сафлор красильный (сем. Сложноцветных) издавна используется в качестве красителя и источника жирного масла в Египте, Иране, Афганистане, Индии, Эфиопии, Китае, Японии и т. д. Из цветков получают краски, а из семян — жирное масло, применяющееся в пищевой промышленности. Натуральные краски (картамин) использовали для окраски шелковых и хлопчатобумажных тканей. Как суррогат шафрана картамин используется в кулинарии, особенно в восточных странах, поэтому одно из названий сафлора — ложный шафран [1, 2].

В настоящее время сафлор красильный как засухоустойчивое растение культивируется в странах Азии, на Юго-востоке Европы, Америки, у нас в Союзе — в РСФСР, в Средней Азии. В Азербайджане выращивается в приусадебных участках.

По данным ряда авторов [1, 2], генеративные органы содержат пигменты, жирное и эфирное масла. В вегетативных и генеративных органах авторами обнаружены гликозиды, кумарины, дубильные вещества и др. Состав пигментов цветков сафлора изучен достаточно полно [3]. Однако остальным веществам, в частности, таким как стерин, эфирные масла и другие внимание уделено было мало.

Нами изучен состав экстрактов из цветков сафлора красильного, культивированного в сел. Шихмакмуд Бабекского района Нахичеванской АССР в 1980 г. Получены экстракты: петролейно-эфирный (0,6% от воздушно-сухого веса), метанольный (24%), этанольный (20,4%), водно-этанольный (37,5%) и водный (50,0%).

Методом В. А. Бандюковой [4] определено в листьях — 0,28%, стеблях — 0,15%, корнях — 0,09%, цветках — 1,96%, корзинках цветков — 0,39% и семянках — 0,25% флавоноидов.

Изучая состав флавоноидов этилацетатного извлечения, полученного из этанольного экстракта, нам удалось установить наличие лютеолина и лютеолина 7-0- $\beta$ -D-глюкозида.

Для этого цветки сафлора красильного экстрагировали 96%-ным этиловым спиртом в соотношении 1:8 трижды при комнатной температуре. Экстракт фильтровали, сгущали под вакуумом при температуре 40 °C до состояния сиропа и разбавляли водой в соотношении 1:5, затем обрабатывали этилацетатом. Этилацетатные вытяжки объединяли, сгущали и пропускали через колонку (размер 4×45 см), наполненную целлюлозой. Соотношение образца-целлюлозы составило 1:10. Элюи-

рование проводили смесью растворителей: *n*-бутанол-этиловый спирт—вода 10:2:5.

Хроматографией на бумаге в этилацетатной фракции обнаружено два вещества флавононидной природы. По положению на хроматограмме было выявлено, что одно из них является агликоном, а другое — глюкозидом.

Из первой фракции (250 мл) после перегонки растворителя и последовательной перекристаллизации продукта получили кристаллическое вещество желтого цвета с температурой плавления 328—330°C. Вещество дает положительную реакцию Бриант и не изменяется при кислотном гидролизе. В УФ-спектре имеется  $\lambda_{\text{этанол}}^{\text{этанол}}$  351,291, пл., 269, 256, 242 пл. им (УФ-спектры сняли в спектрофотометре Specord (ГДР) в этаноле, концентрация вещества  $10^{-4}$  M, толщина поглощающего слоя 5 мл). Масс-спектр (снятый на приборе MX-1303 при энергии ионизации электронов 40 эВ) соответствует  $M^+$  268.

По физико-химическим данным, УФ-, ИК-, масс-спектрам и хроматографическому поведению со свидетелем вещества идентифицировали с лютеолином.

Из второй фракции этилацетатного извлечения выделено светло-желтое кристаллическое вещество с т. пл. 255—258°C, хорошо растворимое в водных растворах метанола и этанола. Оно является флавононидом, что подтверждается цианидиновой реакцией. При хроматографировании на бумаге имеем  $R_f$  0,44 (БУВ 4:1:5) и 0,15 (15%-ная уксусная кислота). В результате кислотного гидролиза (10%-ный водно-метанольный (1:1) раствор  $H_2SO_4$  в течение 8 ч на кипящей водяной бане) получили агликон с т. пл. 328—330°C, который по данным УФ-, ИК-спектров идентичен лютеолину. Сахарная часть гидролизата оказалась идентична глюкозе, определенная в виде метоксильных эфиров, метил гликозидов [5] на приборе «Цвет-4».

В ИК-спектре  $\lambda_{\text{max}}^{\text{КBr}}$  см<sup>-1</sup> гликозида имеются интенсивные полосы при 770 ср., 799 сл., 845 с., 910 сл., 1000 ср., 1035 с., 1075 с., 1100 с., 1180 с., 1220 ср., 1275 оч. с., 1310, 1320, 1350 ср., 1390 сл., 1430 ср., 1450 с., 1510 с., 1575—1580 ср., 1610 оч. с., 1660 с., широкая область 2600—3600 с. характерные для  $\beta$ -формы пиранозида. На основании данных кислотного гидролиза УФ-, ИК-спектров гликозида идентифицирован лютеолин 7-O- $\beta$ -D-глюкозидом. Гликозид лютеолина ранее был выделен из сафлора остроцапного — *Carthamus oxyacanthus* Bleb [6].

Стеролы были обнаружены в метанольном экстракте, выделенном из цветков сафлора.

Сумму экстрактивных веществ хроматографировали на колонке с окисью алюминия. Колонку элюировали хлороформом, а затем смесью хлороформ-метанол в соотношении 9:1. Из I—X хлороформных фракций при добавлении метанола (1:1) выкристаллизовалась сумма стеролов. С помощью хроматографии на Silufol в системе бензол-этилацетат 3:1 из суммы стеролов препаративно выделили главный компонент:  $\beta$ -ситостерол по данным масс-спектра (мол. вес 414, характерная фрагментация и  $R_f = 0,67$ ). Продолжая элюирование из колонки системой хлороформ-метанол (9:1) выделили вещество гликозидной природы ( $R_f = 0,4$  в той же системе).

Гликозид подвергался кислотному гидролизу. Реакционную смесь

разбавляли водой (1:1), отгоняли большую часть метанола, отфильтровывали выпавший осадок. Сумму веществ, полученных в осадке, подвергали колоночной хроматографии на окись алюминия в системах хлороформ и хлороформ-метанол 9:1. Из хлороформных фракций выделили  $\beta$ -ситостерол. Продолжая элюирование выделили примерно 50% не гидролизованного исходного гликозида, фильтрат кипятили в течение 2 ч для разрушения метилгликозида и нейтрализовали углекислым барием. Отделили осадок, фильтрат упаривали досуха. В остатке методом тонкослойной хроматографии в системе хлороформ-метанол—вода 65:35:8 обнаружили D-глюкозу.

Методом газожидкостной хроматографии [5] подтвердили эти данные и установили присутствие одного сахарного остатка в молекуле глюкозида.

Выделенный глюкозид по физико-химическим константам: т. пл. 285—287° (изметанола),  $\alpha_D^{20}$  30° (C, 1, 4:пиридин),  $R_f = 0,4$  в системе хлороформ-метанол 9:1, данные ГЖХ идентичны глюкопиранозиду- $\beta$ -ситостерола.

#### Литература

1. Момот Н. Г. Сафлор. Ботанико-агрономическая монография вида *Carthamus tinctorius* L. Автореф. докт. дисс... — Ташкент, 1960, 27 с. 2. Вульф Е. В., Малеева А. Ф. Мировые ресурсы полезных растений. Справочник.—Л.: Наука, 1969, 561 с. 3. Seshadri T. R., Thakur R. S. The colouring matter of the flowers of *Carthamus tinctorius*. — Current Science, 1969, vol. 29, N 3, p. 54—55. 4. Волхонский Т. А. К вопросу количественного определения флавонолов в растениях. В кн.: Актуальные вопросы ботанического ресурсопользования в Сибири.—Новосибирск: Наука, 1976, с. 206—209. 5. Горовиц Т. Т., Абубакиров Н. К. Определение 2,6-дидезоксисахаров в карденолидах. — Химия, 1971, N 6, с. 758—762. 6. Kapoor S. K., Khan H., Zaman A. Chemical investigation of *Carthamus oxyacantha* Bleb.—Chemistry, 1970, vol. 33, № 4, p. 262.

Институт ботаники  
АН Азерб. ССР

Поступило 10. VI 1982

И. М. Исмаилов, А. Э. Гулиев

#### *Carthamus tinctorius* L. БИТКИСИНИН ФЛАВОНОИДЛЭРИ ВО СТЕРОЛЛАРЫНЫН ТЭРКИБИ

Могаләдә көстөрмийниндири ки, Нахчыван МССР-да бечәрилән *Carthamus tinctorius* L. (Јалинчи зәфәрән) биткисен чичәкләриндең флавононидләр ва стероллар чыхарыларага ғылыми тарафынан изучен. Биткисен 7-O- $\beta$ -D-глюкозид, лютеолин-7-O- $\beta$ -D-глюкозид, һомчинин  $\beta$ -ситостерол ва гликопиранозид- $\beta$ -ситостерол анынчалыкы.

N. M. Ismailov, A. A. Kuliev

#### ON THE FLAVONOID AND STEROL CONTENT OF CARTHAMUS TINCTORIUS L.

The flavonoid and sterol content in *Carthamus tinctorius* L. flowers cultivated in Nakhchivan ASSR is studied. Luteolin, luteolin-7-O- $\beta$ -D-glucoside,  $\beta$ -sitosterol and glycoside- $\beta$ -sitosterol are extracted from it and identified.

УДК 634.64:631.52

Н. М. ЮСИФОВ

## СЕЛЕКЦИЯ РАСТЕНИЙ

## СОРТОВЫЕ ОСОБЕННОСТИ ОСНОВНЫХ ПИТАТЕЛЬНЫХ ВЕЩЕСТВ СОИ

(Представлено академиком АН Азербайджанской ССР И. К. Абдуллаевым)

В «Основных направлениях экономического и социального развития СССР на 1981—1985 годы и на период до 1990 года» предусмотрено улучшить сбалансированность кормов по белку и другим питательным веществам. Это намечено достичь за счет быстрого роста производства зернобобовых и других высокобелковых культур, которые более эффективно обеспечивают животных кормами и способствуют повышению их продуктивности.

В настоящее время в нашей стране в наибольшем объеме возделывают в северных и западных районах: горох, клевер, вику и люпик, а посев люцерны и сои расширяется в южных и юго-восточных районах. Для подъема животноводства в Азербайджанской ССР имеет большое значение соя. Она является важнейшей белково-масличной культурой в мировом земледелии и играет важную роль в решении проблемы дефицита растительного белка. Соя по своему химическому составу уникальна и служит хорошим компонентом для приготовления высококачественных комбикормов. Зеленая ее масса используется при совместном силосовании с кукурузой и соргой, а также в зеленом конвеере. Это позволяет несколько сбалансировать сочный корм по белку, тем самым повысить удои и привесы скота. Учитывая изложенное, нами были исследованы основные показатели химического состава разных сортов сои в период молочно-восковой спелости цельного растения, возделываемого в условиях Азербайджана. Материалы для химического анализа брались из опытного поля Азербайджанского НИИ хлопководства. Во взятых пробах определено содержание сырого протеина по методу Кильдаля, сырого жира — Попандопуло, сырой клетчатки — Генкебергу и Штоману, золы — путем озоления безазотистых экстрактивных веществ (БЭВ) — арифметическим вычислением, незаменимых и заменимых аминокислот — аминокислотным анализатором чешского производства марки AAA-881, макроэлементы: кальций, магний, калий, натрий — макроэлементом фотометром марки «Флафо-4» компрессор, микроэлементы: медь, железо, цинк, марганец, свинец, кобальт, кадмий, никель, алюминий и молибден — атомно-абсорбционным спектрофотометром марки С-302, а фосфор — по Фиске и Суббору с последующим фотоэлектротитрометрированием (ФЭК-М). Результаты этих исследований представлены в табл. 1—3.

Таблица 1

Химический состав разных сортов сои  
(% воздушно-сухой массы цельного растения)

Химические компоненты	Сорт						
	Болгарская	Херсонская	Амурская черная	Амурская белая	Ходзон	Флора	Пламя
Протеин	5,78	4,18	15,22	12,95	3,85	10,93	11,81
Клетчатка	24,60	25,62	25,35	24,70	25,05	23,45	25,95
Жир	6,21	4,84	4,87	2,04	6,73	7,36	9,01
Зола	10,93	10,59	10,94	11,56	6,87	10,05	11,44
БЭВ	44,44	46,37	34,73	39,80	49,33	39,94	33,11

Таблица 2

Содержание аминокислот в разных сортах сои  
(г/кг воздушно-сухой массы цельного растения)

Аминокислоты	Сорт						
	Болгарская	Херсонская-8	Амурская черная	Амурская белая	Ходzon	Флора	Пламя
Незаменимые							
Лизин	6,5	11,1	3,4	3,4	14,3	5,9	4,9
Метионин	0,8	2,1	0,7	0,3	2,1	0,4	0,9
Фенилаланин	5,4	7,9	3,6	3,3	7,8	2,9	5,8
Аргинин	5,0	8,6	4,4	3,3	15,1	2,2	6,2
Гистидин	2,4	3,5	1,9	1,5	4,7	1,7	7,7
Лейцин	7,4	11,8	5,5	5,2	12,3	5,5	8,0
Изолейцин	3,6	7,6	3,1	2,9	7,3	3,4	4,9
Треонин	3,3	9,1	3,0	3,1	5,6	2,6	3,0
Валин	4,6	7,9	4,0	3,7	9,0	4,3	6,0
Сумма	39,0	69,6	29,6	26,7	78,2	29,9	43,3
Заменимые							
Асп. кислота	8,6	17,5	7,8	7,7	17,7	5,7	11,6
Глют. кислота	8,6	19,3	7,7	8,3	22,6	7,6	15,1
Серин	3,2	7,7	3,1	3,4	7,3	0,4	5,5
Пролин	4,2	7,6	3,4	3,9	3,8	3,3	4,0
Глицин	3,6	8,6	4,2	3,8	7,8	2,9	5,2
Аланин	4,4	9,7	4,4	4,2	7,6	6,0	6,0
Тирозин	2,8	5,0	2,2	1,9	5,3	1,9	3,9
Цистein	0,7	1,3	0,4	0,5	1,1	0,2	0,9
Сумма	36,1	76,7	33,2	33,7	73,2	28,0	52,2
Общая сумма	75,1	146,3	62,8	60,4	151,4	56,9	95,5

Как видно из данных табл. 1, показатели химического состава протеина, клетчатки, жира, золы и БЭВ разных сортов сои имеют сортовые особенности. Уровень содержания протеина больше у сортов Амурская черная (15,22%), Амурская белая (12,95%) и Пламя (11,81%). Содержание указанных показателяй более низкое у сортов Болгарская (5,78%), Херсонская-8 (4,18%) и Ходзон (3,85%).

Следовательно, самое высокое количество протеина у сорта Амурская черная, а самое низкое — у сорта Ходзон. Разница между ними примерно в 3,9 раза. Количество жира у сорта Амурская белая в 2,5—4,5 раза меньше, чем у остальных сортов, а у сорта Пламя заметно преобладает. Что касается содержания клетчатки и суммы минеральных веществ (золы), то существенных сортовых различий не наблюдается, исключением является сорт Ходзон. У последнего содержание минеральных веществ заметно меньше (6,9%), чем у других сортов (10,6—11,6%). Низким уровнем безазотистых веществ (моносахарины, олигосахарины, крахмал, пентозаны, органические кислоты, пектиновые вещества и др.) характеризуется сорт Пламя (33,1%), а высоким — Ходзон (49,3%). БЭВ по сравнению с другими питательными веществами занимает первое место, затем идет клетчатка, наименьшую долю составляют жиры.

Таблица 3

Содержание макро- и микроэлементов в цельном растении разных сортов сои

Химические элементы	Сорт						
	Болгарская	Херсонская	Амурская черная	Амурская белая	Ходзон	Флора	Пла
Макроэлементы, % воздушно-сухой массы							
Кальций	1,55	1,45	0,95	1,20	1,20	0,78	0,60
Магний	0,77	0,78	0,62	0,74	0,80	0,80	0,51
Фосфор	0,67	0,73	0,50	0,61	0,80	0,54	0,31
Калий	0,50	0,66	0,44	0,18	0,49	0,34	0,31
Натрий	0,22	0,13	0,24	0,17	0,11	0,08	0,12
Микроэлементы, мг/кг воздушно-сухой массы							
Медь	2,06	1,62	1,32	2,40	1,36	1,20	1,40
Железо	102,0	0,17	77,0	90,0	76,0	36,0	56,0
Цинк	5,20	5,70	6,50	5,00	5,90	5,00	3,00
Марганец	120,0	47,0	77,5	100,0	60,0	80,0	60,0
Свинец	0,14	0,18	0,21	0,24	0,12	0,12	0,12
Кобальт	0,20	0,20	0,22	0,24	0,18	0,22	0,24
Кадмий	4,60	7,40	3,00	3,60	4,00	3,60	2,00
Никель	0,66	0,48	0,59	0,57	0,52	0,57	0,35
Алюминий	116,5	93,0	84,0	120,0	70,0	36,0	64,0
Молибден	0,22	0,31	0,27	0,36	0,21	0,30	0,16

Данные табл. 2 показывают, что изученные сорта сои отличаются также по аминокислотному составу. Содержания незаменимых и заменимых аминокислот сои имеют сортовые различия. Самое большое количество незаменимых аминокислот содержится в цельном растении в сортах Ходзон (78,2 г/кг) и Херсонская-8 (69,6 г/кг). В первом значительную долю составляют аргинин, лизин, лейцин и валин в последнем — лизин, лейцин, треонин, аргинин. Суммарное количество незаменимых аминокислот в сортах Амурская белая, Флора и Амурская черная заметно меньше и составляет 26,7; 28,9; 29,6 г/кг соответственно. У последних трех сортов в преобладающем количестве содержатся лейцин, валин и лизин.

У всех исследованных сортов сои самое низкое количество незаме-

нимых аминокислот составляет метионин и гистидин, особенно у сортов Амурская белая, Амурская черная и Флора. Суммарное количество незаменимых аминокислот у сортов Болгарская и Пламя занимает промежуточное положение и составляет 39,0 и 43,3 г/кг в воздушно-сухой массе цельного растения. Аналогичные изменения наблюдаются и в содержании суммы заменимых аминокислот. Среди последних в преобладающем количестве находятся кислые аминокислоты: аспарагиновая и глютаминовая, а доля цистеина незначительна и колеблется в пределах 0,2—1,3 г/кг. У всех исследованных сортов в большинстве случаев суммарное количество заменимых аминокислот преобладает над суммой незаменимых. В сортах Болгарская и Ходзон наблюдается обратная картина, т. е. незаменимых аминокислот больше, чем заменимых. По общей сумме незаменимых и заменимых аминокислот Ходзон и Херсонская-8 превосходят остальные сорта. Урожайность зеленой массы у сорта Херсонская-8 составляет 250—300 ц/га, а у сорта Ходзон — 150—200 ц/га. В свете сказанного заметим, что из исследованных сортов лучшими являются Херсонская-8 и Ходзон, которые следует рекомендовать хозяйствам для возделывания. Последние по содержанию лимитирующих аминокислот — лизина (11,1—14,3 г/кг соответственно) и метионина (2,1—2,1 г/кг соответственно) преобладают над остальными сортами.

Сортовые сдвиги зональных элементов (макро- и микроэлементов) представлены в табл. 3. Данные этой таблицы показывают, что содержание макро- и микроэлементов отличается во всех изученных сортах. Так, например, содержание кальция, калия, меди, железа преобладает у сортов Болгарская и Херсонская-8 по сравнению с остальными сортами. Фосфор преобладает в сортах Херсонская-8 и Ходзон, марганец и алюминий — в сортах Болгарская и Амурская белая. Из числа исследованных макроэлементов у всех сортов незначительное количество (0,08—0,24%) натрия, больше всего кальция. Сравнительно большое количество натрия наблюдается у сортов Амурская черная и Болгарская. Во всех исследованных сортах в большом количестве содержится марганец, алюминий и железо, а в низких — свинец, кобальт, молибден, никель и медь, последней больше в сортах Амурская белая (2,4 мг/кг) и Болгарская (2,06 мг/кг).

Обобщая экспериментальные данные наших исследований по определению белков, жиров, углеводов, аминокислот, макро- и микроэлементов, следует отметить, что, составляя кормовой рацион животных в хозяйствах республики, необходимо учитывать и сортовые особенности сои по количеству их питательных веществ.

АзСХИ г. Кировабад

Поступило 27. III 1984

Н. М. Юсифов

СОЯНЫН ТЭРКИБИНДЭ ӘСАС ГИДА МАДДЭЛЭРИНИН  
СОРТ ХҮССҮСИЙЛЭГИ

Мэглэдэж јемчиликдэ зүлал чатышмазлыгыны арадан галдымаг учун республика да экилэн мүхтэлиф сорт соя биткисиний (Болгар, Херсон-8, АФ Амур, Гара Амур,

Ходзон, Флора, Пламја) кимјеви тәркибидән бәһс олунур. Инкишаф фазасының сүдмум дөврүндә биткىларин тәркибидә амин туршулары (әвәзедилмәјән вә әвәзедилән), макро вә микроэлементләр мигдарча тә'жин едилемшидир. Умумијјәтлә, 37 кимјеви көстәричи өјрәнилмишdir. Һејванлар учун јем пајларының тәркибидә вә сојаның рајонлашдырылмасында һәмни көстәричиләрни иззәрә алышмалары мәсләһәт көрүлүр.

N. M. Yusifov

### THE SORT PECULIARITIES OF THE MAIN NUTRIENTS OF SOYA

The main indications of the chemical compositions of different sorts of soya at the period of milky-wax ripeness of the purpose plant cultivated in conditions of the Azerbaijan SSR were investigated in the article.

In all investigated sorts of soya (they are 7) the sort improvements of irreplaceable and replaceable amino-acids, macro- and micro-elements, and other chemical indications were established.

In virtue of received experimental facts, it is noted that in compiling the feeding ration for agricultural animals and in zoning the perspective sorts of soya in the economy of the republic, it is also necessary to take into consideration the sort peculiarities of the last according to the amount of their nutrients.

АЗЭРБАЙЧАН ССР ЕЛМЛӘР АКАДЕМИЯСЫНЫН МӘРҮЗӘЛӘРИ

ДОКЛАДЫ АКАДЕМИИ НАУК АЗЕРБАЙДЖАНСКОЙ ССР

ТОМ XLI ЧИЛД

№ 3

1985

УДК 581.144:581.19

БИТКИ ФИЗИОЛОГИЈАСЫ

Ә. Ч. СӘМӘДОВА

### ҚӨК ТОХУМАЛАРЫНЫН МИНЕРАЛ АЗОТУН МЕТАБОЛИТИК ЧЕВРИЛМӘСИНДӘ ВӘ АМИН ТУРШУЛАРЫНЫН СИНТЕЗИНДӘ РОЛУ

(Азәрбајҹан ССР ЕА академики М. Ч. Абуталыбов тәгдим етмишидиг)

Тохума компартментасијасынын тәдгигинә һәсәр олунмуш ишләрдә [1—4] ашкар едилемшидир ки, көк габығы вә мәркәзи силиндр тохума групплары азотлу маддәләр мүбадиләсиин һәјата кечирилмәси учун функционал ихтисаслашмаја маликдирләр. Габығ тохумасында синтез олунан амин туршулары сечиләрәк мәркәзи силиндрда радиал транспорт олунур вә бурада онларын транспорту базал вә акропетал истигат мәтләрдә шахәләнир [5]. Тәдгигатлар [6—7] көстәрмишdir ки, көкләр тәрәфиндән азотун илк мәнимсәнилмәси әсасән габығ тохумасында һәјата кечирилир. Қекүн мәркәзи силиндр тохумасы исә габығ тохумасында синтез олунмуш, һәмчинин тохумун ендоспермасындан еңтијат зулалларын парчаланмасы нәтичәсindә ахыб кәлән амин туршуларынын сечилип пајлаймасынын регулјасијасында бөյүк рол ојнајыр.

Бурада мәгсәд көк тохумаларынын вә фәэл көк учунун (1 см) бир тәрәфдән минерал азотун мәнимсәнилмәсindә вә амин туршуларынагәдәр синтезинде, дикәр тәрәфдән исә көк тохумаларынын һаңсы минерал азот формасындан даһа әлверишли олараг истифадә едә билдијини мүәjjиенләшдиրмәкдир.

«Жахышлашдырылмыш Загатала» гарбыдалы тохумлары *Zea mays* үч күн 26°C-дә гаранлыг термостатда чүчәрдилмишdir. Чүчәртиләрин яланыз әсас көкләриндән көк габығы, мәркәзи силиндр көк тохумасы, бүтүн көкләрдән исә көк учу-меристема (1 см) айрылмышдыр. Нұмуналәрин бир һиссәсindә амин туршулары вә гуру чәки тә'жин едилемшидир. Галан һиссәдә исә бир тәчрүбәдә аммиак азотунда ( $\text{NH}_4\text{Cl}$ —353 мг/л N) 30; 60; 90 дәғигә, дикәр тәчрүбәдә исә нитрат азотунда ( $\text{KNO}_3$ —350 мг/л N) 30; 60; 120 дәғигә сахароза иштиракы илә (сон гатылыг бир мл-дә 5 мм) 0—5°C-дә инкубасија апарылмышдыр. Амин туршуларынын тә'жини учун айрылмыш нұмуналәр мәнифи температурлу маје азотла фиксә олунуб, номокен күтлә алышана кими әзилмиш вә 80%-ли етил спирти илә 60—65°-дә 4 дәфә екстраксија апарылмышдыр. Нұмуналәр екстракт, хлороформ, су гарышығында (1:2,5:0,25) зулаллардан, липидләрдән вә с. гарышыглардан тәмизләнишdir. Галыг 10%-ли изопропил спиртиндә һәлл едилемшидир. Галыг анализләри [8—9] апарылмышдыр.

Анализләри нәтичәләри көстәрмишdir ки, 1 г јаш нұмунаенин гуру чәкиси көк тохумаларында кәсекин фәргләниш, мәркәзи силиндрдә 93, 43; көк габығында 57,42; көк учунда исә (1 см) 109,0 мг олмушудур. Инкубасија гәдәр көк тохумаларында апарылмыш анализләри (1-чи чәд-

**Гарыдалы чүчөртилдер көк тохумларынын амин түршесүү төрүндөн интрат азотунда**  
инкубасијанын тәсир 1 г гуру тәжілде

Амин түршулары	Инкубасијада гәләр			30 дәг. инкубасија			60 дәг. инкубасија			120 дәг. инкубасија		
	Көк габығы	мәркәзи силиндр	меристема	Көк габығы	мәркәзи силиндр	меристема	Көк габығы	мәркәзи силиндр	меристема	Көк габығы	мәркәзи силиндр	меристема
Систин	0,35	0,27	0,49	изи	0,41	изи	изи	0,43	изи	изи	изи	изи
Лизин	1,07	0,93	1,38	1,04	0,82	1,15	1,06	0,68	1,76	0,75	1,21	1,23
Интидиин	2,99	1,86	2,15	3,74	2,14	1,94	3,58	1,65	2,44	2,79	3,27	2,43
Аркинин	1,66	1,24	1,22	2,19	1,33	1,47	2,36	1,39	1,64	1,63	1,63	1,74
Аспаракин	2,39	1,12	2,40	3,87	1,32	2,56	3,80	1,46	3,95	3,33	1,33	2,77
Глутамин	2,14	1,31	1,83	2,91	0,91	2,13	3,12	1,57	2,60	2,14	1,54	2,24
Аспаракин т-су-серин глисин	2,23	1,86	2,24	2,84	1,91	3,22	2,60	1,62	4,20	2,15	2,34	2,46
Глутамин туршусу—треонин	1,56	2,90	1,81	1,49	1,90	2,26	1,94	1,50	2,74	1,46	2,02	2,52
Аланин	1,34	1,01	1,33	2,00	0,75	1,59	2,21	0,52	2,77	1,47	0,90	2,60
Тирозин	2,00	изи	1,14	1,59	1,53	1,59	1,74	1,47	изи	1,59	изи	1,82
ГАЈТ	0,95	0,86	1,24	1,34	изи	1,56	1,38	0,40	1,85	1,47	изи	2,61
Валин-метионин	2,00	0,74	1,46	1,66	0,59	1,03	1,79	0,43	0,93	1,40	0,78	1,13
Фенилаланин	1,80	1,47	1,15	2,39	1,54	1,79	1,66	0,91	1,70	2,02	2,22	1,85
Лейцинелер	0,80	0,63	0,36	0,80	0,67	0,55	0,77	0,40	0,57	0,69	0,56	0,53
Ч ә м и:	23,28	16,20	20,20	27,86	15,41	23,25	28,01	14,0	27,58	22,89	18,0	27,23

вәлә бах) мүгајисеси көстәрмишdir ки, көк габығында амин түршуларынын мигдары мәркәзи силиндр вә көк учунан (меристема) нисбәтән сохдур. Интрат азотунда инкубасија иәтичәсindә илк 30; 60 дәгигәдә амин түршуларынын мигдары габығ тохумасында вә көк учунан артмыш, мәркәзи силиндр тохумасында исә азалмышдыр. Бу заман габығ тохумасында амин түршуларынын мигдары эсасан интидиин, аркинин, аспаракин, глутамин, аспаракин түршесүү, серин, глисин, алфа-аланин кими аминиләшмәнин илк мәһсулларынын несабына артса да, систин, тирозин, валин, метионин кими переаминиләшмә мәһсулларынын мигдары азалмышдыр. Көк учунан исә бүтүн инкубасија мүддәтләринде интидиин, аркинин, аспаракин, глутамин, аспаракин түршесүү, глутамин түршесүү, алфа-аланин, ГАЈТ\*, фенилаланин кими ејни амин түршуларынын мигдарынын артмасы көкүн бу инссесинде ѡемин амин түршуларынын синтези үчүн әлверишли шәрант олдуғуну көстәрир. Мәркәзи силиндр тохумасында јалныз 120 дәгигәлик инкубасија заманы лизин, интидиин, аркинин, аспаракин, глутамин кими тәркибинде чох азот сахлајан амин түршуларынын мигдары нисбәтән артмышдыр. Көрүндијүү кими, минерал азотун көк тохумалары тәрәфинидән азот м'үбадиләсindә сәрф олунмасы заманы әмәлә кәлән бирләшмәләр мүхтәлиф сайдада олуб азотун илкин вә тәкрап чөврилмәсі мәһсулларының әнатә едир.

Аммиак азотунда апарылмыш тәчрүбәнин иәтичәләри көстәрмишdir ки, гысамүддәти инкубасија заманы (30; 60 дәгигә) габығ тохумасында интидиин, аспаракин, глутамин, аланин, ГАЈТ кими амин түршуларынын мигдары артмыш, 90 дәгигәлик инкубасија заманы исә нисбәтән азалмышдыр. Инкубасијанын мүддәти узандыгча (60; 90 дәгигә) ГАЈТ, аспаракин, глутамин түршесүү, треонин, алфа-аланин фенилаланин кими амин түршуларынын мигдары көк учунан артмышдыр. Мәркәзи силиндр тохумасында исә јалныз 30 дәгигәлик инкубасија иәтичәсindә интидиин, аркинин, аспаракин, тирозинин мигдары артмышдыр. Көк учунан исә эксине, аммиак азотунда 30 дәгигәлик инкубасија иәтичәсindә интидиин, аркинин, аспаракин, тирозинин мигдары артмышдыр. Көк учунан да  $\text{KNO}_3$  илә инкубасија заманы, инкубасија гәдәрки дөврлә мүгајисәдә систин, интидиин, аркинин, глутамин, аспаракин түршесүү, глутамин түршесүү-треонин, ГАЈТ, фенилаланин мигдары артмыш, аммиак азотунда 30 дәгигәлик инкубасија иәтичәсindә исә амин түршуларынын мигдары азалмышдыр.

Һәр ики азот формаларында көк тохумаларынын сахланылмасы көстәрмишdir ки, габығ тохумасынын 30 дәгигәлик инкубасијасы мүддәтинде аммиак азоту илә мүгајисәдә интрат азотунда лизин, аркинин, аспаракин, глутамин, аспаракин түршесүүнүн, серинглисиин, треонинин, аланинин мигдары артмыш, дикәр амин түршуларынын мигдары исә чүзи дәйишишdir. Мәркәзи силиндр тохумасында исә эксине, аммиак азотунда 30 дәгигәлик инкубасија иәтичәсindә интидиин, аркинин, аспаракин, тирозинин мигдары артмышдыр. Көк учунан да  $\text{KNO}_3$  илә инкубасија заманы, инкубасија гәдәрки дөврлә мүгајисәдә систин, интидиин, аркинин, глутамин, аспаракин түршесүү, глутамин түршесүү-треонин, ГАЈТ, фенилаланин мигдары артмыш, аммиак азотунда 30 дәгигәлик инкубасија иәтичәсindә исә амин түршуларынын мигдары азалмышдыр.

Һәр ики азот формасы илә гысамүддәти (30; 60 дәгигә) инкубасија иәтичәсindә габығ тохумасында интидиин, аркинин, аспаракин, глутамин, аспаракин түршесүү, серин, глисин, аланин, ГАЈТ, фенилаланин кими аминиләшмәнин илк мәһсулларынын вә амидләрин мигдары артмышдыр. Күман олунур ки, габығ тохумасы һәр ики минерал азот формасынын мәним-

\* ГАЈТ — гамма амин яғ түршесүү.

Гарыдалы чүчөртілдеринің көк тохумаларынын амин туршусу тәсіри  
аммиак азотунда инкубасијанын тәсіри

Амин туршудары	Инкубасијаға тәндер		30 дәг. инкубасија		60 дәг. инкубасија		90 дәг. инкубасија	
	Көк габығы	Мәркәзи силиндр	Көк габығы	Мәркәзи силиндр	Көк габығы	Мәркәзи силиндр	Көк габығы	Мәркәзи силиндр
Систин	0,30	0,29	0,45	0,27	0,32	0,32	0,32	0,32
Лизин	1,01	0,99	1,83	0,88	1,14	1,06	0,62	0,72
Нистидин	3,18	2,10	2,75	3,70	2,74	1,78	4,02	2,07
Аркинин	1,57	1,33		1,99	1,67	1,17	2,13	1,27
Аспаракин	2,39	1,20	3,25	3,75	1,43	2,70	3,93	1,30
Глутамин	2,00	1,43	2,33	2,45	1,13	1,69	2,83	1,40
Аспаракин туршусу	2,02	1,84	2,69	2,02	1,96	2,34	2,33	1,35
Глутамин туршусу	1,56	3,11	1,95	1,37	2,32	1,74	1,72	1,54
Аланин	1,37	0,92	1,67	1,82	0,68	1,68	2,08	0,40
Тирозин	1,95	пиз	1,30	1,73	2,14	1,41	1,97	1,63
ГАТ	1,03	0,75	1,53	1,25	пиз	1,39	1,37	пиз
Валинметионин	1,67	0,82	0,83	1,57	0,56	0,84	1,69	0,36
Фенилаланин	2,28	1,47	1,55	2,32	1,62	1,47	2,34	0,79
Лейциндер	0,79	0,57	0,47	0,71	0,56	0,45	0,76	0,29
Ч ә м и:	23,12	16,82	24,15	25,56	17,63	20,07	28,13	12,56

сәнгилмәсі, аминаләшмә үә пәреаминләшмә реаксијаларының көтмәсі үчүн жүксек фәаллығда фермент аппаратына маликдір. Мәркәзі силиндр тохумасы исә азотун редуксијалашмасында вә амин туршуларының синтезинде иштирак етмір. Көк учунда, хұсуса нитрат азоту илә инглутамин туршусу, аланин, ГАТ, фенилаланин кими ежни амин туршуларының мигдарының бүтүн инкубасија дәврлериңде артмасы көкүн бүтіннен инкубасијаға дәврлериңде артмасы вә һәм амин туршуларының синтези үчүн әлверишли шәрайт олдуғуны көстәрір.

Алымыш иәтичеләрин мүгајисәсі көстәрмишdir ки, көк габығы вә көк учун нитрат азот формасындан аммиак азотуна писбәтән амин туршуларының синтезинде даһа сәмәрәли истифадә едә билирләр. Бу сәбәбдән дә амин туршуларының синтези айры-айры көк тохумаларында олдуғу кими, минерал азот формасындан асылы оларға да дәжишир. Бунула жаиашы габығ тохумасында аммиак вә нитрат азоту әсасән амидләр, аланин, тәркибинде чох азот сахлајан һистидин, аркинин кими азотту бирләшмәләрин васитесилә азот метаболизминә дахил олур.

Бүтүн нүмүнәләрдә аспаракинин мигдарының артмасы бүтіннен амидин һәр ики азот формасының үзви азотту бирләшмәләр кецидиңде ачар ролу оjnадығыны күман етмәjә әсас верир. Азоту мәнимсәнілмәсіндә, онлардан амин туршуларының синтезинде исә көкүн габығ тохумасы вә көк учуну көк түкләрине малик [10] зонасы фәал иштирак едир.

#### Литература

- Измайлова С. Ф., Пискорская В. П., Богатчик А. М., Смирнов А. М. — Физиология растений, т. 24, 1977, вып. 6, 1182.
- Измайлова С. Ф. — Физиология растений, т. 25, 1978, вып. 2, 386.
- Измайлова С. Ф., Пискорская В. П., Смирнов А. М. — Физиология растений, т. 26, 1979, вып. 1, 109.
- Измайлова С. Ф., Брускова Р. К., Баскакова С. Ю., Арман Л. А., Смирнов А. М. — Физиология растений, т. 28, 1981, вып. 2, 404.
- Измайлова С. Ф. — Физиология растений, т. 28, 1981, вып. 3, 635.
- Абуталыбов М. Г., Самедова А. Д. — Физиология растений, т. 26, 1979, вып. 5, 961.
- Abutalybov M. G., Samedova A. D. Mineral nutrition of plants. Proceeding of the First Internat. Symp. on Plant Nutrition.—Varna, Bulgaria, 1979.
- Пасхина Т. С. Методические письма, вып. 1, Институт биологии и медицинской химии.—М.: АМН СССР, 1959.
- Плещков Б. П., Фоуден Л. Изв. ТСХА, т. 30, вып. 5, 1959, 95.
- Абуталыбов М. Г., Самедова А. Д.—Физиология и биохимия культурных растений, т. 13, 1981, 519, № 5.

Алымышдыр 21. VII 1982

Ботаника Институту

А. Д. Самедова

#### РОЛЬ ОТДЕЛЬНЫХ ТКАНЕЙ КОРНЯ В МЕТАБОЛИЧЕСКИХ ПРЕВРАЩЕНИЯХ МИНЕРАЛЬНОГО АЗОТА И СИНТЕЗЕ АМИНОКИСЛОТ

Тканни корня кукурузы экспонировали на среде, содержащей различные формы минерального азота и сахарозу.

С помощью бумажной хроматографии выявлено, что восстановление нитратного и аммиачного азота и включение их в состав аминокислот в корнях кукурузы наибольее интенсивно происходит в коровой тканни корня, которая, как известно, отличается от других тканей более высокой метаболической активностью. Активность централь-

ног цилиндра в метаболических превращениях азота в корнях кукурузы, по нашим данным, оказалась значительно ниже, чем у коры.

Результаты показали, что кора и кончик (1 см) более эффективно используют нитратные формы азота в синтезе аминокислот, чем аммиачные.

Сопоставление полученных данных по исключению нитратного и аммиачного азота в аминокислоты и амиды, показало ключевую роль в этом процессе амида-аспарагина.

A. D. Samedova

### THE ROLE OF DIFFERENT ROOT TISSUES IN METABOLIZATION OF MINERAL NITROGEN AND AMINO ACIDS SYNTHESIS

The maize root tissues were exposed on the medium containing various forms of mineral nitrogen and sucrose. The results showed that the cortex and root tip (1 cm) more effectively used nitrate forms of nitrogen than ammonia nitrogen in the synthesis of amino acids.

АЗЭРБАЙЧАН ССР ЕЛМЛЭР АКАДЕМИЯСЫНЫН МЭРҮЗЭЛЭРИ

ДОКЛАДЫ АКАДЕМИИ НАУК АЗЕРБАЙДЖАНСКОЙ ССР

ТОМ XL1 ЧИЛД

№ 3

1985

УДК 616 — 053.2:612.178+616.132.14+616.136.

ПАТОЛОГИЧЕСКАЯ АНАТОМИЯ

Т. В. МАМЕДОВ

### СОСТОЯНИЕ АДРЕНЕРГИЧЕСКОЙ И ХОЛИНЕРГИЧЕСКОЙ ИННЕРВАЦИИ СЕРДЦА, ДУГИ АОРТЫ И ПОЧЕЧНОЙ АРТЕРИИ У РЕБЕНКА В УСЛОВИЯХ ПАТОЛОГИИ

(Представлено академиком АН Азербайджанской ССР М. А. Мусаевым)

В последние годы большое значение придается гистохимическим исследованиям иннервации сердечно-сосудистой системы у человека и млекопитающих с выявлением основных медиаторов — ацетилхолина и катехоламинов, участвующих в передаче возбуждающих импульсов, а также играющих важную роль во всех функциях организма [1, 2, 3, 4, 5, 6, 7, 8, 9 и др.].

Гистохимические методы дали возможность более точно установить существование медиаторов на всем протяжении симпатической и парасимпатической терминальных структур внутренних органов и обозначить их как распространенные холинергические и адренергические первично-мышечные симпатические структуры [3].

Из литературы известно, что сроки проявления холин- и адренергических первых сплетений у человека и млекопитающих животных различны.

Впренатальном периоде отмечается увеличение плотности адренергических первых сплетений в возрасте 2,4 и 7 мес., а после рождения плотность первых сплетений сердца и некоторых магистральных сосудов возрастает в течение первых 5—7 лет [2, 5].

Учитывая актуальность проблемы и ее недостаточное освещение в литературе, мы задались целью изучить состояние адренергической и холинергической иннервации сердца, дуги аорты и почечной артерии у ребенка в условиях патологии.

Материал и методика. Исследован трупный материал (ранение вскрытия, через 2—4 ч после смерти) у 10 детей до одного месяца жизни, умерших от бронхоневмонии, 6 случаев — дети в возрасте от одного месяца до года, умершие по разным причинам, и 5 случаев — дети 5—7-летнего возраста, умершие от пороков сердечно-сосудистой системы. Адренергические первые сплетения изучали по методу Фалька-Хиллария-Говырина в модификации Швалев-Жучкова (1979), при инкубации срезов в 2%-ном растворе глиоксиловой кислоты. Холинергические элементы исследовали по методу Карновского-Рутс. Плотность первых сплетений определяли точечным способом.

Результаты исследования. Изучая сердце однолетнего ребенка мы видим, что в мышечных слоях его наблюдаются интенсивно флуоресцирующие адренергические первые волокна, наи-

большая концентрация которых определяется в миокарде правого предсердия (рис. 1, а). Плотность последних достигает 6—9%. На стенке дуги аорты и почечной артерии обнаруживаются менее интенсивно флуоресцирующие адренергические волокна. Исследование холинергических нервных элементов сердца месячного ребенка показало, что все

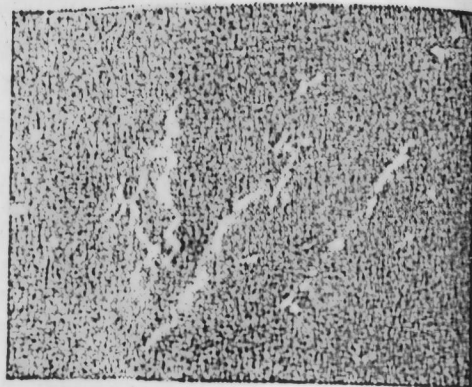
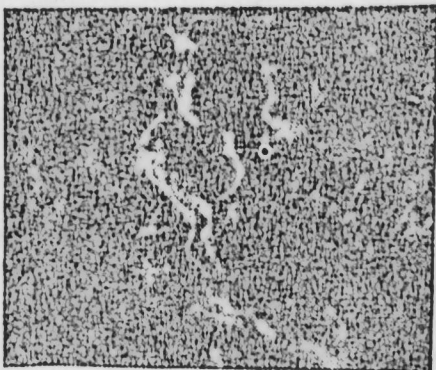


Рис. 1. Адренергические нервные сплетения:  
а — среди мышечных волокон правого предсердия хорошо прослеживающиеся адренергические нервные сплетения. Возраст ребенка — 1 мес., умер от бронхопневмонии; б — адренергические нервные сплетения в миокарде правого предсердия. Возраст ребенка — 5 лет, умер от врожденного порока сердца. Метод Фалька — Хиллари — Говырина в модификации Швалев — Жучкова, 1979, об. 40, ок. гомаль 3

слои его богато снабжены холинергическими нервными проводниками. Стенка дуги аорты представлена холинергическими волокнами, распространяющимися в различных направлениях, которые по ходу делятся на мелкие ветви. Сравнительно небольшое количество холинергических волокон наблюдается в adventиции почечной артерии.

Специфически флуоресцирующие нервные волокна обнаружены при исследовании сердца у детей до одного года жизни. Во всех слоях сердца хорошо прослеживаются адренергические нервные сплетения. Довольно густые адренергические нервные волокна обнаружены на стенке дуги аорты и почечной артерии. Изучение холинергических нервных проводников у детей до одного года показало, что волокна пронизывают в глубину мышечный слой сердца, разветвляются и образуют рецепторные поля. Пучки холинергических нервных волокон имеют типичное кабельное строение. Наиболее сложные сплетения выявлены в мышечном слое правого предсердия, а также по ходу коронарных сосудов. Значительные количества холинергических волокон и их терминалей обнаруживаются на стенке дуги аорты и в adventиции почечной артерии. Особый интерес представляет изучение холин- и адренергической иннервации исследуемых объектов у детей 5—7-летнего возраста. Адренергические нервные сплетения хорошо прослеживаются во всех слоях сердца. По ходу мышечных волокон обнаруживается миокард варикозных утолщений. Плотность их резко возрастает, особенно в миокарде правого предсердия (рис. 1, б). На стенке дуги аорты и почечной артерии прослеживаются в большом количестве адренергические нервные структуры, выделяющиеся своим ярко-зеленым свечением. Холинергическая иннервация сердца у детей 5—7-летнего возра-

ста проявляется многочисленными нервно-клеточными и нервно-волокнистыми образованиями, наблюдается повышенная активность фермента

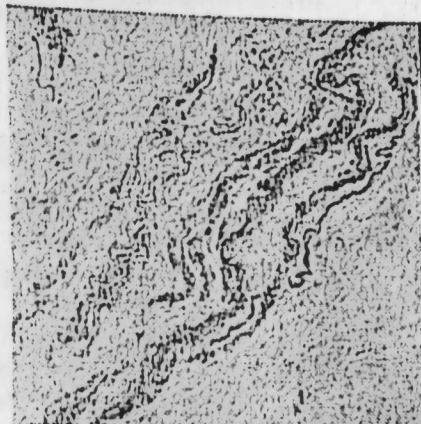
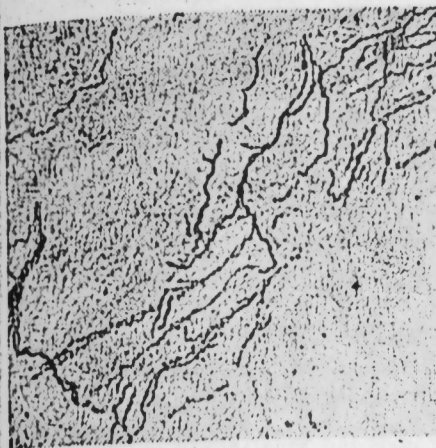


Рис. 2. Холинергические нервные сплетения:  
а — мощный холинергический рецептор на стенке дуги аорты у 5-летнего ребенка; б — участок холинергических нервных сплетений на стенке почечной артерии. Возраст ребенка — 6 лет. Метод Карновского — Рутс. Об. 20, ок. 10

в нервных волокнах. Мощные холинергические нервные рецепторы обнаружены на стенке дуги аорты и почечной артерии (рис. 2 а, б), плотность которых достигает 10—15%.

#### Вывод

Исследование первого аппарата сердца, дуги аорты и почечной артерии у ребенка в условиях патологии современными гистохимическими методами показало, что эти органы обильно снабжены холин- и адренергическими нервными сплетениями, которые с возрастом становятся более мощными.

#### Литература

- Амаросьеа А. П., Адренергическая и холинергическая иннервация органов пищеварительной системы. — Минск, Наука и техника, 1977. 2. Исаев И. М., Алиев М. Б., Мамедов Т. В. Применение методов выявления адренергических и холинергических нервных сплетений при изучении иннервации сердечно-сосудистой системы человека в условиях патологии. — Баку: Азмаджур, 1982, вып. 1, с. 61. 3. Крохина Е. М. Функционирование и морфология и гистохимия vegetativной иннервации сердца. — М., 1973. 4. Швалев В. И., Рейндер Р. М., Мингазова И. В. Новое в изучении эмбриогенеза vegetativной нервной системы человека и некоторых млекопитающих животных. — Арх. анат., 1972, вып. 8, с. 48. 5. Швалев В. И., Стропус Р. А. Медиаторный этап функционирования vegetativной нервной системы в пре- и постнатальном онтогенезе и значение его для клиники. — Арх. анат., 1979, т. 76, вып. 5, с. 5. 6. Швалева В. С. Исследования для клиники. — Л., 1974. 7. Borchard E. The adrenergic nerves of the organism and cancerogenesis. — Stuttgart: Georg Thieme publ., 1978, v. 33. 8. Dall W. G., Palmar G. C. Localization and correlation of catecholamine containing cells with adenylcyclase and phosphoesterase in the human fetal heart. — Anat. Res., 1973, v. 177, p. 265. 9. Forbes M. S., Rennels M. L., Nelson E. Innervation of myocardial microcirculation, terminal autonomic axons associated with capillaries and postcapillary venules in mouse heart. — Am. J. Anat., 1976, v. 149, № 1, p. 71.

Поступило 7. VI 1982

Т. В. Маммэдов

ПАТОЛОКИЈА ШЕРДИТИНДЭ УШАГЫН ҮРЭЛНИДЭ,  
АОРТА ГӨВСҮНДЭ ВЭ БӨЈРЭК АРТЕРИЈАСЫНДА АДРЕНЕРКИК  
ВЭ ХОЛИНЕРКИК СИНИРЛЭРИН ВЭЗИЈЈЕТИНЭ ДАИР

Патологија шәрәнтиңдә ушагын үрәйини аорта гөвсүнүн вә бөјәрк артеријасының синир аппаратының мұғасыр һистокиміялық методлар қаситасында ојренилмәсі заманың һәмниң нағиүйеләрде хөпни вә адренергик синир шахәләрі ашқар олуымуш дур. Үрәйин бүтүн гишаларында холин-адренергик синир элементтәрін жаңшиң иеээр чарның. Оныңдан мүәжжән групу үрәйин сағ гулғагчылық дағы чох топтаптышадыр. Аорта гөвсүнүн вә бөјәрк артеријасының адвенититеңи гишасында адренергик вә холинергик синир кәләғеләринин сыйхылығы, һәмчинин жашын артмасы илә әлагәдар оларға бу саңәдеки рецепторларын күчләнмәсі иләк дәфә ашқар едилмиши дид.

T. V. Mamedov

## THE STATE OF THE ADRENERGIC AND CHOLINERGIC INNERVATION OF THE HEART, AORTIC ARCH AND THE RENAL ARTERY IN CHILD IN CONDITIONS OF PATHOLOGY

In studying nerve apparatus of heart, aortic arch and renal artery in child by modern histochemical methods, the presence of cholinergic and adrenergic neuronal plexus in pathology is found out. The cholinergic and adrenergic neuronal structures are observed in all layers of the heart, the considerable number of which is concentrated in the right auricle myocardium. The dense adrenergic and cholinergic neuronal plexus and also the receptors, which become stronger by years, are found out in the wall of aortic arch and in adventitia of renal artery.

## АЗЭРБАЙЖАН ССР ЕЛМЛЭР АКАДЕМИЯСЫНЫН МЭРУЗЭЛЭРИ

# ДОКЛАДЫ АКАДЕМИИ НАУК АЗЕРБАЙДЖАНСКОЙ ССР

ТОМ XLI ЧИЛД

11

1985

УДК 4415.6

ЯЗЫКОВЕДЕНИЕ

В. И. САДЫХОВ

## ВИДЫ МЕЖЪЯЗЫКОВЫХ КОЛЛОКВИАЛЬНЫХ СООТВЕТСТВИЙ

(Представлено академиком АН Азербайджанской ССР М. А. Ширалеевым)

В последние годы проблемы типологического анализа лексических систем различных языков становятся объектом пристального внимания лингвистов. Сопоставление отдельных лексических группировок — пла-стов, классов, семантических полей — с целью установления типологии межъязыковых соотношений проводится на материале различных язы-ков.

В ходе сопоставительного анализа ставится цель — выявить лексические эквиваленты на межъязыковом уровне, определить сходства и различия коллоквиальной лексики в данном плане. Хотя сопоставляемые языки — английский и азербайджанский — являются разноструктурными, в ходе анализа определяются общие черты в плане выражения одного и того же понятия в обеих языках.

В ряде случаев в сопоставляемых языках наблюдается межъязыковая синонимия, заключающаяся в том, что тождественные сферы данных языковнередко представлены полностью эквивалентными или близкими по своей семантике единицами, в данном случае коллоквиализмами.

Каждый сопоставляемый язык обладает специфической системой отражения понятий в словах, их организацией и дифференциацией. С другой стороны, существуют некоторые общелингвистические основы, определяющие лексико-семантическую структуру языка вообще. Использование фактического материала разносистемных языков позволяет выявить наиболее общие закономерности их семантических структур, что в конечном счете дает возможность сделать некоторые выводы общелингвистической значимости.

Сопоставление проводится с помощью компонентного анализа коллоквальных лексических единиц, в ходе чего выделяются следующие виды соотношения семантических объемов межъязыковых коллоквальных соответствий:

- 1) эквивалентные соотношения; т. е. полностью совпадающие по объему депотата;
  - 2) частично эквивалентные соотношения, т. е. не полностью совпадающие по объему депотата;
  - 3) неэквивалентные соотношения, т. е. не имеющие однолексемного коллоквияльного соответствия в семантической структуре слов другого языка.

В ходе дальнейшего анализа установлено, что межъязыковые синонимы различаются по степени эквивалентности и по видам стилистических соответствий.

1. Так, наибольшей квантитативной представленностью характеризуются коллоквиализмы, имеющие соответствие в нейтральном и в разговорном пластах. Типичным соотношением между подобными коллоквиализмами и их разговорными и нейтральными синонимами является противопоставление по стилистической отнесенности и эмоционально-экспрессивной образности. В эту группу входят коллоквиализмы, обладающие наибольшей значимостью, актуальностью для носителей языка и, соответственно, имеющие большое количество синонимов как разговорных, так и нейтральных, в сопоставляемом языке.

2. Несколько меньше коллоквиализмов, обладающих соответствием только в нейтральном слое вокабуляра.

3. Имеется большое количество коллоквиальных лексических единиц, в частности коллоквиализмов-существительных, не имеющих соответствий в сопоставляемом языке. Значение подобных коллоквиализмов в литературном языке может быть передано лишь описательно. Эти слова, как известно, характеризуются высокой степенью информативной насыщенности. В. Д. Девкин называет подобные лексические единицы «конденсатами» [3, 156].

4. К предыдущей группе примыкают коллоквиализмы, имеющие соответствие только в разговорном слое сопоставляемого языка. В количественном отношении выделяются первая и третья группы, т. е. коллоквиализмы, имеющие соответствия в нейтральном и разговорном пластиах, а также коллоквиализмы, не имеющие однолексемных коллоквиальных соответствий в сопоставляемом языке.

Характерно, что чем элементарнее денотативное значение коллоквиальной лексической единицы, тем больше у нее межъязыковых эквивалентов (синонимов). И, наоборот, чем сложнее понятийное содержание коллоквиальной лексической единицы, тем ниже число межъязыковых эквивалентов.

Это объясняется тем, что вместе с усложнением значения коллоквиальной единицы уменьшается вероятность одновременного самостоятельного возникновения в двух языках коллоквиальных слов с одинаковым значением.

При изучении различных лексических объединений часто встречаются такие случаи, когда коллоквиализм одного языка не имеет в сопоставляемом языке однопланового эквивалента, т. е. то или иное явление в одном языке отражается в однолексемном коллоквиальном наименовании, а в другом языке для отражения данного явления используется словосочетание. Подобные однолексемные наименования, не имеющие эквивалента в виде лексемы в другом языке, М. М. Копыленко обозначает термином «универб», а соответствующее ему описательное наименование — «перифраз» [4].

Универбация представляет собой процесс образования однолексемного наименования (универба) из предшествующего ему описательного обозначения (перифраза). При этом в плане содержания универба наблюдается компрессия семантики перифраза, а в плане выражения — утрачивается формальная расчлененность.

Типы универбов различаются по степени универсации: наименьшая степень универсации наблюдается при словосложении, наибольшая — при аббревиации. Функциональные стили языков демонстрируют избирательность по отношению к способам универсации. Так, например, научный стиль характеризуется большим количеством сложных слов, разговорный — обилием суффиксальных универбов. Процесс универба-

ции представляет собой яркое проявление тенденции к экономии языковых средств в речевой деятельности.

Перифраз является сочетанием двух и более лексем, характеризующихся функцией замены слова, синонимичностью в отношении описываемого слова, выраженным именитивным характером и отсутствием образности.

Изучению универбов и перифраз уделяется большое внимание, в частности, в тюркологии. Из работ, выполненных на материале тюркских языков, хотелось бы выделить диссертацию З. К. Ахметжановой [1]. Автором проведен анализ универбов и перифраз русского и некоторых тюркских языков (казахского, киргизского, узбекского), предпринимается попытка составления полной типологии несоответствий русского и данных тюркских языков в области лексики.

В общей массе коллоквиальной лексики универбы обозначают специфические понятия, для передачи которых в литературном языке лексикографам приходится использовать различные описательные толкования. Подобные коллоквиальные лексические единицы, отличающиеся емкостью предметного значения, наглядно демонстрируют проявление принципа экономии в речевой деятельности носителей языка при непосредственном и неофициальном общении. Они сжато, точно, со значительной экспрессивностью передают определенную, стилистически окрашенную, информацию.

В связи с этим В. А. Хомяков отмечает, что «если аналоги, дублируя лексику и фразеологию литературного стандарта, увеличивают уже существующие ряды синонимов и легко превращаются в языковые излишки, которые поэтому и исчезают довольно быстро из употребления, то просторечные элементы — номинативные единицы с четким коммуникативным содержанием выступают как «заместители» несуществующих тождественных слов, словосочетаний и выражений литературного стандарта и нередко переходят в этот стандарт» [5, 282].

В ходе исследования выявлены некоторые виды соотношения понятия, отражаемого коллоквиальным словом одного языка, и перифраза этого слова в сопоставляемом языке:

1) английский коллоквиальный универб в азербайджанском языке соответствует свободному перифразу. Английские коллоквиализмы в сопоставляемом языке соответствуют свободным сочетаниям лексем, представляющим собой дефиницию понятия, для обозначения которого в сопоставляемом языке отсутствует однолексемное наименование;

2) английский коллоквиальный универб в азербайджанском языке соответствует фразеологическому сочетанию. Подобные фразеологические соответствия могут быть как коллоквиальными, так и нейтральными;

3) английский коллоквиальный универб в азербайджанском языке соответствует связанныму фразеологическому сочетанию (идиоме).

Данные коллоквиальные идиомы, характеризующиеся тесной связью компонентов, по своему понятийному содержанию адекватны словам.

В сопоставляемом языке безэквивалентной лексике соответствуют этнографические и языковые лакуны. Лексические лакуны являются следствием семиотической асимметрии, заключающейся в отсутствии закрепленного означающего для выражения понятия, занимающего определенное место в структуре семантической системы данного языка. В. Г. Гак выделяет два вида лакун:

1. Отсутствие слов для обозначения понятий, которые, несомненно,

существуют в данном обществе и которые имеют особое словесное обозначение в другом языке.

2. Отсутствие слов, которые как бы предусмотрены самой лексической системой языка [2, 246].

Анализ коллоквialной лексики сопоставляемых языков подтверждает возможность выделения подобных групп на уровне разговорных подъязыков.

В целом анализ универбов и перифраз на уровне коллоквialной лексики выявил своеобразие каждого из сопоставляемых языков, а также подтвердил принципиальное тождество языков в передаче понятий окружающей действительности теми или иными средствами, что обусловлено единством мышления всех народов, независимо от их языков.

#### Литература

1. Ахметжанова З. К. Сопоставительное исследование лексики тюркских (казахского, киргизского, узбекского) и русского языков (универбы и перифразы). Автореф. канд. дисс... — Алма-Ата, 1981.
2. Гак В. Г. Сравнительная типология французского и русского языков. — М.: Просвещение, 1983.
3. Девкин В. Д. Немецкая разговорная речь: синтаксис и лексика. — М.: Международные отношения, 1979.
4. Копыленко М. М. К построению семантической типологии (универбы и перифразы). В сб.: Проблемы семантической лексикологии. — Минск, 1973.
5. Хомяков В. А. Нестандартная лексика в структуре английского языка национального периода. Докт. дисс.... — Л., 1979.

АПИ им. 50-летия СССР

Поступило 15. XII 1984

В. И. Садыхов

#### КОЛЛОКВИАЛ МУНАСИБЭТИН ДИЛЛЭРАСЫ ДАНЫШЫГ НӨВЛЭРИ

Мэгалэдэ данышыг дили сөвијәсийнде инилис вә Азэрбајҹан дилләри лексик системине типологии тәһлилини проблеминдән бәһс олуунур.

Гарышлашдырылан дилләрдә коллоквиал лексик ваидләрни структур-семантик тәдгиги компонент тәһлил методунуң көмәји ила апарылыр. Дилләраасы коллоквиал мунасибәтиң семантик һәчми мұхтәлиф нөв иисбәттә нәзәрән кечирилүр. Коллоквиал универбләрнің әмәләкәлмә үсуллары араштырылыр. Бир дилда коллоквиал сөзлә ифадә олунаң мұхтәлиф аилашыларының иисбәти вә онун гарышлашдырылан дилдә ифадә олуулма имкани тәһлил едилир.

Мәсәләнни бу планды өјрәнилмәсі һәм үмуми дилчиллик, һәм дә Азэрбајҹанда инилис дилинин тәдриен баҳымындан әһәмијәтлидир.

V. I. Sadykov

#### TYPES OF INTERLINGUAL COLLOQUIAL CORRELATIONS

The article deals with a semantic analysis of English and Azerbaijan colloquial vocabularies. Different correlations of colloquial words in both languages are investigated. The results obtained confirm the general identity of the both languages in the process of colloquial word-formation.

АЗЭРБАЈЧАН ССР ЕЛМЛӘР АКАДЕМИЈАСЫНЫН МӘРҮЗӘЛӘРИ

ДОКЛАДЫ АКАДЕМИИ НАУК АЗЕРБАЙДЖАНСКОЙ ССР

ТОМ XLI ЧИЛД

№ 3

1985

УДК 91(014)

ТОПОНИМИКА

Г. А. ГЕПБУЛЛАЕВ

#### К ПРОИСХОЖДЕНИЮ КРЫЗОВ

(Представлено академиком АН Азербайджанской ССР З. М. Буниятовым)

Одной из этнических групп Азербайджана являются крызы, говорящие на языке лезгинской группы иберийско-кавказской языковой семьи [29]. Они проживают в с.с. Крыз (к которому восходит наименование этой этнической группы), Хапут, Ергудж, Элик и Джек. В середине XIX в. население этих сел частично переселилось в низменную часть Кубинского уезда — на территорию нынешнего Хачмасского района и образовало ряд деревень [21], а хапутлиицы обосновались еще и на территории современных Исмаиллинского, Куткашенского и Агдашского районов [22].

Следует отметить, что исторические сведения о крызах отсутствуют. Основные сведения о них появились в русской литературе в XIX в. Крызский язык стал объектом исследования русских учёных [7; 29]. Но наиболее тщательно крызский язык изучен советским учёным Ш. М. Саадиевым [20; 21]. Поэтому наше мнение о происхождении их основывается на этнотопонимических данных, на связях между этими данными и некоторыми отрывочными сведениями раннесредневековых источников<sup>1</sup>.

Крызы делятся на группы: хапутлиицы, крызы, ергуджцы, эликицы и джекцы, соответственно по названиям селений Хапут, Крыз, Ергудж, Элик и Джек. Язык этих групп отличается диалектными особенностями.

Ключом к разгадке происхождения крызов<sup>2</sup> является то, что хапутлиицы, т. е. жители с. Хапут (местное произношение — һапут) имеют самоназвание һәр (в единственном числе) [5]. Под этим же наименованием с незначительными фонетическими вариациями они известны и среди жителей с. Элик и Джек, говорящих на диалектах крызского языка. Эликицы их называют һоруд, а джекцы — һеруд. В обоих случаях выделяются варианты самоназвания хапутлицев — һор и һер, ибо частица үд в крызском языке является суффиксом [21].

Как отмечено, хапутлиицы и крызы (т. е. жители с. Крыз) в языковом отношении близки и образуют генетическое единство [21]. Поэтому логично предполагать, что этоним һәр должен быть и самоназванием крызов. Действительно, топоним Крыз является искажением от местного Герез, так называют крызы свое село. Еще Г. В. Топуриа отмечал,

<sup>1</sup> Об этом сказано в наших статьях [3, 4].

<sup>2</sup> В данном случае имеется ввиду совокупность всех мелких групп, входящих в состав этой этнической группы.

что ойконим Герез следует считать этническим самоназванием крызцев [25]. Эта мысль подтверждается еще тем, что соседняя кавказоязычная этническая группа — будуги называет крызов — геред<sup>3</sup>, а хапутлиицы — *hered*. Как видно, в обоих случаях выделяются компоненты *her* и *ger* с суффиксами *ez* (в ойкониме Герез) в крызском, *ed* (в инионаименовании Геред) — в будугском языках. В конечном счете оба названия Герез и Геред означают «место геров». Другим селением, в котором проживало одна из групп крызов является Ергудж<sup>4</sup>, в наименовании которого, по нашему мнению, также отражен этоним *her* в фонетической форме *er*, с выпадением придыхательного «h».

Таким образом, в этнотопонимах Крыз (от Герез) и Ергудж отражен этоним *her* и *her*, которые можно считать вариантами *hэр*, и следовательно, самоназванием этнической группы крызов в целом.

В связи с этонимами *her*, *her* и *er* привлекает внимание этоним *hэр* в древнегрузинском [16] и *hэрэн* (вероятно, от этонима *hэр* и суффикса *an*) в древнеармянских [2] источниках. Как известно, этоним *эр* (древнегруз. *her*, мн. число *herpi*) в древнегрузинских источниках обозначает определенную этническую группу или племя северо-западной части Кавказской Албании.

Как отмечал Г. В. Цулая «грузинский автор XI в. Мровели Леонти выделяет эров в отличие от картлийцев-иберов племя, одновременно не смешивая их ни с леками (т. е. предками современных народов южного Дагестана — Г. Г.), ни с какими-либо другими албанскими племенами» [17, 41]. По названию этого племени, их местожительство называлось Эрети (греч. *hereti*, от этонима *her* и груз. эти — «страна», «место»). Область Эрети<sup>5</sup>, как название пограничной зоны Албании с Грузией, в грузинских источниках известна с V в. [15]. В древнеармянском источнике V в. эта область упоминается как Гер гавар [12]. В связи с событиями 763—764 гг. армянский историк Гевонд (VIII в.) пишет, что хазары покорили семь областей грузин, среди которых отмечает Ерк [13], от этонима *эр* и древнеармянского суффикса «к», что является древнеармянской передачей Эрети из грузинских источников.

В раннем средневековье эри имели города. По Вахушти (XVIII в.), в Эрети был город Герети у слияния рек Иори—Алазани [26]. Вахушти отмечает также, что место древнего города Герети теперь называется Харанта [26, 103]. Город Харанта упоминается еще в источнике XI в. [17]. По мнению Т. Папуашвили, Харанта находилась у слияния рек Иори—Алазани [19].

Насколько известно, этническая принадлежность *hэр*-ов (эров) к древнегрузинским и древнеармянским источникам до сих пор не уста-

<sup>3</sup> По записи Р. М. Шаумяна — кэрэт [28].

<sup>4</sup> Жители с. Крыз называют это село Ервожид.

<sup>5</sup> Точные границы Албанской области Эрети из грузинских источников не установлены. Это, видимо, связано с тем, что наименование Эрети, которое первоначально обозначало конкретное местожительство носителей этонима *hэр*, в дальнейшем стало собирательным, и этоним *hэр* покрывал носителей других племен. Е. С. Такайшвили отмечал, что «Эрети — часть Кахетии или область к востоку по бассейнам рек Алазани и Иори. Область эта простиралась к востоку — до Кавказских гор, к западу — до р. Куры, к северу — до оз. Тке-Тба или Гулгула, что выше Телава, к югу — до Алазани и Иори» [24]. Т. Г. Папуашвили отмечает, что Эрети — современная внутренняя Кахетия, Заалазани и горные районы Дагестана [18, 287]. В другой работе он пишет, что эры жили в бассейне рек Иори и Алазани [19, 70].

новлена<sup>6</sup>. Как видно, есть основания считать древних эр-ов предками современных крызов, самоназванием которых, как отмечено, является *hэр*, *her*, *er*. Поэтому факт проживания предков крызов в этой зоне в раннем средневековье очевиден. Вероятно, часть *her*-ов в связи с каким-то неизвестным нам событием покинула свое исконное местожительство и, перейдя горный перевал, поселилась на нынешнем месте — в северо-восточном Азербайджане, а часть, в связи с вхождением Эрети в состав Грузии в раннем средневековье, огрузинилась<sup>7</sup>.

Среди хапутлицев сохранилось предание, что их предки — *hэры* пришли на нынешнее место из города Херна (*hernia*) из северо-западного Азербайджана во время нашествия арабов. В связи с этим уместно привести сообщения, что город Харанта (см. выше) разрушен арабами в середине VII в. Интересно также и то, что в древнегрузинских источниках XI в. в Эрети упоминается город Хорнабудж [23], наименование которого созвучно с топонимом Херна в преданиях хапутлицев. В этом топониме, возможно, также отражен древний этоним *hэр* (*эр*).

Проживание предков крызов — эров в древности в северо-западной Албании, к северу от р. Куры, в частности, подтверждается еще тем, что в их языке кур — вода, река, на что обратили внимание исследователи в связи с этимологией названия р. Кура [1]. Следует отметить, что слово *кур* — вода, река участвует и в наименованиях ряда маленьких горных рек в зоне расселения крызов [3]. Следовательно, можно предполагать, что гидроним Кур ведет свое происхождение от языка живших в древности там предков крызов — *hэров*. Г. А. Меликишвили отмечал, что территория албанского племени *hэр* в древности находилась у среднего течения р. Куры [15].

Из сказанного становится очевидным, что *hэры* — предки современных крызов являлись одним из крупных албанско-иберийских племен и исконно проживали в северо-западной части Албании, в пограничной с Иберней зоне<sup>8</sup> и область их расселения, как и наименование их городов называлась соседними грузинами по этому этониму.

#### Литература

1. Алиев К. О названии реки Куры. — Докл. АН Азерб. ССР, 1959, № 4. 2. Армянская география VII в. по Р. Х. — СПб., 1877. 3. Гейбуллаев Г. А. — Докл. АН Азерб. ССР, 1976, № 8. 4. Гейбуллаев Г. А. — Изв. АН Азерб. ССР, серия истории, философии и права, 1978, № 1. 5. Генко А. Н. Сообщение о результатах поездки в Хинаулг. Бюллетень Кавказского историко-археологического комитета в Тифлисе, № 1—3. — Тифлис, 1928. 6. Джангиձե Վ. Տ. И ноглойский диалект в Азербайджане. — Тбилиси, 1978. 7. Диր Ա. Ացուլյանի լեզու. — Տիֆլիս, 1907. 8. Еремян Ը. Ե. Экономика и социальный строй Албании III—VII вв. «Очерки истории СССР», III—IX вв. — М., 1958. 9. Еремян Ը. Ե. Армения по Ашхарацуйцу (на арм. яз.). — Ереван, 1963. 10. Խաչատրյան Ադամիա. Грузинское народное зодчество (Саингило) (на груз. яз.). — Хелобиеба, 1970. 11. История Грузии, т. I. — Тбилиси, 1962. 12. История Армении Фавста Бузанда. —

<sup>6</sup> По мнению Г. В. Цулая, генетически эры принадлежали к известной науке нахско-дагестанской группе иберийско-кавказской семьи народов [17, 42].

<sup>7</sup> Нельзя не согласиться с мнением И. Адамия о том, что этимология географического названия Эрети учеными еще не установлена [10, 167].

<sup>8</sup> Ряд исследователей считает Эрети огузинившейся частью Албании [14, 6—7; 28, 170; 8, 304]; Т. Г. Папуашвили писал: «Политическое расширение Иверии в сторону Албании сопровождалось также и этнической ассимиляцией албанских племен, обитавших в Западной Албании (эров, суджей и др.)» [19, 69—70]. Г. В. Цулая также отмечает, что «очевидно, еще в античную эпоху часть эров была ассимилирована восточно-грузинскими племенами» [17, 2].

<sup>9</sup> В «Истории Грузии» отмечено, что одним из пограничных албанских племен было племя эров [11, 126].

Ереван, 1953. 13. История халифов Вардана Гевонда, писателя VIII в.—СПб., 1862. 14. Марр Н. Я. Аркаи, монгольское название христиан в связи с вопросом об армянских халкедонитах. «Византийский временник», т. XII, № 1—2.—СПб., 1906. 15. Меликитбеков Г. А. Население северных областей Наири—Уарту и его роль в древневосточной истории.—М., 1964. 16. Меликитбеков Л. М. Обзор источников по истории Азербайджана. Источники грузинские.—Баку, 1939. 17. Мровели Леонти. Жизнь картлийских царей.—М., 1979. 18. Папуашвили Т. Г. Царство ранов и кахов VIII—XI вв. (на груз. яз.).—Тбилиси, 1982. 19. Папуашвили Т. Г. Вопросы истории Эрети (на груз. яз.).—Тбилиси, 1970. 20. Саадиев Ш. М. Склонения имен существительных в крызском языке. Автореф. канд. дисс.—М., 1953. 21. Саадиев Ш. М. Опыт исследования крызского языка. Автореф. докт. дисс.—Баку, 1972. 22. Сб. сведений о Кавказских горцах, вып. IX.—Тифлис, 1886. 23. Сумбат Давитис-дзе. История и повествования о Багратионах. Пер. М. Лордкипанидзе.—Тбилиси, 1979. 24. Такайшвили Е. С. Источники грузинских летописей.—СМОМПК, вып. 28. 25. Топуриа Г. А. Строение имен числительных в лезгинском и крызском языках. Сообщения ИЯ Грузинской ССР, т. XXIII, 1965, № 5. 26. Царевич Вахушти. География Грузии.—Тифлис, 1904. 27. Шанидзе А. Язык и письмо Кавказских албанцев. Вестник отделения общ. наук Грузинской ССР.—Тбилиси, 1960, № 1. 28. Шаумян Р. М. Яфетические языки шахдагской группы. В кн. «Язык и мышление», т. 10.—М.—Л., 1940. 29. Языки народов СССР, т. 4.—М., 1967.

Институт истории

Поступило 26. X 1982

Г. Э. Гејбуллаев

### ГРЫЗЛАРЫН МӘНШӘЛИНӘ ДАИР

Азәрбајҹаның Гафгаздилли етник группаларындан бирі олар грызлар өз-өзләриниң һәр (һапут кәндидә јашајан грызлар) адландырылар. Мәгаләдә белә бир фикир иралы сүрүлүр кү, гәдим күрчү мәйбәләрниң Албанијаның шимал-гәрбиндә јашамасы гәيد едилен һәр тајфасы индикти грызларын улу әчдадлары олмушшур.

G. A. Geibullaev

### ABOUT THE ORIGIN OF KRIZS

In the article it is shown that the modern Caucasian languages come from one of the ethnic groups of Azerbaijan—krizs. It has its own name as „cher” and „ger”. It is said that they were descendants from ethnical community of Caucasian Albany. At the same time it is asserted that „cher” comes from the ancient Georgian sources.

## МҮНДӘРИЧАТ

### Ријазијјат

T. С. Сәлимов. Коши сингулјар интегралы $L_p$ , $p \geq 1$ фәззаларында . . . . .	3
Г. М. Мәммәдов. Лакерра чевирмәси үсүлү илә функциялар синфииниң характеристикасы нағызында, I . . . . .	6
Ә. Элијев, К. Ш. Мәммәдов. Гејри-хәтти дискрет програмлаштырмалар мәсәләсүү учун бир мәһідудијәт шәртли эквивалент вә ө-еквивалент мәсәлә гурмаг . . . . .	11

### Механика

H. Д. Мусајев. Ики мајенин һоризонтал ахынының гејри-хәтти һәјечанлана маңыз . . . . .	16
--	----

### Тәтбиги механика

T. Н. Гијасбәјли. Силиндрик өртүкләрниң һәрәкәт тәпликләринде физики гејри-хәттилүүн вә һәндәси параметрләрниң дәјиshmәсимиң иләрә алынмасына дайр . . . . .	20
--	----

### Јарымкечиричиләр физикасы

E. И. Вәлијулин, Ч. О. Гачар, С. Э. Мусајев, Б. М. Рустамбәјов. Електрик аксектә спектрометри . . . . .	24
---	----

### Магнит һадисәләри физикасы

З. З. Махмудов, Н. К. Абдулајев. Йүкәтезликли бирчинсли електрик саңаи васитәсилә Қеји јарымкечиричиләрнән сәттә плазма далгаларының ојадымасы . . . . .	28
--	----

### Теоретик физика

Ә. Э. Гулијев, Ч. И. Саламов. $^{90}\text{Zr}$ нүвәсүндә касиимәз спектри иләрә алмагла магнит-дипол һәјечанлашмаларының тәдгиги . . . . .	33
--	----

### Физикма

B. К. Зејналов, Е. Б. Зејналов, С. А. Маммәдов. Мүрәккәб композицијаларда тәбии антиоксидантларын тәтбиги . . . . .	38
---	----

### Үзви кимја

K. И. Һәсәнов, Ш. Г. Садыхов, Ч. К. Расулов, Ф. Э. Нәбијев. Пара-нексил-фенолун бә'зин галај вә гурғушун торәмәләрнин НМР методу илә тәдгиги . . . . .	43
--	----

### Нефт кимјасы

K. И. Садыхов, А. Н. Агајев, С. М. Вәлијева. Гәләвили синтетик сулфонат ашгарларының коллоид стабилијиниң тәдгиги . . . . .	47
---	----

### Кимја

P. М. Мустафајев, Л. И. Гулијев, С. И. Садыхзадә, О. Г. Јарош. Диалкил (арил) силанларын учлу асетилен карбинолларла бирләшмәсүндә дайр . . . . .	50
---	----

### Торпагшұнаслығ

C. Э. Элијев, Н. Б. Мәрданова, Н. К. Бондар, Р. Б. Аббасова. Ҷумин туршу-сүмүн юнча биткисиниң көкүндә азот мүбадиләсүндә иштирак едәи ферментләрни активлијина тә'сирі . . . . .	54
---	----

<b>Ситокенетика</b>	
<i>P. A. Ағабәјли, Н. К. Мәлікова, И. М. Искәндәрова.</i> Спонтан вә индуксә едилмиш шәрәнгә антиоксиданттың хромосом мутасијасына вә пероксидаза фер- ментинин активлигинә тәсирі . . . . .	58
<b>Битки биокимјасы</b>	
<i>Н. М. Исмаїлов, А. Э. Гулиев, Carthamus tinctorius L.</i> биткисинин флаво- ноидләри вә стеролларының тәркиби . . . . .	61
<b>Битки селексијасы</b>	
<i>Н. М. Йусифов.</i> Сојаның тәркибинде асас гида маддәләринин сорт үсүсүй- јәтләри . . . . .	64
<b>Битки физиолокијасы</b>	
<i>Ә. Ч. Сәмәдова.</i> Көк тохумаларының минерал азотун метаболитик чөврилмә- сендә вә амин туршуларының синтезинде ролу . . . . .	69
<b>Патологија анатомија</b>	
<i>Т. В. Маммәдов.</i> Патологија шәрәнгәнде ушағын үрәйндә, аорта гөвсүндә вә бөјәрәк артеријасында адренергик вә холинергик синирләриң вәзијәтиң даир . . . . .	75
<b>Диалоги</b>	
<i>В. И. Садыхов.</i> Коллоквиал мұнасибәттің диаллерарасы дәнешшыг іевләри . . . . .	79
<b>Топонимика</b>	
<i>Г. Э. Гејбуллаев.</i> Грыйларың мәншәјинә даир . . . . .	83

## СОДЕРЖАНИЕ

<b>Математика</b>	
<i>Т. С. Салимов.</i> Сингулярный интеграл Коши в пространствах $L_p$ , $p > 1$ . . . . .	3
<i>Г. М. Мамедов.</i> О характеристике классов функций преобразованиями Лагерра I . . . . .	6
<i>А. А. Алиев, К. Ш. Мамедов.</i> Метод построения эквивалентной и $\varepsilon$ -эквива- лентной задачи с одним ограничением для нелинейной задачи дискретного программирования . . . . .	11
<b>Механика</b>	
<i>Н. Д. Мусаев.</i> Уравнение Шредингера в нелинейной теории возмущений гор- изонтального течения двух жидкостей . . . . .	16
<b>Прикладная механика</b>	
<i>Т. Н. Киясбейли.</i> Об учете физической нелинейности и изменения геометри- ческих параметров в уравнениях движения цилиндрических оболочек . . . . .	20
<b>Физика полупроводников</b>	
<i>Э. И. Велиюлин, Ч. О. Каджар, С. А. Мусаев, Б. М. Рустамбеков.</i> Спектро- метр электроотражения . . . . .	24
<b>Физика магнитных явлений</b>	
<i>З. З. Махмудов, Н. Г. Абдуллаев.</i> Возбуждение поверхностных плазменных волн в кейновских полупроводниках однородным высокочастотным электриче- ским полем . . . . .	28
<b>Теоретическая физика</b>	
<i>А. А. Кулиев, Д. И. Саламов.</i> Исследование магнитно-дипольного возбужде- ния в ядре $^{90}\text{Zr}$ с учетом непрерывного спектра . . . . .	33
<b>Физическая химия</b>	
<i>Б. К. Зейналов, Э. Б. Зейналов, С. А. Мамедов.</i> Исследование природных антиоксидантов в сложных композициях . . . . .	38
<b>Органическая химия</b>	
<i>К. Г. Гасанов, Ш. Г. Садыхов, Ч. К. Расулов, Ф. А. Набиев.</i> Исследование методом ЯМР некоторых олово- и свинецорганических производных пара-гек- силфенола . . . . .	43
<b>Химия нефти</b>	
<i>К. И. Садыхов, А. Н. Агаев, С. М. Велиева.</i> Исследование коллоидной ста- бильности щелочных синтетических сульфонатных присадок . . . . .	47
<b>Химия</b>	
<i>Р. М. Мустафаев, Л. Г. Кулиев, С. И. Садых-заде, О. Г. Ярош.</i> Присоедине- ние диалкил (арил) силанов к третичным ацетиленовым карбинолам . . . . .	50
	89

## Почвоведение

- С. А. Алиев, Н. Б. Марданова, И. К. Бондарь, Р. Б. Аббасова. Влияние гуминовых кислот на активность ферментов азотного обмена в корнях люцерны . . . . . 54

## Цитогенетика

- Р. А. Агабейли, Н. К. Меликова, И. М. Исекендерова. Влияние антиоксидантов на мутабильность хромосом и активность пероксидазы в условиях спонтанного и индуцированного мутагенеза . . . . . 58

## Биохимия растений

- Н. М. Исмаилов, А. А. Кулиев. О составе флавоноидов и стеролов из *Callianthus tinctorius* L. . . . . 61

## Селекция растений

- Н. М. Юсифов. Сортовые особенности основных питательных веществ сои . . . . . 64

## Физиология растений

- А. Д. Самедова. Роль отдельных тканей корня в метаболических превращениях минерального азота в синтезе аминокислот . . . . . 69

## Патологическая анатомия

- Т. В. Мамедов. Состояние адренергической и холинергической иннервации сердца, дуги аорты и почечной артерии у ребенка в условиях патологии . . . . . 75

## Языковедение

- В. И. Садыхов. Виды межъязыковых коллоквиальных соответствий . . . . . 79

## Топонимика

- Г. А. Гейбуллаев. К происхождению крызов . . . . . 83

Сдано в набор 31. 01. 85. Подписано к печати 15. 04. 85. ФГ 00225. Формат бумаги 70×100<sup>1/16</sup>. Бумага типографская № 1. Гарнитура шрифта литературная. Печать высокая. Усл. печ. лист 7,47. Усл. кр.-отт. 7,47. Уч.-изд. лист 6,45. Тираж 580. Заказ 136. Цена 70 коп.

Издательство „Элм“.

370143 Баку-113, проспект Нариманова, 31, Академгородок, Главное здание Типографии „Красный Восток“ Государственного комитета Азербайджанской ССР по делам издательства, полиграфии и книжной торговли. Баку, ул. Ази Асланова, 80

9. Текст статьи печатается на белой бумаге через два интервала на одной странице листа стандартного размера, с полями с левой стороны (не более 28 строк на одной странице по 58–60 знаков в строке). В тексте нельзя делать рукописные вставки и вклейки.

Статьи, напечатанные на портативной машинке, не принимаются.

10. Текст статьи должен быть изложен кратко, тщательно отредактирован и подписан авторами в печать. В математических статьях желательно избегать доказательств теорем, лемм и т. п. При использовании в тексте сокращенных названий (кроме общепринятых) необходимо давать их расшифровку.

11. Математические и химические формулы и символы в тексте должны быть вписаны четко. Следует избегать громоздких обозначений, применения, например, дробные показатели степени вместо радикалов, а также  $\exp$ . Занумерованные формулы обязательно выключаются в красную строку, номер формулы ставится у правого края страницы. Желательно нумеровать лишь те формулы, на которые имеются ссылки. Подстрочные и надстрочные индексы и степени следует отмечать карандашом, дугами сверху и снизу:

$$R^n, \Gamma_n$$

Греческие буквы нужно обводить (в кружок) красным карандашом. Буквы готического шрифта и рукописные в рукописях не использовать, векторные величины — подчеркивать черным, буквы латинского рукописного шрифта следует отметить на полях (например,  $H$  рукоп.).

Во избежание ошибок следует четко обозначать прописные (заглавные) и строчные буквы латинского алфавита, имеющие сходное начертание ( $Cc; Kk; Pp; Oo; Ss; Uu; Vv$ ; и т. д.), буквы  $I(i)$  и  $J(j)$  букву  $I$  и римскую единицу  $I$ , а также арабскую цифру  $I$  и римскую  $I'$  (вертикальная черта),  $I$  и штрих в индексах,  $I$  (латинское эль) и  $e$ . Прописные буквы подчеркивают карандашом двумя черточками снизу ( $C$ ), а строчные — сверху ( $c$ ).

Следует избегать знаков типа  $\sim$  (волна),  $\odot, \oplus, \otimes; \square, \boxed{\circ}$  (капелька) над и под буквами, а также знаков:

$$\hbar, \mathbb{X}, \underline{\epsilon}, \phi\phi, \phi, \mathfrak{z}$$

Латинские названия вписываются на машинке.

Слова «теорема», «лемма», «следствие», «определение», «замечание» и т. п. следует подчеркивать штриховой чертой, а текст утверждений типа теорем—волнистой чертой (исключая математические символы).

При выборе единиц измерения рекомендуется придерживаться международной системы единиц СИ.

12. При описании методики исследования следует ограничиваться оригинальной ее частью. При элементном анализе приводить только усредненные данные.

13. Необходимо тщательно проверить написание местных географических названий.

14. Цитированная литература проводится общим списком на отдельной странице: ссылки в тексте даются порядковым номером в круглых скобках над строкой (например, !). Список литературы оформляется следующим образом:

для книг: инициалы и фамилии авторов, полное название книги, место и год издания;

для журнальных статей: инициалы и фамилии авторов, название журнала, номер тома, номер выпуска, страница и год издания.

Ссылки на неопубликованные работы не допускаются.

15. Все статьи должны иметь резюме на английском языке, кроме того статьи написанные на русском и азербайджанском языках должны иметь резюме на азербайджанском и на русском соответственно.

Публикация статьи в «Докладах» не препятствует напечатанию расширенного ее варианта в другом периодическом издании.

**70** гэп.  
коп.

Индекс  
76355